

靶向蛋白组学和空间多组学助力疾病研究

王楠 首席技术官 2022年04月 (天坛医院)

OUTLINE目录

非因生物 专注癌症精准医疗 / 全球领先的蛋白组学·空间多组学技术平台

01| 非因生物简介

03| 空间多组学技术

05| 样本准备要素

02 RPPA蛋白组学技术

04| 非因策略

※ 内部资料请勿转发 最终解释权归非因生物所有

OUTLINE目录

非因生物 专注癌症精准医疗 / 全球领先的蛋白组学·空间多组学技术平台

01| 非因生物简介

03| 空间多组学技术

05| 样本准备要素

02| RPPA蛋白组学技术

04| 非因策略

※ 内部资料请勿转发 最终解释权归非因生物所有

非因生物简介——全球领先的新型蛋白组学和空间多组学技术开发和服务商



非因生物>>>

是以新型癌症蛋白组学和空间多组学为核心技术、以癌症精准医疗研究与临床服务为核心业务的创新型生物医学公司,在癌症的基础研究、转化医学、临床研究、药物开发、临床诊疗等各方面开展自主及合作研究,并提供全方位高水准的科研及临床服务。

国际领先 国内领跑

- ●国际领先国内唯一的商 业化RPPA靶向蛋白组学 技术
- ●拥有多项全国领先的空 间多组学技术
- ●聚焦癌症靶向治疗与免疫治疗研究前沿

多领域整合

- ○新型多组学整合研究
- ●药物联合治疗策略研究
- ●癌症精准诊疗技术临床 转化
- ●伴随诊断标志物转化与 临床应用

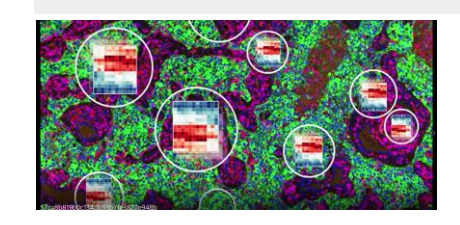
聚焦进阶

- ○高通量靶冋蛋日组学与 微环境研究一站式解决方 案
- RPPA反相蛋白微阵列 技术
- ○空间多组学技术

RPPA反相蛋白微阵列蛋白组学平台



空间多组学平台







▮非因生物简介——技术与团队











◎团队传承 MD 安德森的价值理念,以 TCGA 蛋白组学研究策略为核心技术,精心打造了全球领先,国内首个高通量 RPPA 蛋白组学研发实验室,并成为国内唯一的 RPPA 靶向蛋白组学技术服务商。

◎站在巨人肩膀上,结合多项国内领先的空间组学技术,建立基于中国人群的特有的癌症靶向蛋白组数据库,从空间多组学角度,为肿瘤异质性和肿瘤微环境研究开拓新的科研和临床转化制高点,助力癌症精准医疗。





非因生物简介——技术与团队



源自美国MD安德森转化医学中心的原创技术,反相蛋白微阵列RPPA为TCGA唯一蛋白组学技术策略。站在巨人肩膀上,结合多项领 先的空间组学技术,建立基于中国人群的特有的癌症靶向蛋白组数据库,从空间多组学角度,为肿瘤异质性和肿瘤微环境研究开拓新的科研 和临床转化制高点,助力癌症精准医疗。



Gordon B. Mills

- 创建MD 安德森癌症个体化治疗中心 (IPCT) 并担任中心主任;
- 创建全美第一个专注于癌症研究的系统生物学系并担任主任;
- 创建MD 安德森Kleberg 分子标志物研究中心并担任主任;
- 参与负责重大科研计划癌症射月计划;
- 发表超过1000篇科研文章,被引用次数超过20万次,2020年H指数(H-index)达到199,全球第100名高引科学家;
- 首创并发展了RPPA蛋白质组学研究技术平台,分析了超过13万 例样本。



CTO王楠

- 英国纽卡斯尔大学癌症分子生物学博士(欧盟玛丽居里学者)
- 英国北方蛋白组学分析中心 (NEPAF) 研究员;
- 英国纽卡斯尔大学蛋白组分析中心(NUPPA)研究员;
- 英国ArrayGen公司蛋白组学应用开发技术主管;
- 多项RPPA蛋白组发明专利和研究论文;
- 2019济南市泉城产业人才



CEO丁志勇

- 北京大学博士, 2000年赴美从事博士后研究;
- 2003年起在休斯顿MD安德森癌症中心从事癌症生物学及靶向药物研究 16年,其中13年作为Faculty,以PI身份先后主持美国国立卫生院 (NIH)和多项基金会科研项目,使用反相蛋白微阵列(RPPA)蛋白 组学、功能性基因组学、高通量药物筛选等前沿技术,致力于揭示癌症 中分子致病机制、发现新的分子靶标以及新的药物靶点,推动癌症个体 化诊疗。
- 2019山东省泰山学者产业人才



VP李振亚 BD总监

- 清华大学/协和医学院博士;
- 爱博泰克抗体产品首席战略官;
- Cell Signaling Technology全国学术推 广经理;
- 中科院生物物理所助理研究员;
- 多项研究论文



CBO王连水

- 中国科学院上海生命科学研究院博士;
- 国防科学技术大学 应用数学 学士;
- 印第安纳大学 (美国) 信息与计算院 生物信息学 博士后;
- 山东大学副研究员;
- 银丰基因生物信息总监



从基因组变化到系统组学变化



靶向肿瘤

靶向治疗

即使有生物标志物指导,只有小部分病人

能够从单药治疗中获益:普遍获益时间短,

且伴随这耐药的发生。

病人特异性的 联合治疗策略

多组学整合

RPPA靶向蛋 白组学:

深入挖掘肿瘤耐 药机制,探索新 的靶向肿瘤疗法。

空间多组学:

深度挖掘肿瘤 微环境调控机 理,找寻肿瘤 免疫新策略。

靶向微环境调节

免疫治疗

当病人获益,免疫疗法的获益 时间通常较长,尤其在一些癌种 中:血癌,皮肤癌,肺癌,膀胱癌。

大多数癌种的获益不太高。

临床标志物少。

精准肿瘤学理念仍需加强。



SMMART临床试验 (<u>S</u>erial <u>M</u>easurement of <u>M</u>olecular and <u>A</u>rchitectural <u>R</u>esponses to <u>T</u>herapy) 由Gordon Mills博士主导,通过适应疗法来应对肿瘤进化,帮助癌症病人获得长久可持续的响应









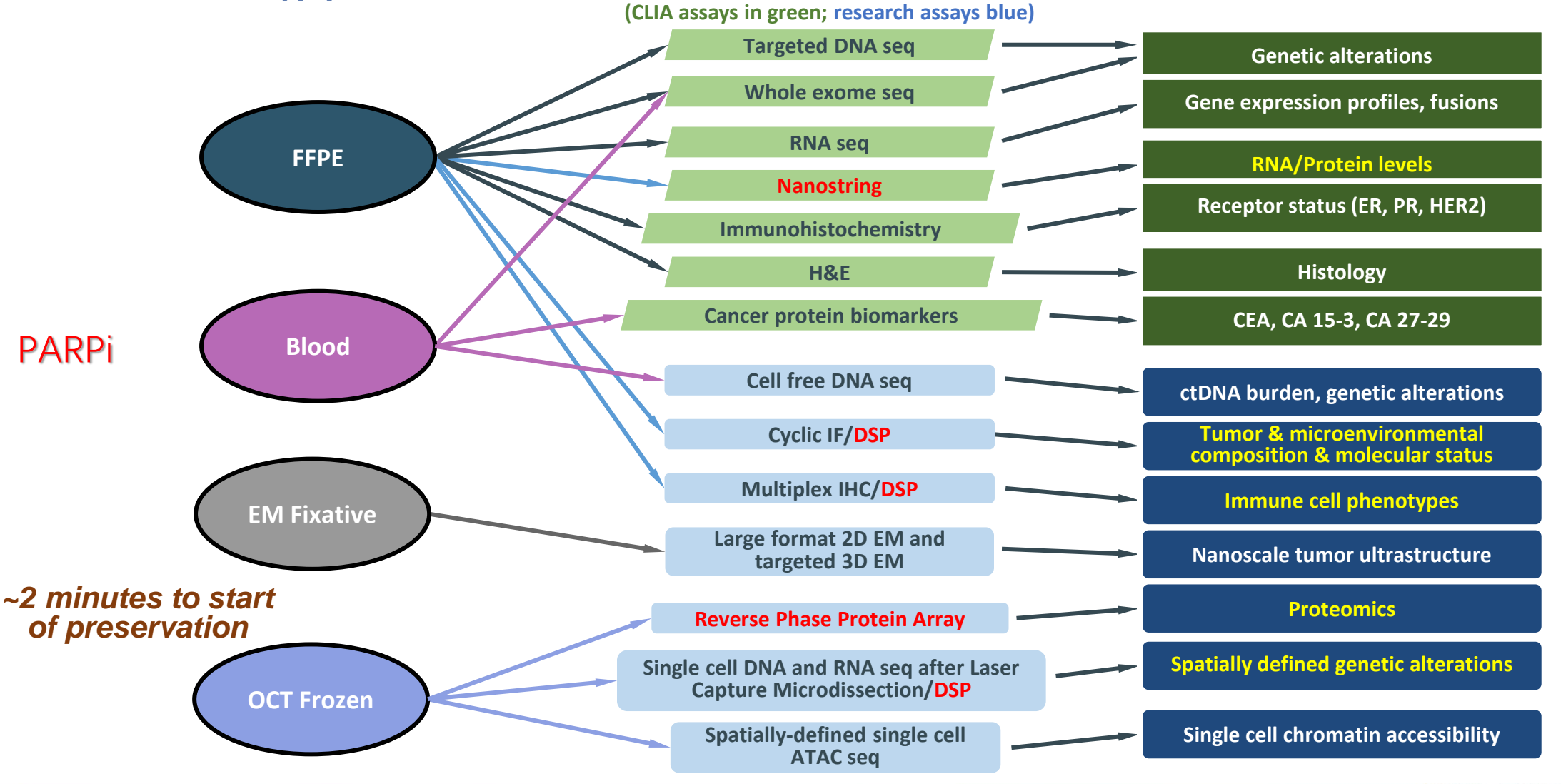




多组学技术在癌症精准医疗中的应用-----SMMART临床试验



样本 技术方法 数据报告



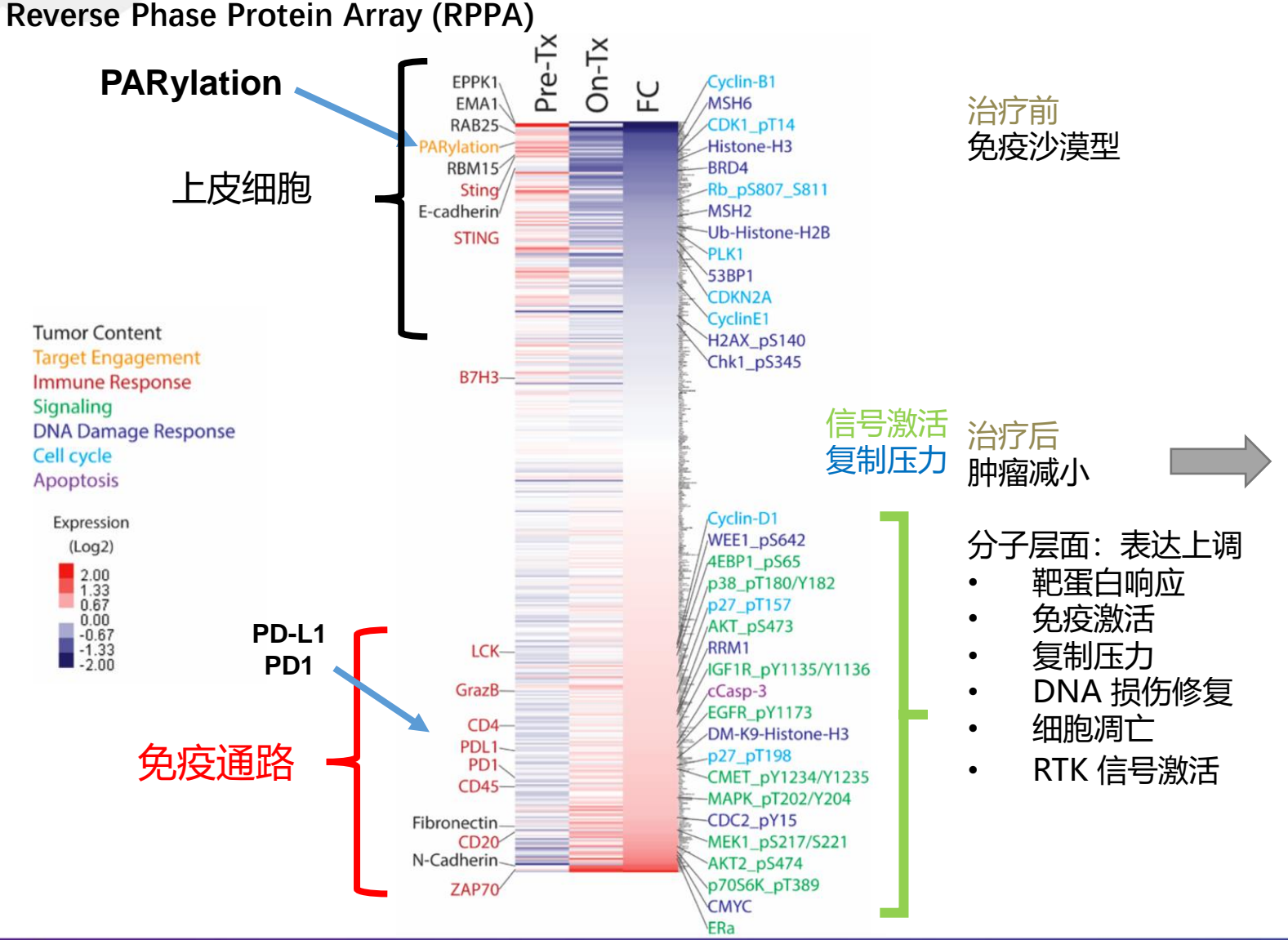
CLIA

组学新 技术



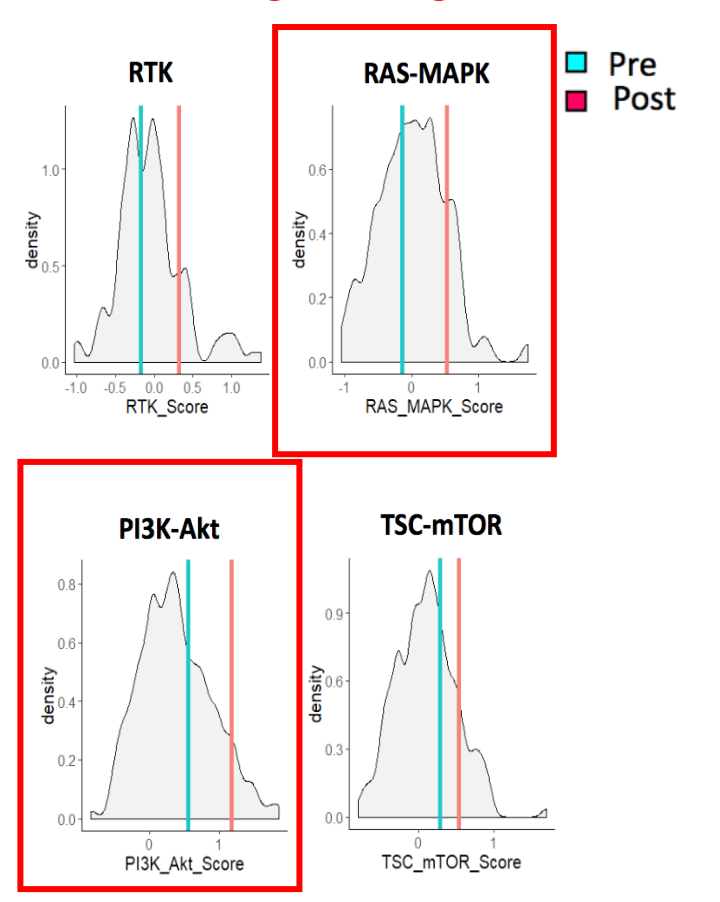
PARPi奥拉帕利单药适应性治疗导致免疫激活和信号激活RAS/PI3K





Patient X

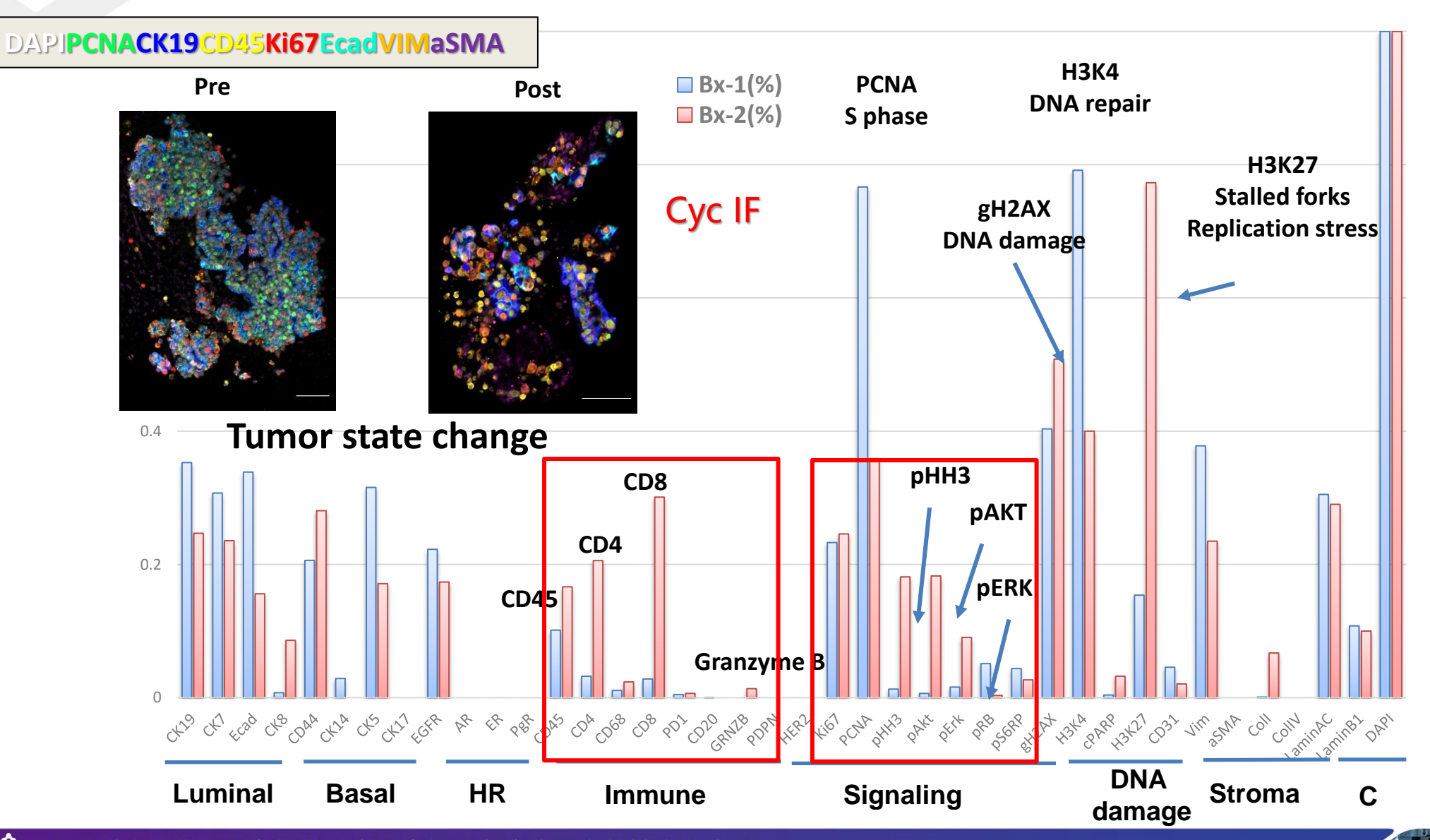
TCGA Ranking ordering各个组分





单细胞PerturbProt:: PARPi奥拉帕利单药适应性治疗导致免疫激活和信号激活





AMTEC: Adaptive Multi-Drug Treatment of Evolving Cancers

OUTLINE目录

非因生物 专注癌症精准医疗 / 全球领先的蛋白组学·空间多组学技术平台

01| 非因生物简介

03| 空间多组学技术

05| 样本准备要素

02 RPPA蛋白组学技术

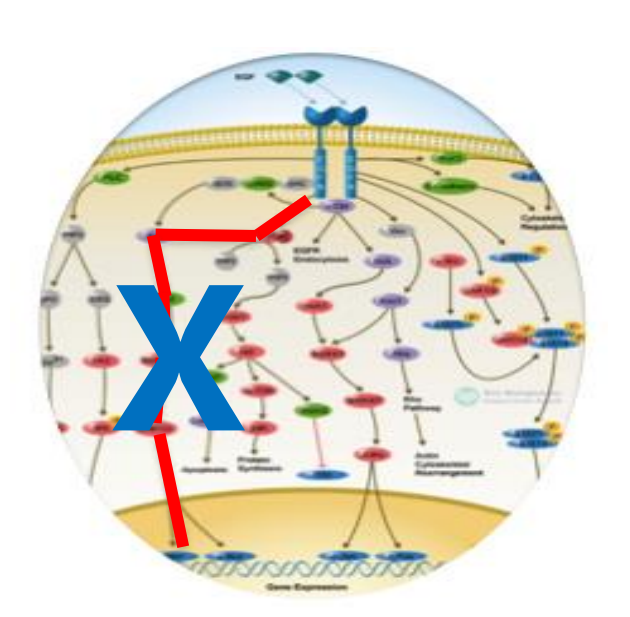
04| 非因策略

药物作用引发的根据细胞进化进行适应治疗策略

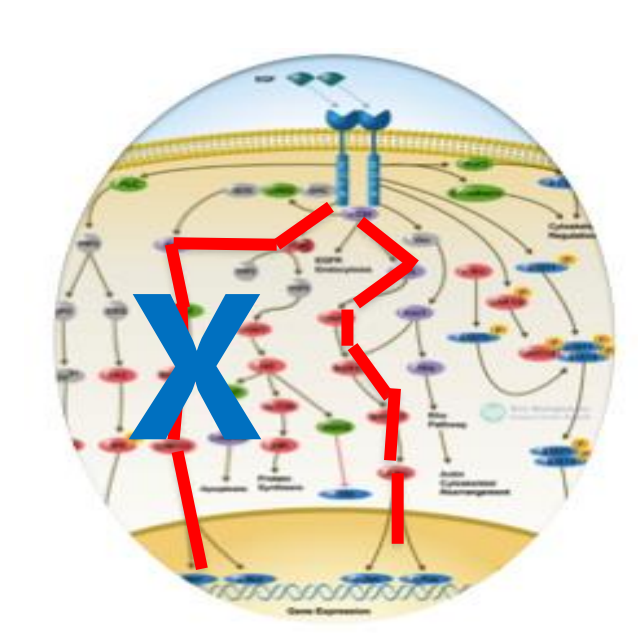


肿瘤生物学系统对单一调控的适应能力强,但对多重阻断有着很好的敏感性和持续效果 Yossi Yarden and Arthur Lander

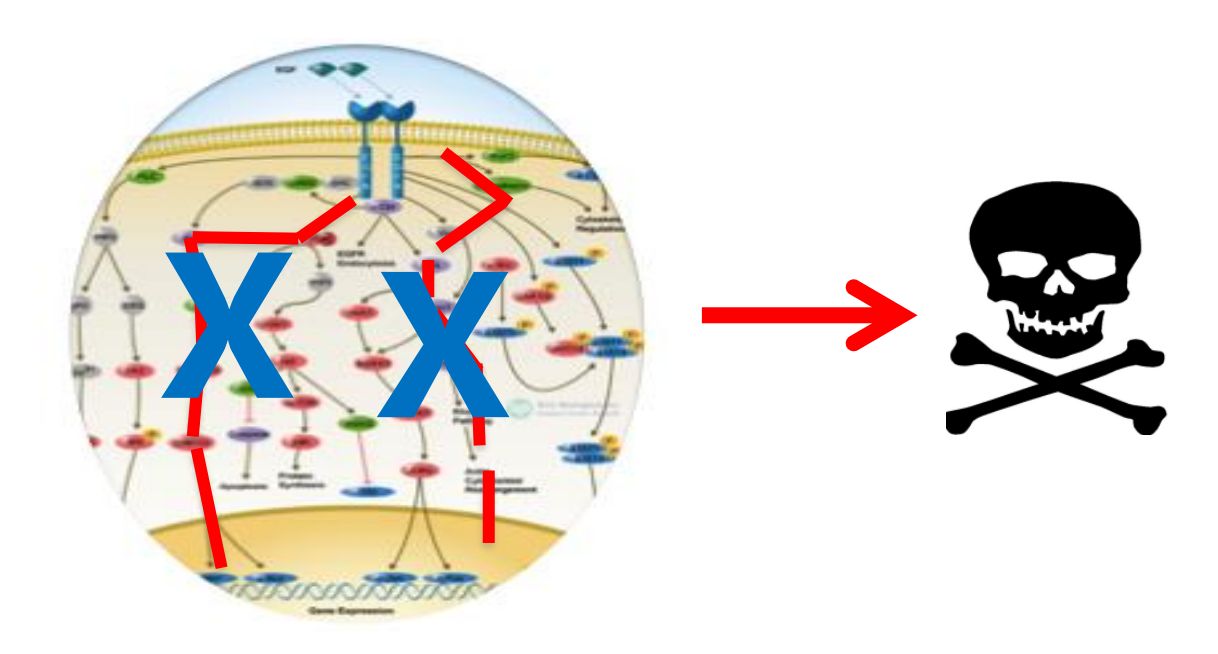
调控重要通路的 重要节点



肿瘤细胞通过代偿机制或自 适应抵抗外界阻断



找到最佳药物组合是肿瘤个 体化的治疗的最终目标



对单一调控已经在复杂的肿瘤系统中被证明是短暂且不能长时间持续的



▮非因生物RPPA介绍——微阵列技术比对













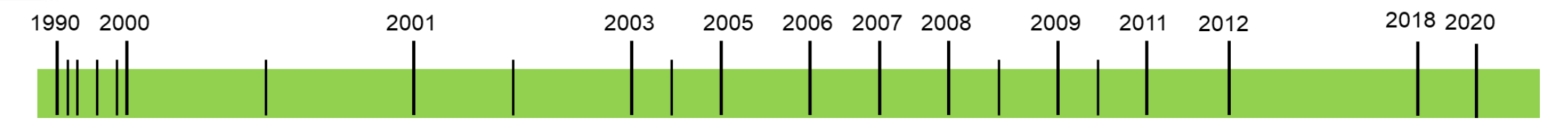






RPPA 技术发展历程





概念

技术

概念验证

基础医学应用

临床前/ 转化医学

临床研究

Ekins R & Chu FW (1991) 微型配体免疫检测法 Liotta LA & Petricoin EF (2000) 提出抗原在下蛋白微阵列技术

> 高精度自动化微阵列技术发展 蛋白结合基质发展 商业化抗体库的完善 磷酸化抗体发展 激光捕获显微切割技术发展

运用RPPA进行磷酸化蛋白检测 Paweletz, C et al (2001) 商业化进程 RPPA技术在全球实验室建立并得到广泛应用

> PWG为基础的Zeptosens技术 运用于RPPA领域 Oostrum J & Voshol H (2008)

MD 安德森在淋巴瘤样本中 应用RPPA技术 Tibes R, et al (2006) RPPA国际联盟成立 第一届联盟大会2011年 在MD 安德森举行

Nature发表乳腺癌分子特征, RPPA在TCGA项目中首次应用 TCGA (2012)

MD 安德森RPPA开始应用临床实验中 Beasley G et al (2012)

分析

TCGA项目开始,MD 安德森 Mills 组承担RPPA蛋白组学任务

在乳腺癌,头颈癌,淋巴瘤,肠癌临床试验中开始得到应用 Mueller C et al (2010) TCGA项目结束, RPPA在CNS等高影响 杂志中得到广泛应用 TCGA (2018)

2020年中国第一个RPPA平台

在济南非因生物成功建设

<mark>严格按照MD安德森RPPA水准搭建</mark>

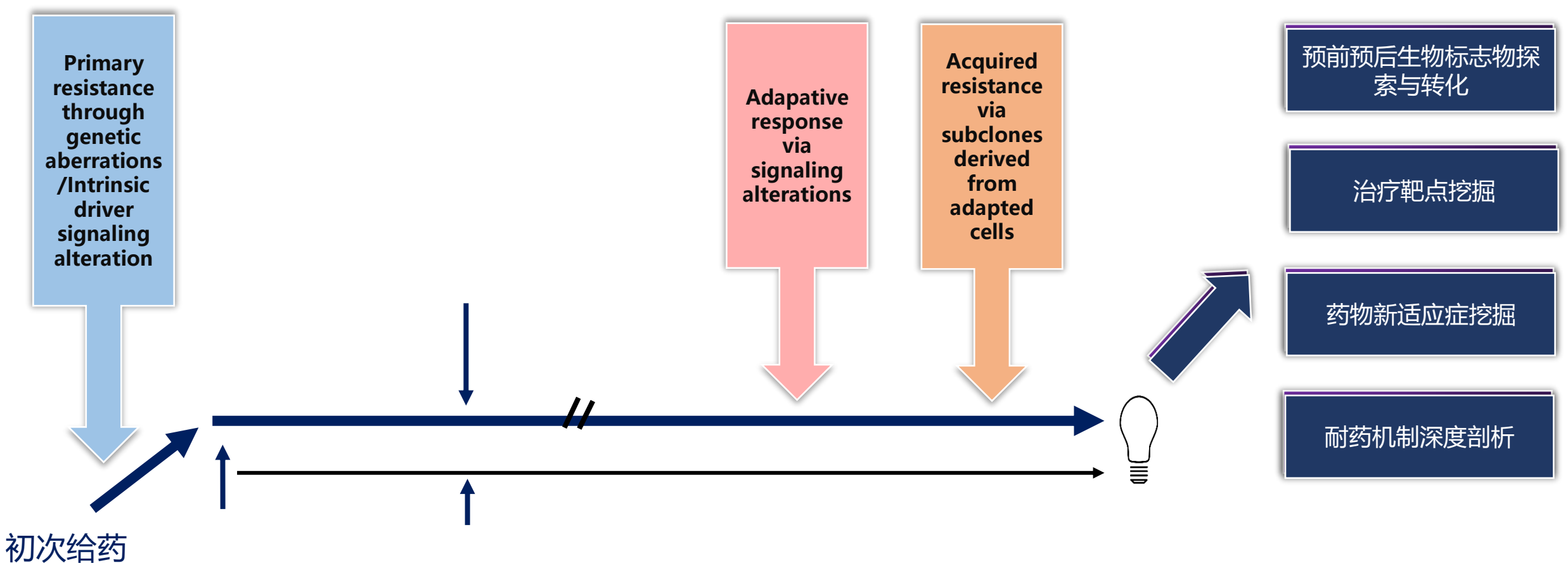
运用RPPA技术进行NCI-60细胞系分析 Nishizuka, S et al (2003)





药物作用引发的根据病程进化进行适应治疗策略



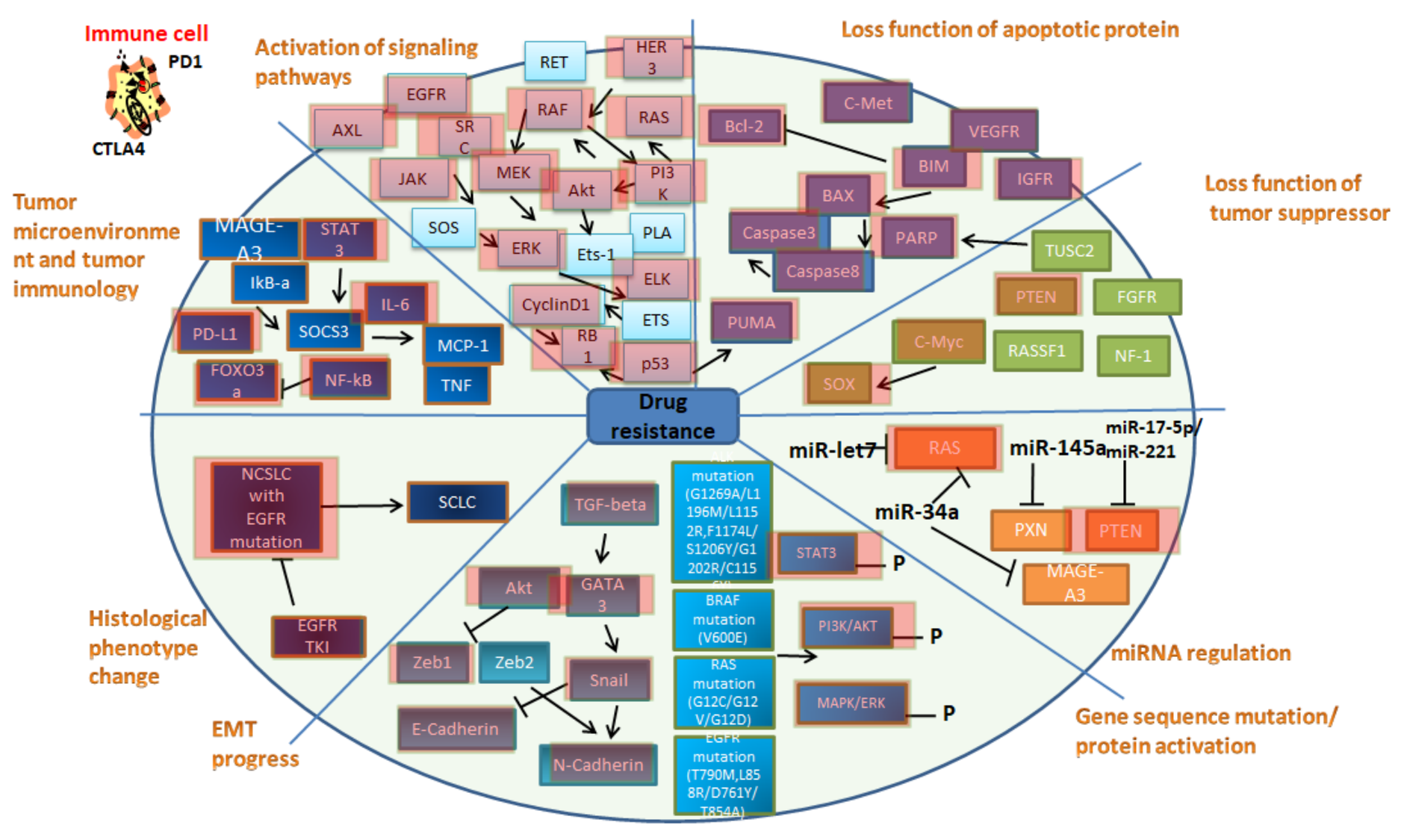






RPPA靶点基础: 药物作用机理分析-----细胞信号转导覆盖



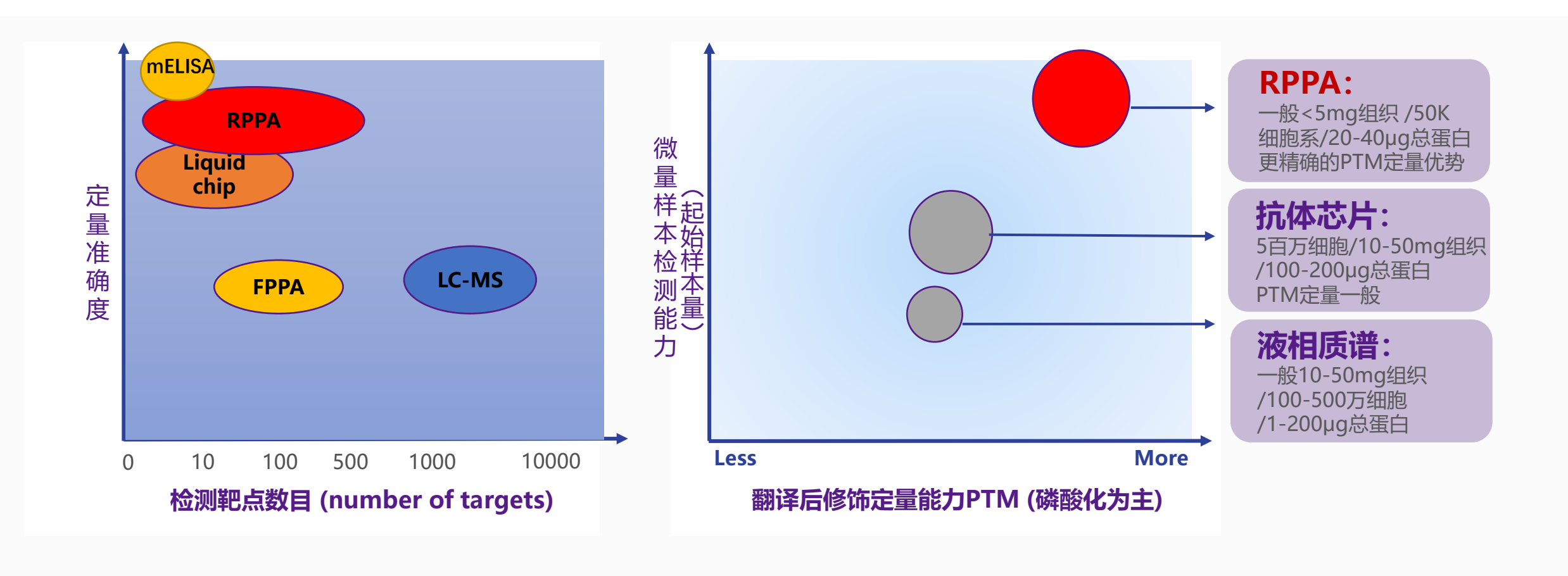






高通量蛋白组学技术比对





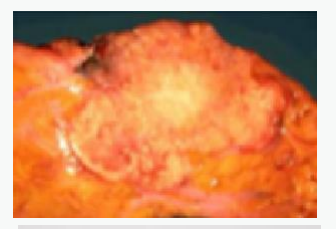


▮ 非因生物RPPA介绍——反相蛋白微阵列RPPA工作流程



传承MD 安德森的价值和理念,TCGA 的蛋白组学分析策略

培养细胞/ 鲜冻组/ PDC/PDX/ 血清血浆 / 外泌体等





技术提升: 样本前处理自动化

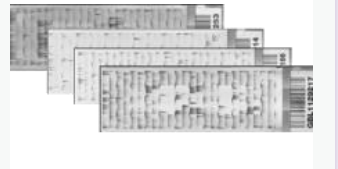


高通量微阵列制备(5808个点/微阵列)

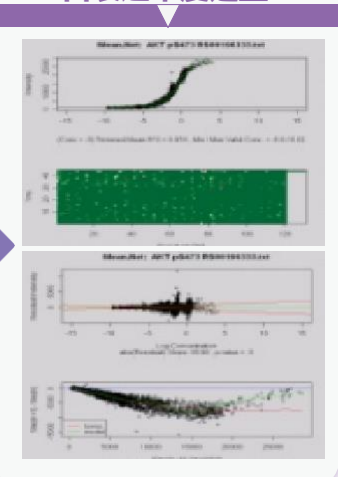


严格验证的抗体进行 免疫反应; 基于DAB 显色的定量

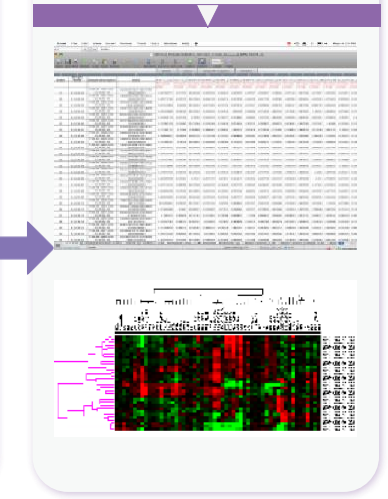




一次产生230 万个数 据点信息通过Super Curve Fitting 实现蛋 白表达丰度定量



下游分析及整合分析)



- 微量多样本简单处理;
- 大规模高通量消除实验间误差;

- 全流程全自动化,减少人为误差;
- 高灵敏,可测蛋白重要分子及修饰水平 (PTM) 上的变化,如磷酸化等



RPPA 蛋白组学技术的优势



高通量: 每张芯片容纳1056个样品及所需各种对照, 适合多样本比对。

高内涵: 380个以上癌症相关蛋白包括磷酸化蛋白的信息。

自动化: 主要步骤自动化操作, 消除人为误差。

微量样品: 40µg总蛋白可以完成380个以上蛋白的分析。

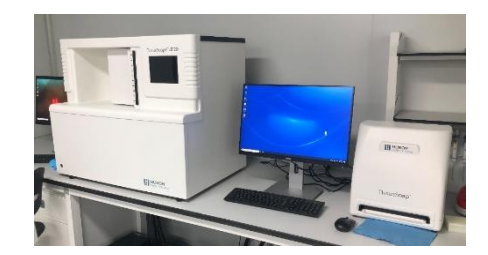
高灵敏度: 飞克级(10的-15次方克)检测精度。

高度定量:每个样本5个梯度稀释同时检测,基于 SuperCurve 精确定量。

- 依赖大量高质量抗体和多种高端设备,不易推广。
- 芯片制做和高通量抗体染色等过程复杂,技术难度大。



RPPA Arrayer



Huron Scanner

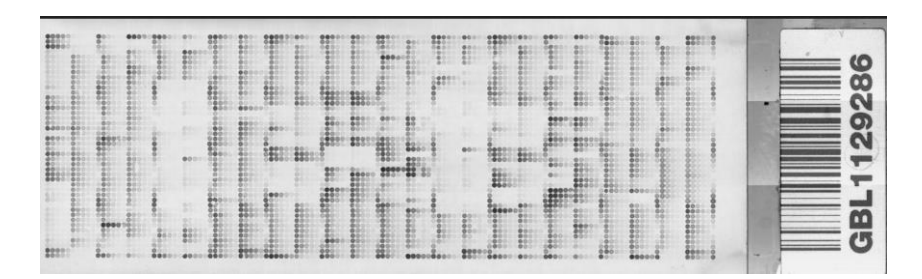




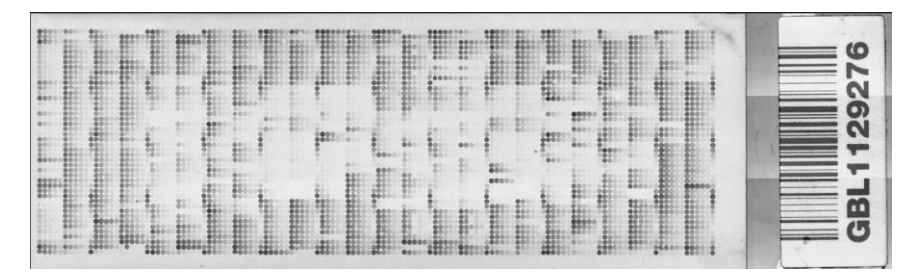
非因生物RPPA 微阵列展示



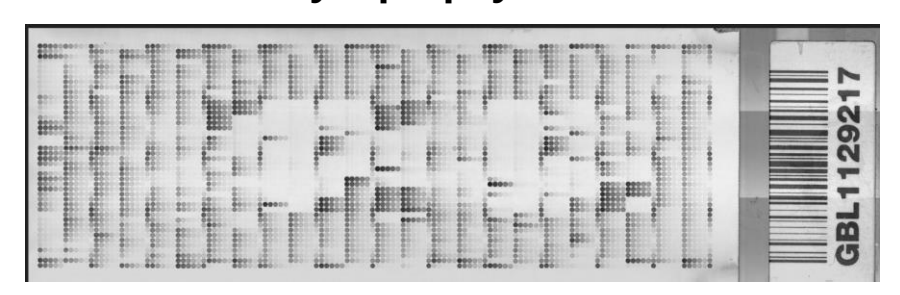
Tau



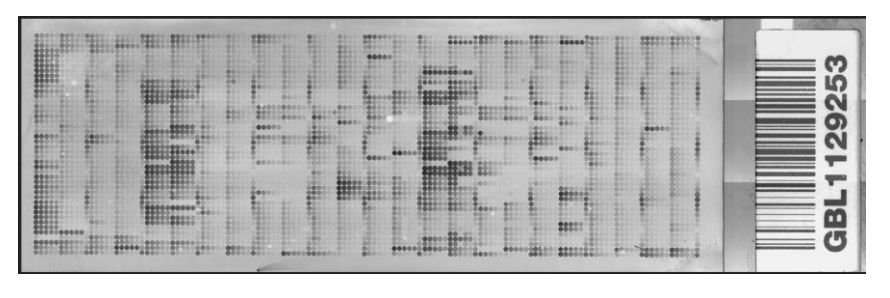
 $GSK-3/\beta-pS21/pS9$



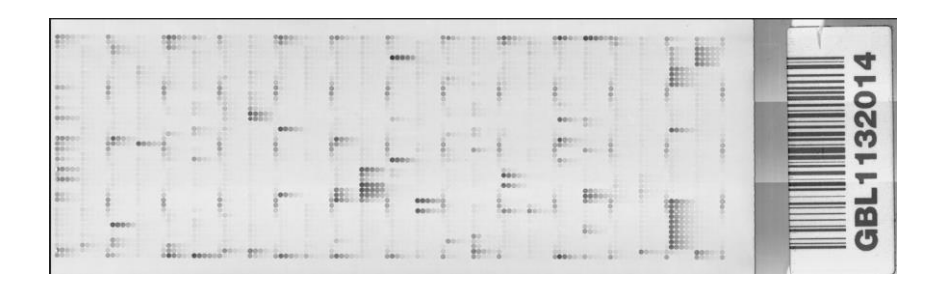
Synaptophysin



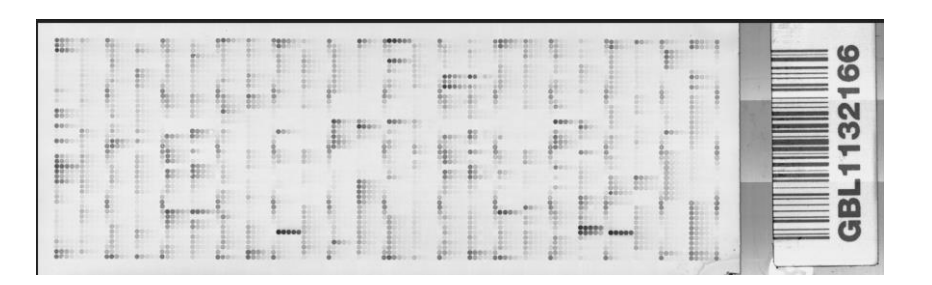
GSK- $3\alpha/\beta$



CD31



Vimentin



1 RPPA experiment 1056 samples

2.3 Million data points

Systemic proteomics informed

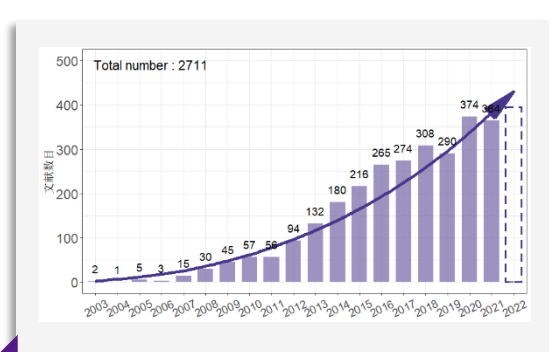
▮非因生物案例解析——应用领域及研究癌种分布





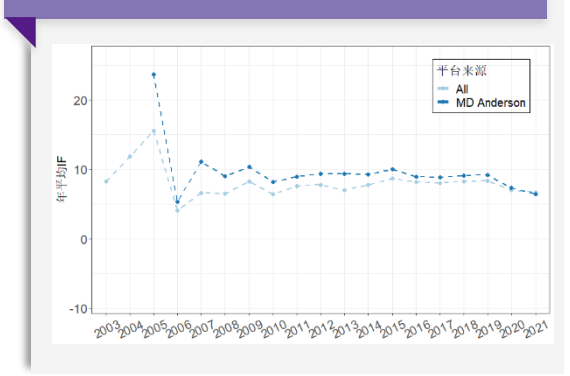
RPPA文献各研究领域 占比





2006-2021 历年RPPA 相关文章发表数目

2006-2021 历年RPPA 文献平均影响因子





▮非因生物案例解析——应用领域及研究癌种分布



基础•研究

临床·转化医学

单基因调控机理研 究 外泌体蛋白组学研 究

RPPA

临床试验耐药机理 研究

临床样本多组学整 合研究

临床治疗靶点挖掘

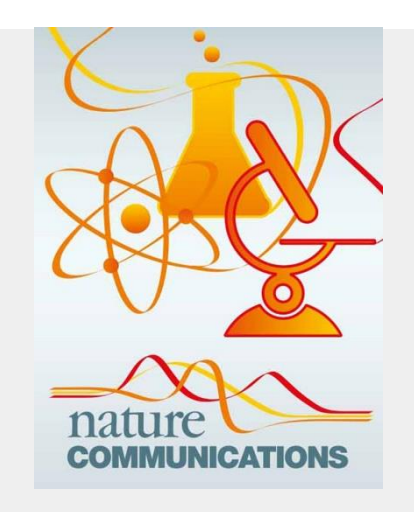
高通量药物敏感性 生物标志物研究

临床试验靶向药生 物标志物探索

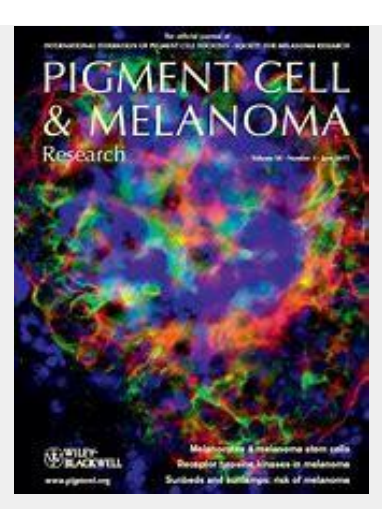


非因生物RPPA案例分析——应用场景





01 | 单基因/蛋白免疫调控细胞系研究



02 | 单基因免疫检查点相关调控研究



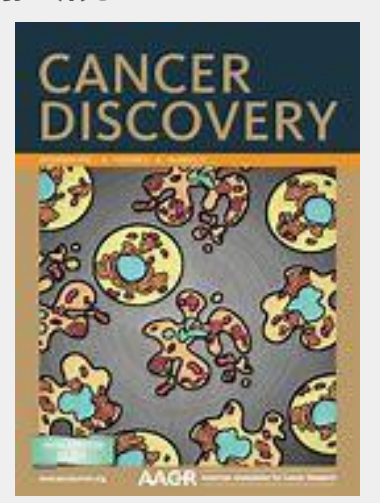
03 | 单基因信号通路深入研究



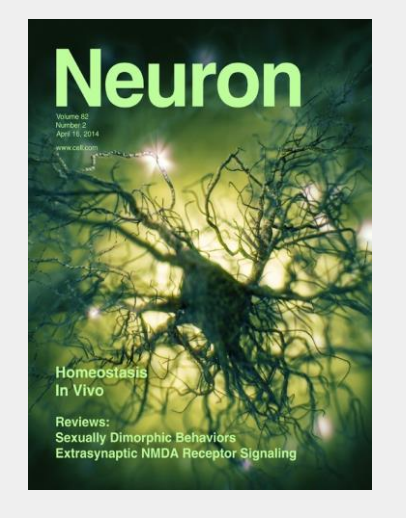
04/05 | 基于蛋白组的临床多组学整合性分析



06 RPPA外泌体蛋白组分型研究



07 | 临床治疗靶点挖掘



08 | 关键AD相关通路靶点验证



非因生物RPPA案例分析1——探究卵巢癌中促进转移的潜在决定因素





IF:14.191

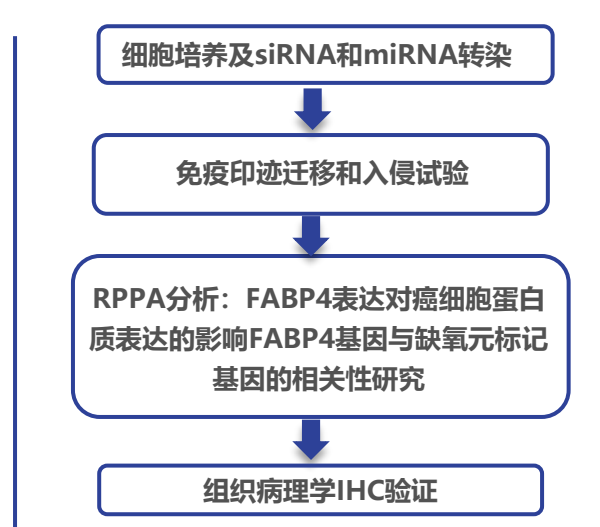
ARTICLE

DOI: 10.1038/s41467-018-04987-y

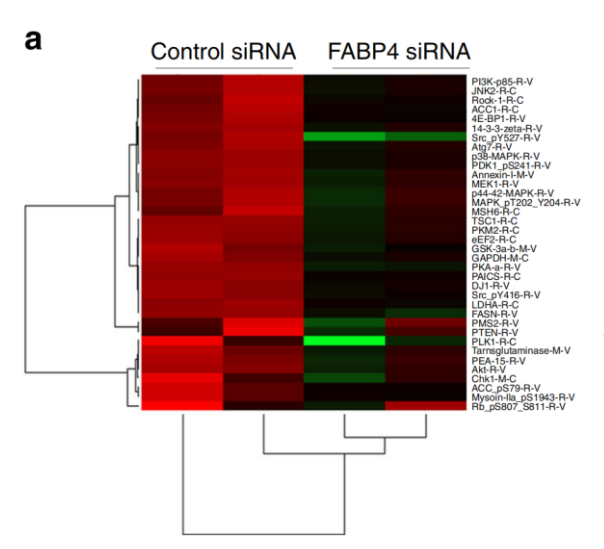
OPEN

FABP4 as a key determinant of metastatic potential of ovarian cancer

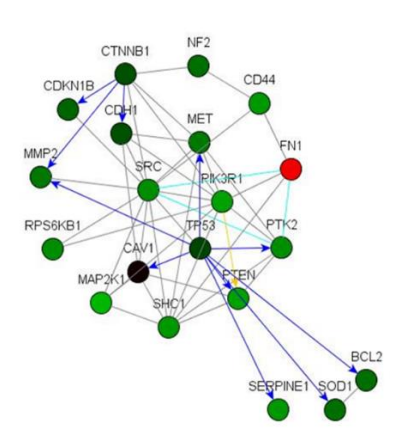
Kshipra M. Gharpure¹, Sunila Pradeep^{1,2}, Marta Sans ³, Rajesha Rupaimoole⁴, Cristina Ivan ^{5,6}, Sherry Y. Wu¹, Emine Bayraktar¹, Archana S. Nagaraja¹, Lingegowda S. Mangala^{1,5}, Xinna Zhang⁵, Monika Haemmerle⁷, Wei Hu¹, Cristian Rodriguez-Aguayo ^{5,6}, Michael McGuire¹, Celia Sze Ling Mak¹, Xiuhui Chen¹, Michelle A. Tran¹, Alejandro Villar-Prados¹, Guillermo Armaiz Pena⁸, Ragini Kondetirmmanahalli⁹, Ryan Nini ³0, Pranavi Koppula¹¹, Prahlad Ram¹², Jinsong Liu¹³, Gabriel Lopez-Berestein^{5,6}, Keith Baggerly¹⁴, Livia S, Eberlin³ & Anil K. Sood^{1,5,15}



背景: 先前的研究发现FABP4 (脂肪酸结合蛋白)可以显著增加癌细胞的转移潜能。还发现FABP4高表达可作为高级别浆液性卵巢癌可靠的分子预测标志物。在前列腺癌中,FABP4 蛋白可作为协同脂肪细胞与肿瘤进展的重要分子。



用对照siRNA或FABP4 siRNA转染 HeyA8 MDR细胞72小时后,从细胞中分离蛋白质裂解物进行RPPA分析。 RPPA数据的热图显示了FABP4敲除 后几种蛋白质表达下调。



基于RPPA蛋白表达谱,通过网络互作发现FABP4 siRNA组下调的蛋白质与转移途径有关

b

Pathway	<i>p</i> -value
Microtubule bundle formation	1.96E-04
Regulation of actin cytoskeleton	3.76E-06
Focal adhesion	3.57E-09
Tight junction	1.19E-04
Adherens junction	2.04E-05

进一步使用Netwalker软件分析蛋白数据,结果显示FABP4 siRNA组中与转移相关的子路径显著相关





非因生物RPPA案例分析2——探究黑素瘤中RAC1 P29S调控PD-L1表达模式



Pigment Cell Melanoma Res. 28: 590-598

IF:4.693

ORIGINAL ARTICLE

RAC1 P29S regulates PD-L1 expression in melanoma

Ha Linh Vu¹, Sheera Rosenbaum¹, Timothy J. Purwin¹, Michael A. Davies² and Andrew E. Aplin^{1,3}

1 Department of Cancer Biology and Sidney Kimmel Cancer Center, Thomas Jefferson University, Philadelphia, PA, USA 2 Division of Cancer Medicine, Department of Melanoma Medical Oncology, The University of Texas MD Anderson Cancer Center, Houston, TX, USA 3 Department of De mato boy and Cutaneo us Biology, Thomas Jefferson University, Philadelphia, PA, USA

CORRESPONDENCE Andrew E. Aplin, e-mait Andrew.Aplin@Jefferson.edu

The results published here are in part based upon data generated by the TCSA Research Network http://cancergenome.nih.gov/. KEYWORDS melanoma/RAC1/PD-L1/anti-PD-1/ immune evasion

PUBLICATION DATA Received 1 May 2015, revised and accepted for publication 6 July 2015, published online 14 July 2015

doi: 10.1111/pcmr.12392

Summary

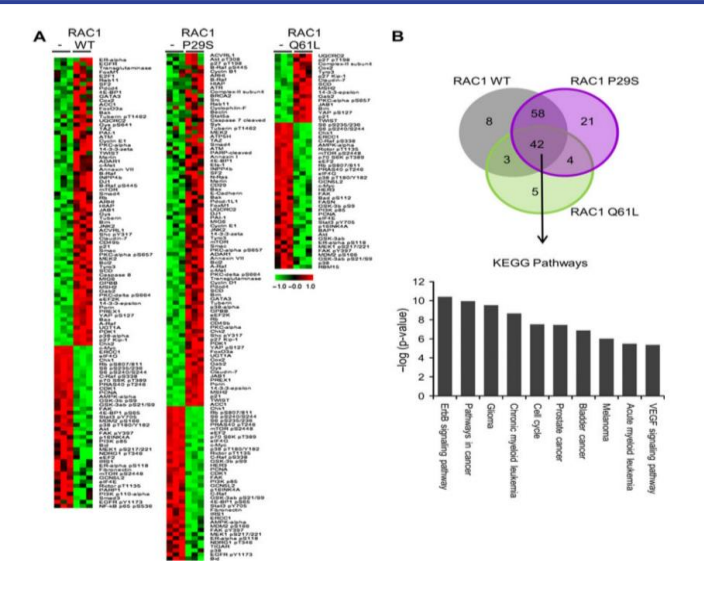
Whole exome sequencing of cutaneous melanoma has led to the detection of P29 mutations in RAC1 in 5-9% of



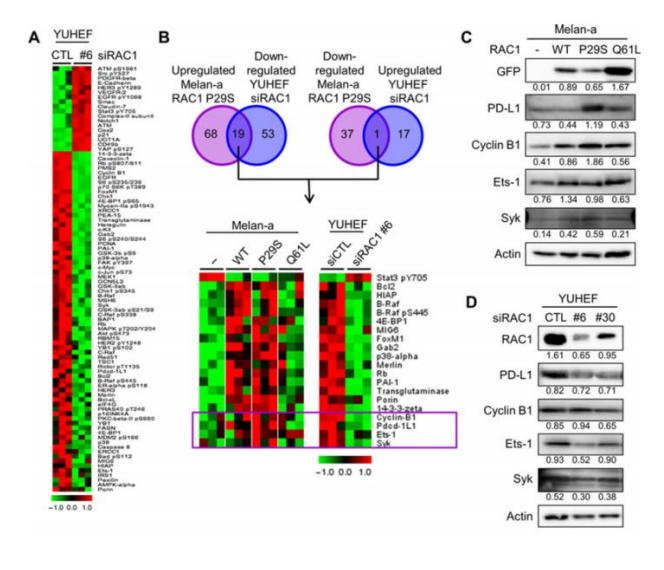
背景: RAC1 P29S突变是继BRAF V600E 和 NRAS Q61 后,晒伤所 致黑素瘤中突变最多的基因;

RAC1是小GTP酶RHO家族的重要成员。当Rac1被激活后,可参与肌动蛋白应力纤维和粘附斑形成,促进细胞骨架结构重组,调节片状伪足与丝状伪足伸延,影响细胞的形体极化,增强细胞运动迁移;

作者通过RPPA来揭示基于RAC1突变为特征的黑素瘤亚群,在经免疫治疗后其潜在的分子关联机制。从而更好地了解这些突变的生物学效应,以找出有显著临床意义的突变,为寻找更有意义的临床靶点及生物标志物而服务。



作者发现了在各个细胞系中的蛋白丰度变化,并通过Venn图发现了42个共有的差异表达蛋白。并对共它们进行KEGG分析,发现top10中有通路Cell cycle和Melanoma



随即通过RPPA比较了过表达细胞系与RAC1 siRNA敲低的细胞系。并发现了19个高表达以及1个低表达的差异蛋白,并发现了四个独特的差异表达蛋白cyclin B1, PD-L1, Ets-1和 Syk为RAC1 P29S突变株所独有。并通过WB证实了RAC1 P29S对PD-L1表达的正调控。





非因生物RPPA案例分析3——

-探究在BRAF突变型黑素瘤中由PAK通路驱动的获得性 靶向药物耐药性机理



IF: 49.962

LETTER

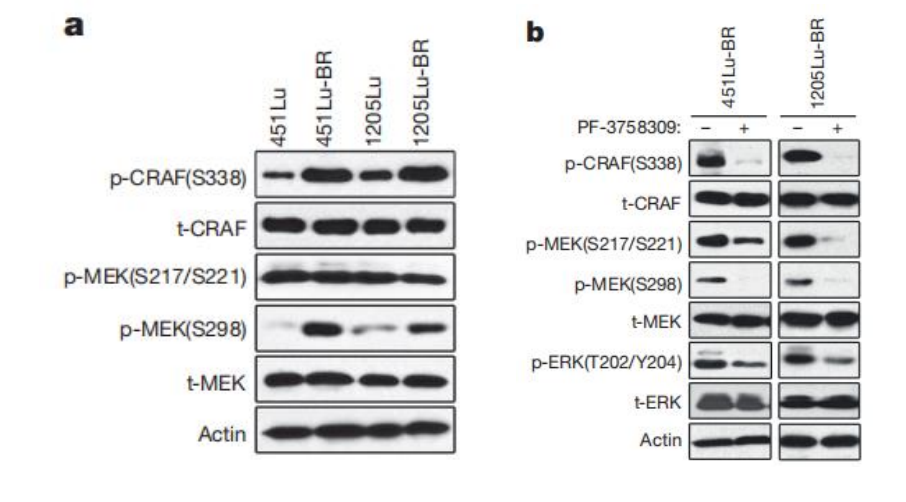
doi:10.1038/nature24040

PAK signalling drives acquired drug resistance to MAPK inhibitors in *BRAF*-mutant melanomas

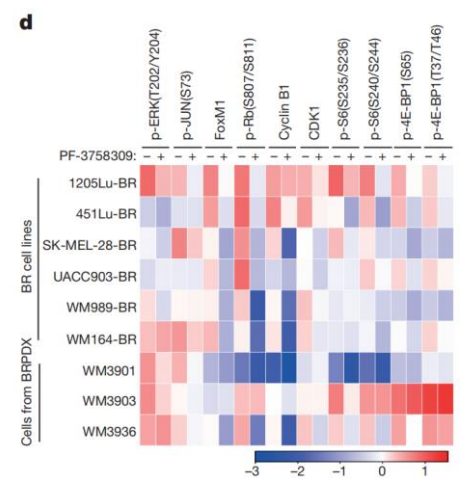
Hezhe Lu^{1a}, Shujing Liu^{2a}, Gao Zhang^{3a}, Bin Wu¹, Yueyao Zhu¹, Dennie T. Frederick⁴, Yi Hu⁵, Wenqun Zhong⁴, Sergio Randell³, Norah Sadek³, Wei Zhang⁴, Cang Chen¹, Chaoran Cheng⁶, Jingwen Zeng⁴, Lawrence W. Wu², Jie Zhang⁶, Xiaoming Liu², Wei Xu², Clemens Krepler³, Katrin Sproesser³, Min Xiao³, Benchun Miao⁴, Jianglan Liu³, Claire D. Song⁴, Ephrey Y. Liu⁷, Giorgos C. Karakousis⁸, Lynn M. Schuchter⁷, Yiling Lu⁹, Gordon Mills⁹, Yusheng Cong¹⁰, Jonathan Chernoff¹¹, Jun Guo¹², Genevieve M. Boland¹³, Ryan J. Sullivan⁴, Zhi Wei Guo¹, Seffrey Field¹⁴, Ravi K. Amaravadi³, Keith T. Flaherty⁴, Meenhard Herlyn³§, Xiaowei Xu²Ji⁸ & Wei Guo¹, Seffrey Shang⁴, Say Mei Guo¹, Shang⁴, Shang⁴,

背景: 靶向BRAFi 和 BRAFi联合MEKi 疗法显著改善了转移性黑色素瘤患者的临床疗效,但这些治疗的功效常常会受到耐药性的影响。作者深入研究了在BRAFi和联合治疗导致的获得性耐药的分子机制。与以前的研究一致,对BRAFi的抗性是通过ERK途径激活介导的,然而联合用药治疗的耐药性是由与ERK激活无关的机制介导的。





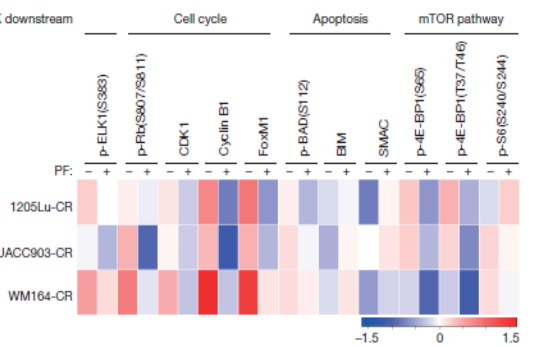
通过WB检测,发现BR细胞中p - CRAF (S338)和p - MEK (S298)都显著增加;用抑制剂处理后,MAPK信号表达下调



为了全面了解抑制PAK后BR细胞系中改变的信号通路,作者使用RPPA对它们进行分析。

主要变化: (1) 抑制MAPK路径,如p-ERK (T202 / Y204)及其下游目标p-c-JUN (S73)的减少; (2) 抑制细胞周期进程,如FOXM1、细胞周期蛋白B1和CDK1减少,同时p-Rb减少(S807 / S811); (3)抑制mTOR信号,如p-S6 (S235 / S236)、p-S6 (S240 / S244)、p-4E-BP1 (S65)和p-4E-BP1 (T37 / T46)的减少

在CR细胞中,发现对p-ERK的影响并不大,但是却会抑制ERK下游通路蛋白p-ELK1(S383)的磷酸化水平。同时m-TOR通路上的p-4E-BP1以及p-S6的磷酸化水平有显著降低,并且细胞周期活化(上调p-Rb和p-cyclin B1)





非因生物RPPA案例分析4——乳腺癌分子分型研究及新亚型鉴定(TCGA)

ARTICLE

IF: 49.962

doi:10.1038/nature114

Comprehensive molecular portraits of human breast tumours

The Cancer Genome Atlas Network*

We analysed primary breast cancers by genomic DNA copy number arrays, DNA methylation, exome sequencing, messenger RNA arrays, microRNA sequencing and reverse-phase protein arrays. Our ability to integrate information across platforms provided key insights into previously defined gene expression subtypes and demonstrated the existence of four main breast cancer classes when combining data from five platforms, each of which shows significant molecular heterogeneity. Somatic mutations in only three genes (*TP53*, *PIK3CA* and *GATA3*) occurred at >10% incidence across all breast cancers; however, there were numerous subtype-associated and novel gene mutations including the enrichment of specific mutations in *GATA3*, *PIK3CA* and *MAP3K1* with the luminal A subtype. We identified two novel protein-expression-defined subgroups, possibly produced by stromal/microenvironmental elements, and integrated analyses identified specific signalling pathways dominant in each molecular subtype including a HER2/phosphorylated HER2/EGFR/phosphorylated EGFR signature within the HER2-enriched expression subtype. Comparison of basal-like breast tumours with high-grade serous ovarian tumours showed many molecular commonalities, indicating a related aetiology and similar therapeutic opportunities. The biological finding of the four main breast cancer subtypes caused by different subsets of genetic and epigenetic abnormalities raises the hypothesis that much of the clinically observable plasticity and heterogeneity occurs within, and not across, these major biological subtypes of breast cancer.

466 组织样本/463 病人 mRNA DNA methylation SNP miRNA-seg WES

403 样本 RPPA 171 蛋白/磷酸化蛋白

mRNA与RPPA蛋白分型的高度一致性 高表达的HER2/EGFR; HER2(pY1248) /EGFR(pY992) ER,PR,AR,BCL2,GATA3,INPP4B (Lumina A)

RPPA 蛋白表达谱定义新亚型

> 发现2个

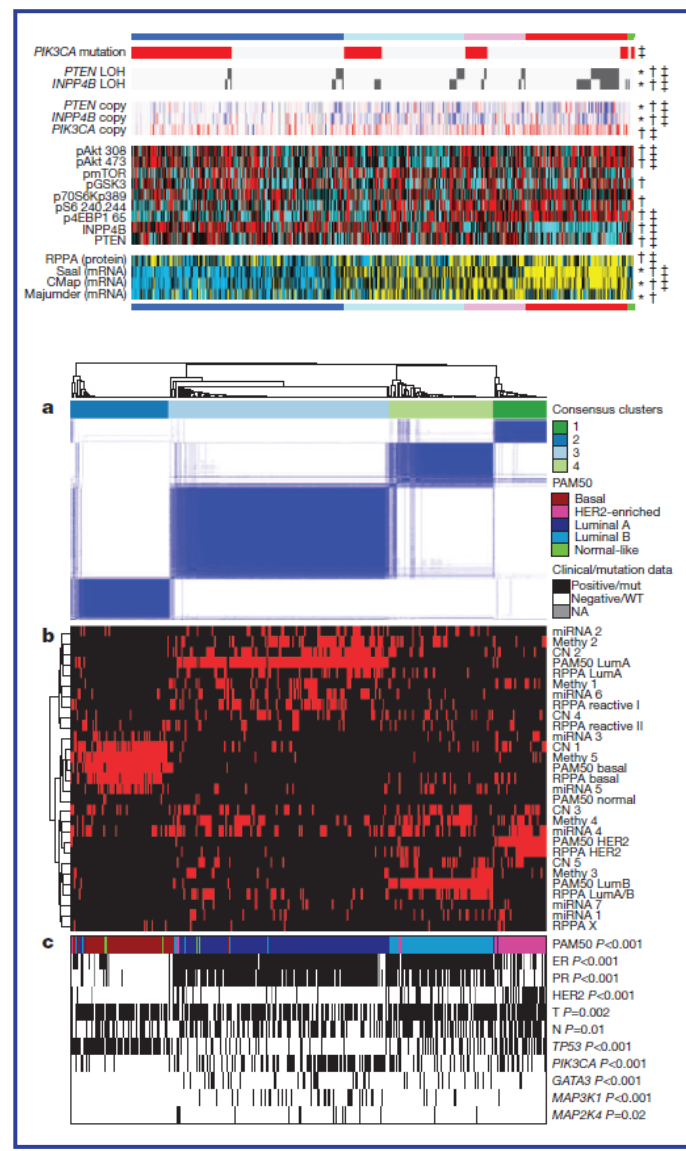
RPPA 蛋白表达谱定义新亚型:

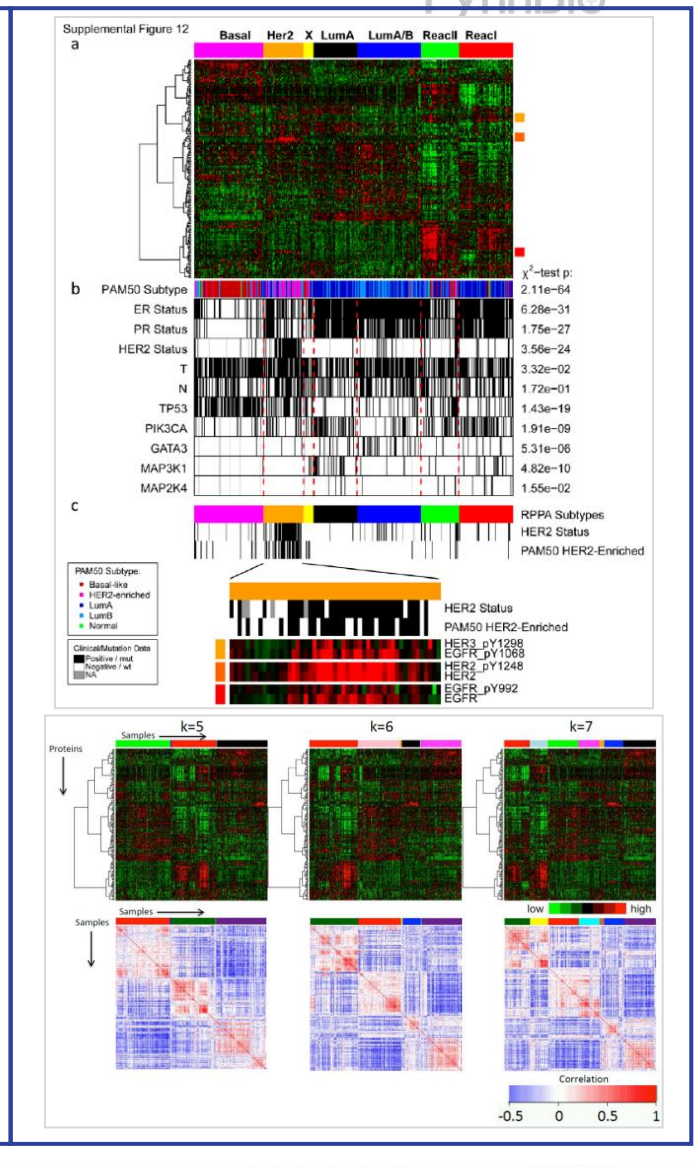
reactive I and reactive II

TME and fibroblasts (fibronectin
caveolin 1 collagen VI)

> 主要发现:

蛋白表达定义的新亚型在基因组,表观组 突变组合拷贝数变异层面观测不到。可独 立作为生物标志物和临床靶向药物研究的 新突破口。







ARTICLE

IF:49.962 OPEN

Comprehensive molecular characterization of clear cell renal cell carcinoma

找寻基因组层面所不能发现的信息

sensing (for example, VHL) and the maintenance of chromatin states (for example, PBRMI). We surveyed more than 400 tumours using different genomic platforms and identified 19 significantly mutated genes. The PI(3)K/AKT pathway was recurrently mutated, suggesting this pathway as a potential therapeutic target. Widespread DNA hypomethylation was associated with mutation of the H3K36 methyltransferase SETD2, and integrative analysis suggested that mutations involving the SWI/SNF chromatin remodelling complex (PBRMI, ARIDIA, SMARCA4) could have far-reaching effects on other pathways. Aggressive cancers demonstrated evidence of a metabolic shift, involving downregulation of genes

The Author(s) BMC Genomics 2017, 18(Suppl 6):678 生信挖掘

BMC Genomics

IF:3.969

Unique protein expression signatures of survival time in kidney renal clear cell carcinoma through a pan-cancer screening

Guangchun Han¹, Wei Zhao², Xiaofeng Song³, Patrick Kwok-Shing Ng⁴, Jose A. Karam⁵, Eric Jonasch⁶, Gordon B. Mills², Zhongming Zhao^{1,7*}, Zhiyong Ding^{2*} and Peilin Jia

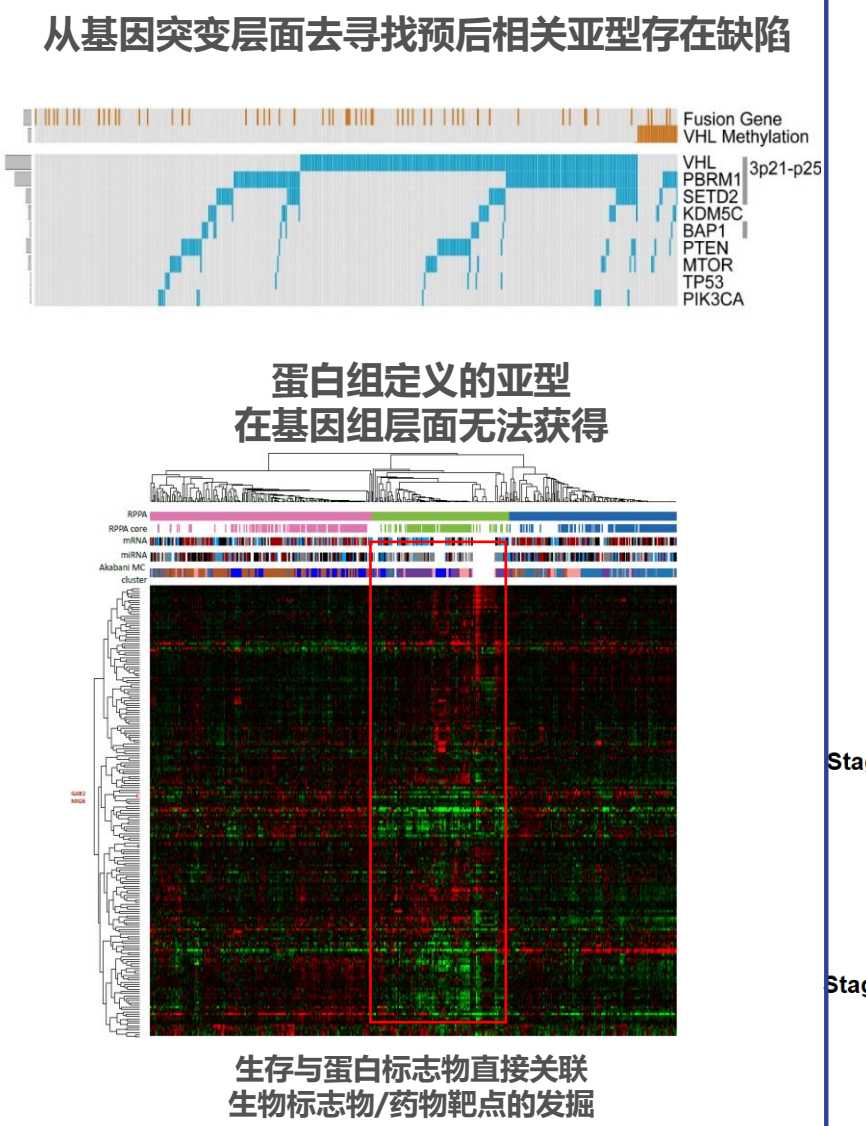
From The International Conference on Intelligent Biology and Medicine (ICIBM) 2016 Houston, TX, USA, 08-10 December 2016

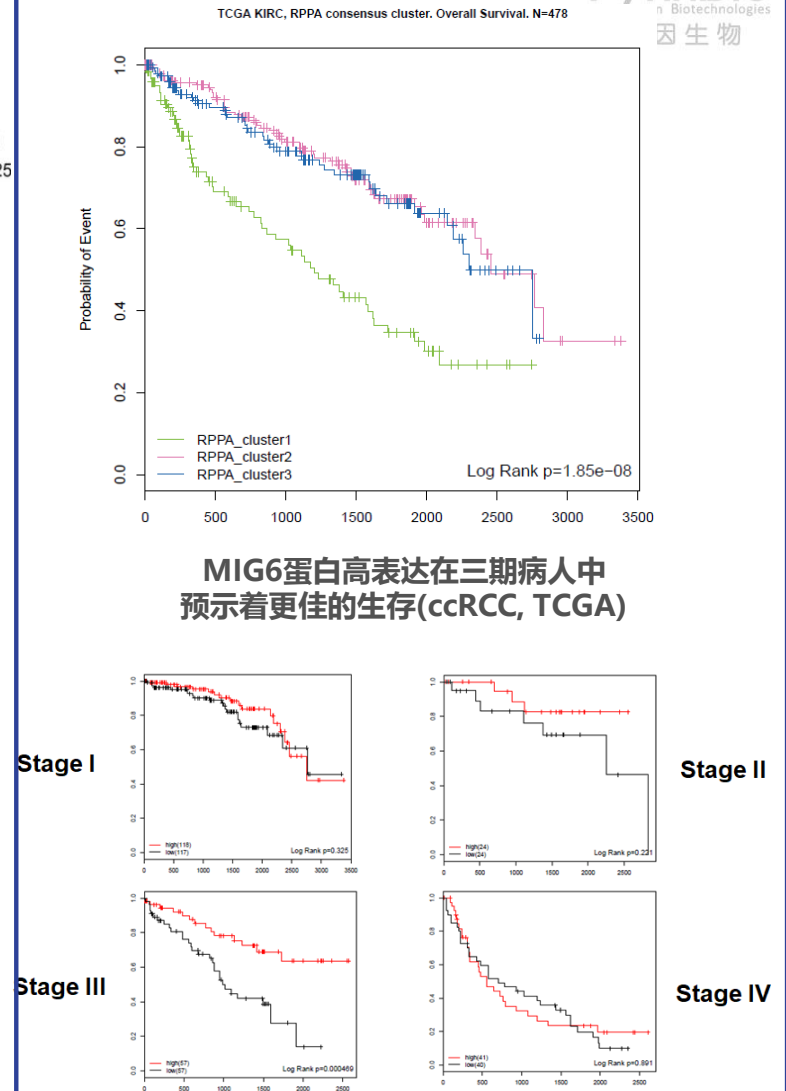


RPPA生物标志物 的相关性

分期相关 生物标志物

非因生物RPPA案例分析5——RPPA蛋白分型寻找透明细胞肾癌ccRCC生物标志物







RPPA包含标志物的

mRNA转录情况

非因生物RPPA案例分析6——RPPA外泌体蛋白组之蛋白生物标志物探索



SCIENCE ADVANCES | RESEARCH ARTICLE

IF:14.136

(2 ml)

to 0.5

Collection of

sEV fraction

the sEV

Protein lysis

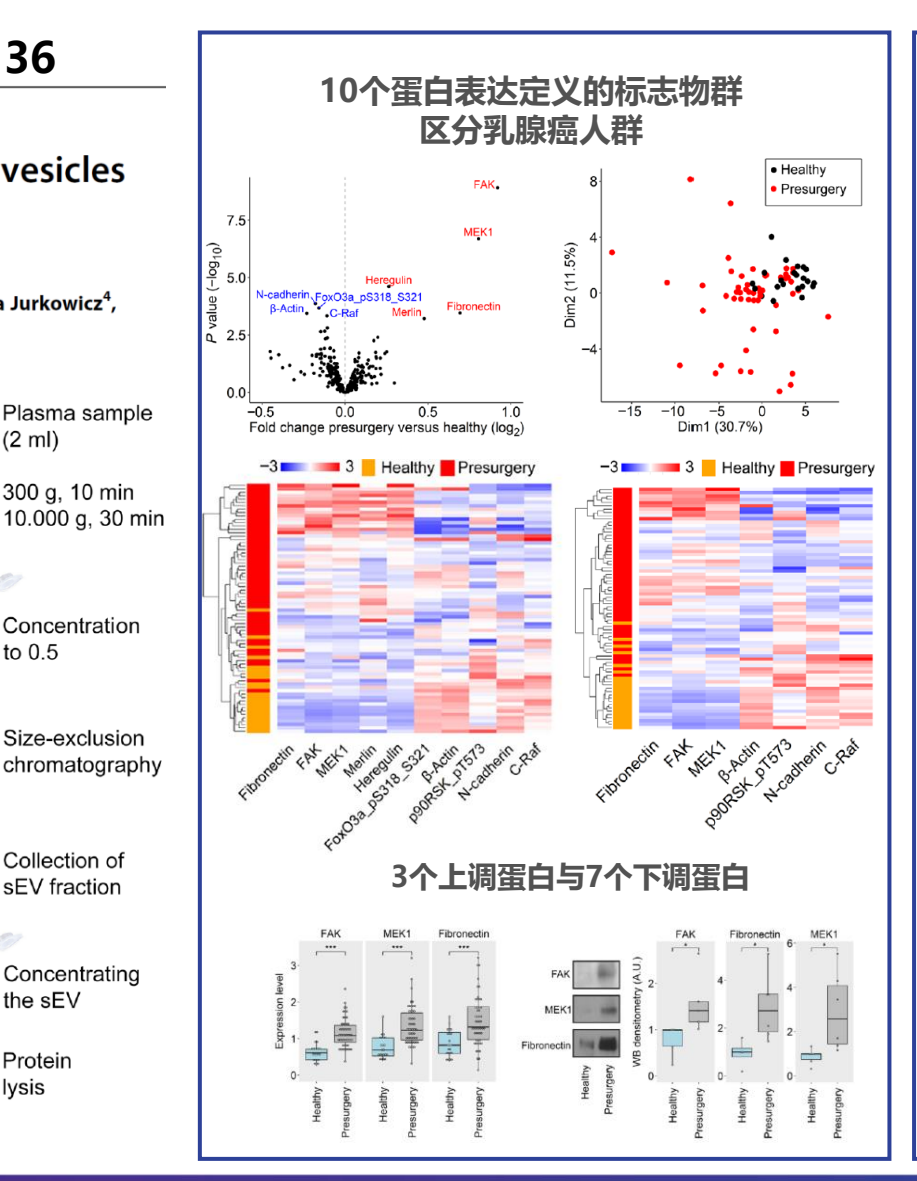
RPPA

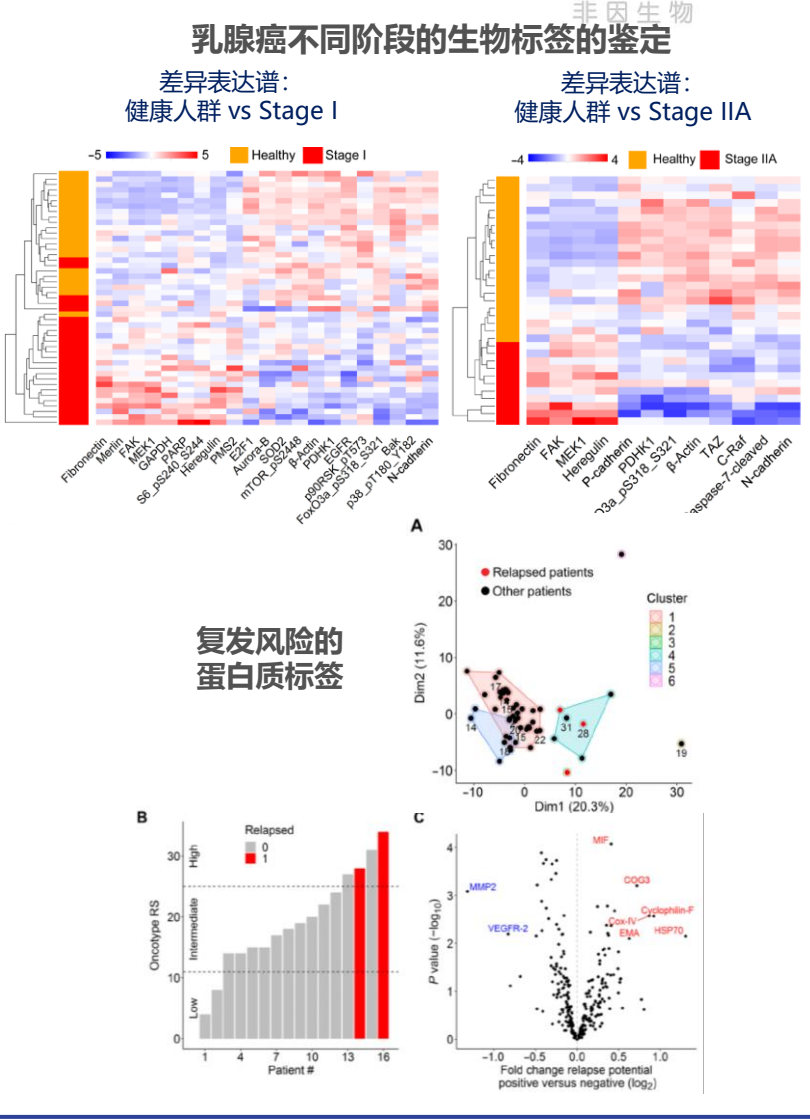
CANCER

Proteomic analysis of circulating extracellular vesicles identifies potential markers of breast cancer progression, recurrence, and response

Yaron Vinik¹*, Francisco Gabriel Ortega¹*, Gordon B. Mills², Yilling Lu³, Menucha Jurkowicz⁴,



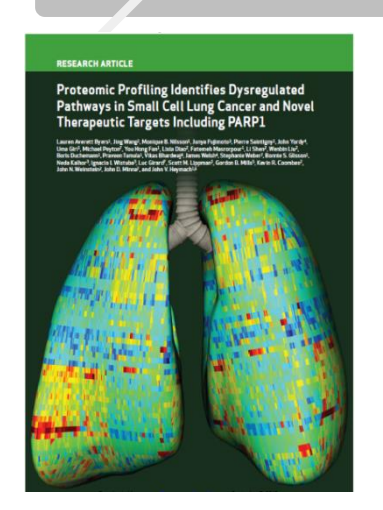




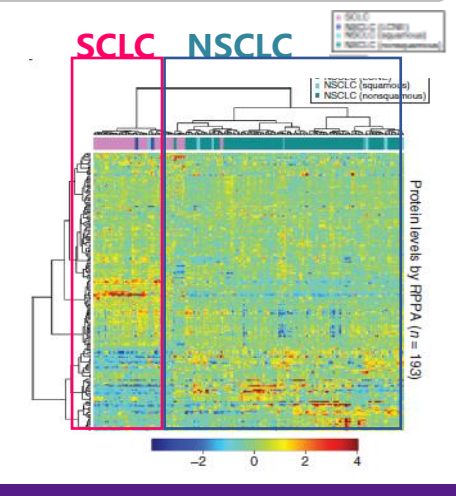
非因生物RPPA案例分析7——探究小细胞肺癌中RPPA高表达,并应用于靶向治疗



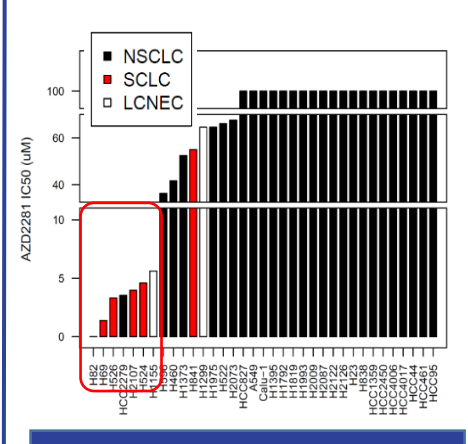
临床靶向药物适应症和治疗分子靶点研究



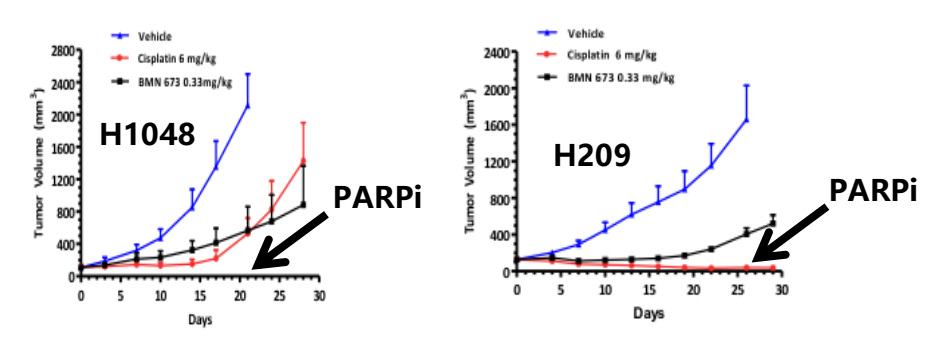
IF:39.397



Byers et al. Cancer Discovery, 2012 封面文章报道



Olaparib (AZD2281) 单药



Byers et al. Cancer Discovery, 2012; Cardnell and Byers, CCR 2013

PARP抑制剂Niraparib单药小细胞肺癌维持治疗III期研究





PARP抑制剂 Talazoparib (BMN 673) – 单药在SCLC中

SCLC patients had extensive stage and had progressed following platinum administration

Zev A. Wainberg, Saeed Rafii et al. ASCO 2014 Abstract no 7522



非因生物RPPA案例分析8——C3AR在AD中的机制研究



基于小鼠的机理研究

IF:14.415

Neuron

Article

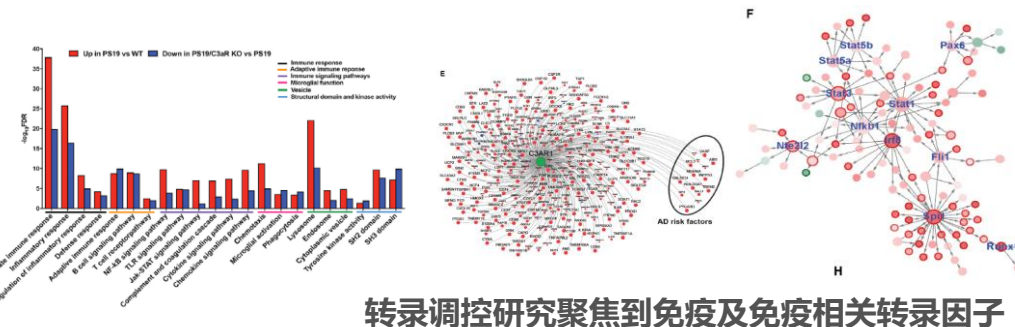
Complement C3aR Inactivation Attenuates Tau Pathology and Reverses an Immune Network Deregulated in Tauopathy Models and Alzheimer's Disease

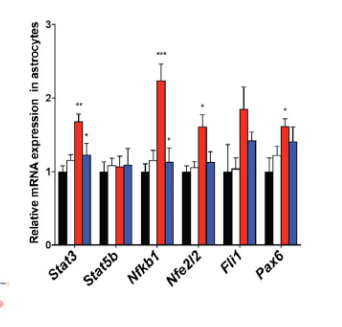
Graphical Abstract Authors

背景: AD形成过程中Tau蛋白调控机制不明确, C3-C3AR通路调控与感知下降与Braak分期相 关,且CR3被证明调控Aβ以及星形细胞---神 经元----小胶质瘤细胞之间互作



基于RNA-seq的模型机理研究

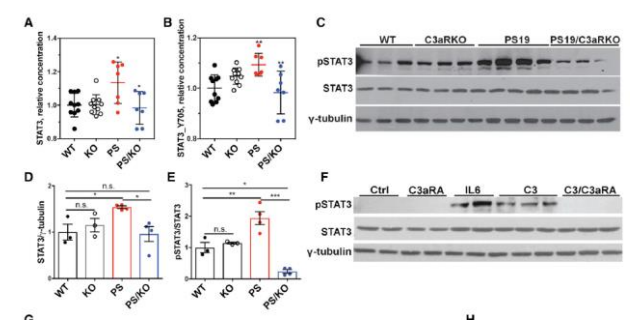




RPPA分析STAT3相关通路表达水平

Bulk层面的 STAT3表达与 C3AR显著相关。

64小鼠样本(4个 组,每组7-10个 独立样本RPPA 分析)



WB验证

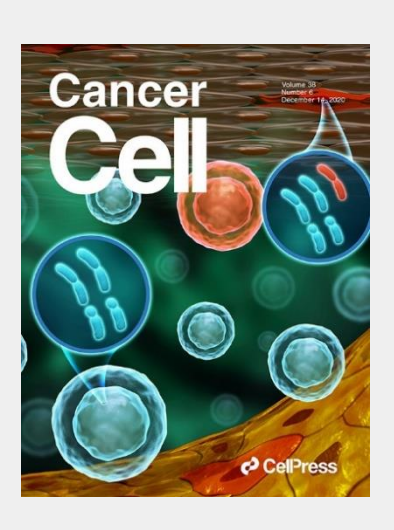


非因生物RPPA案例分析——临床转化医学类





08 | 临床耐药性分子机制的整体评估



09 | 高通量癌症药物靶点研究



10 | 临床试验靶向药生物标志物探索



非因生物RPPA案例分析8——临床样本耐药机理研究

转移性结直肠癌1/11期个体化治疗试验方法学

评估获取Imatinib和Panitumumab分层治疗患者蛋白质通路激活图谱的可行性



IF: 4.466



Pilot Phase I/II Personalized Therapy Trial for Metastatic Colorectal Cancer: Evaluating the Feasibility of Protein Pathway Activation Mapping for Stratifying Patients to Therapy with Imatinib and Panitumumab

M. Pierobon, A. Silvestri, A. Spira, A. Reeder, E. Pin, S. Banks, Erika Parasido, K. Edmiston, L. Liotta, and E. Petricoin*

难点:

- (1) CRC病例的分子图谱和基质不明确, 且非常影响靶标药物的作用; 因而,转移性患者的治疗应以继发病灶的分子图谱为主导;
- (2) 转移瘤与原发肿瘤的分子相似性较低,只有通过对转移瘤的直接分 析才能获得准确的分子图谱
- (3) WGS、WES等分析技术存在数据局限性,不能完全解释耐药;
- (4) 利用基于活体检视获得的微量细胞,及时定量活化状态蛋白的技术 方法,目前还十分缺乏;

3名患者 (2敏感, 1耐药) 给药前 vs 给药后 Fresh frozen tissues 新鲜冰冻组织获取



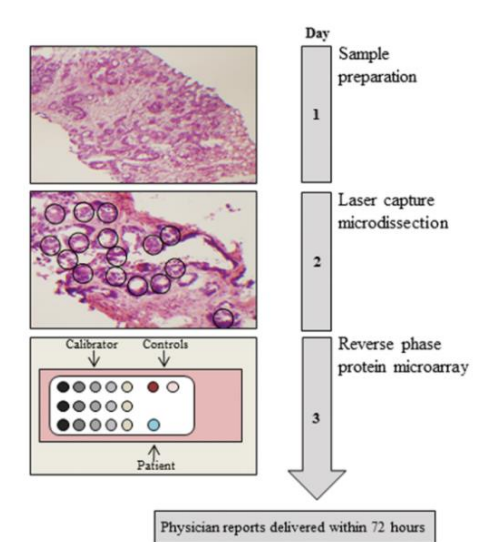
Laser Captured Microdissection 激光捕获显微切割纯化 微环境中的肿瘤组织



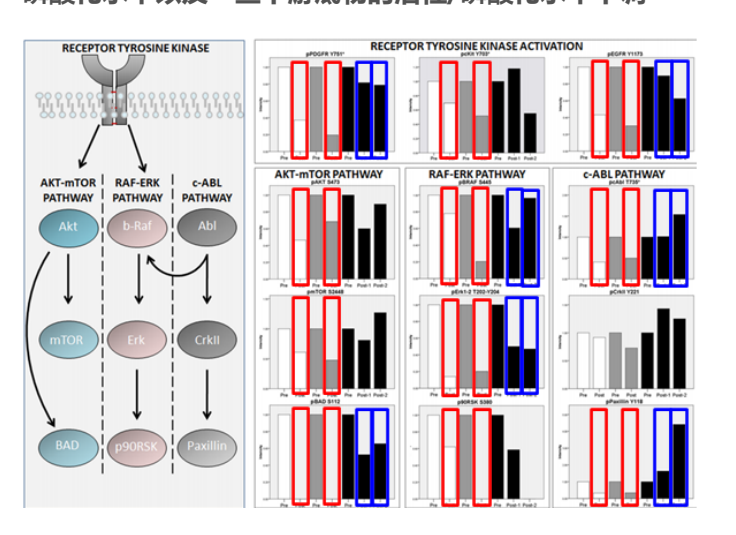
蛋白提取及RPPA分析



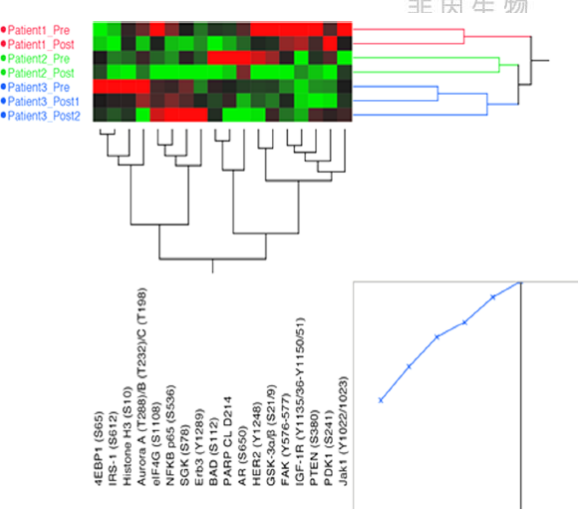
72h内,获取Imatinib和



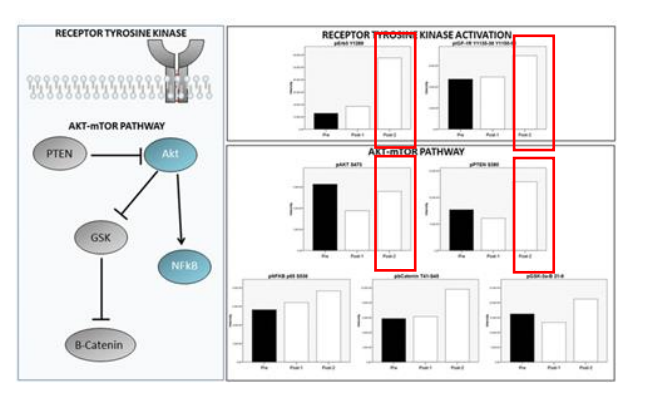
通过3名患者评估:给药后,药物靶点和下游底物磷酸化的 变化。评估的3名患者中有2名患者的所有药物靶点的活化/ 磷酸化水平以及一些下游底物的活性/磷酸化水平下调



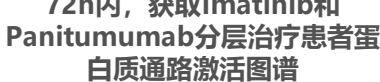




1名耐药患者评估: 二次治疗后观测, AKT-mTOR通路激活增加,同样的还有RTKs。







非因生物RPPA案例分析9——高通量癌症药物靶点研究

Cancer Cell



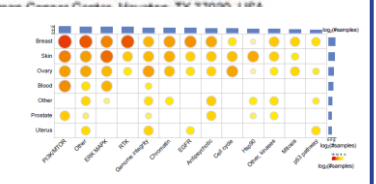
Article

Large-Scale Characterization of Drug Responses of Clinically Relevant Proteins in Cancer Cell Lines

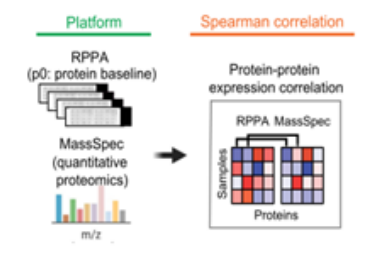
Wei Zhao, 1-2-12 Jun Li, 1-32 Mei Ju M. Chen, 1 Yikai Luo, 1-2 Zhenlin Ju, 1 Nicole K. Nesser, 4 Katie Johnson-Camacho, 4 Christopher T. Boniface, 4 Yancey Lawrence, 4 Nupur T. Pande, 4 Michael A. Davies, 5 Meenhard Herlyn, 9 Taru Muranen, 7 Ioannis K. Zervantonakis, 74 Erika von Euw, 6 Andre Schultz, 1 Shwetha V. Kumar, 1 Anil Korkut, 7 Paul T. Spellman, 4 Rehan Akbani, 1 Dennis J. Stamon, 4 Joe W. Gray, 19 Joan S. Brugge, 7 Yiling Lu, 7 Gordon B. Mills, 13-7 and Han Liang 1-2-13-13.

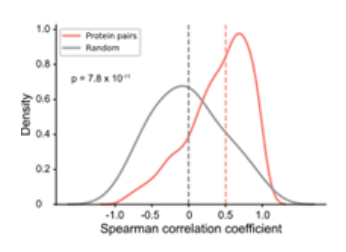
实验设计:

319种细胞系+170种药物的关联 单药处理86%, 1700+组合处理 11884份处理样本和3608份对照 (Δp

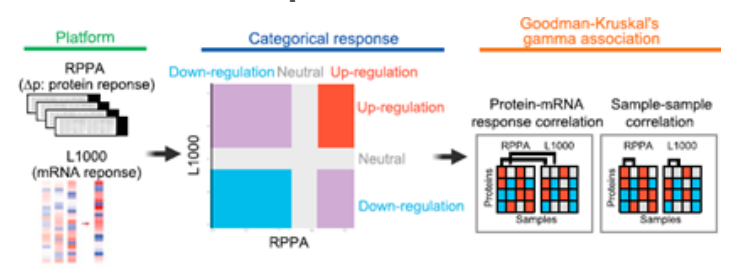


RPPA比对MS数据 (靶点相关性)





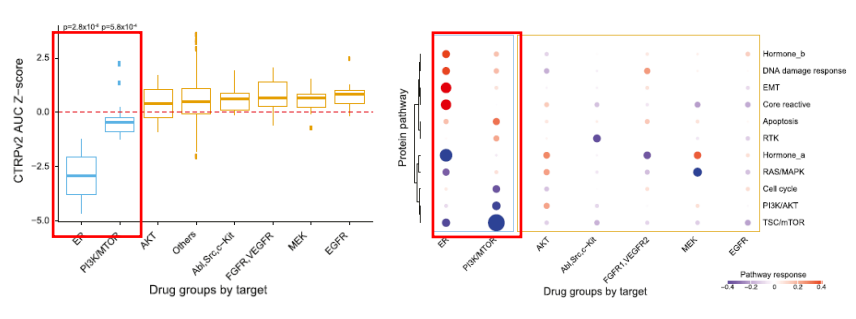
RPPA比对RNA-seq数据(靶点相关性,样本相关性)



实验设计:

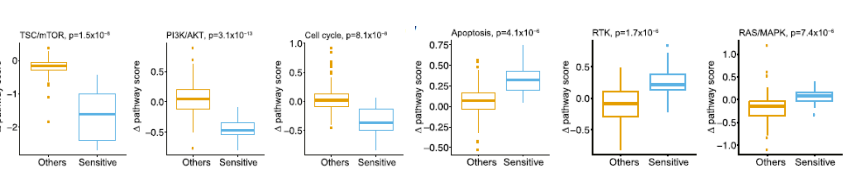
聚焦在MCF7细胞系数据 (1500+样本)

- ✓ 19种靶向药及组合
- ✓ 9种刺激及不同处理时间(本底+处理条件/时间∆p)
- ✓ 覆盖主要 MCF7主要药物靶点 (ER,PI3K/mTOR,AKT,MEK,EGFR)
- ✓ 2各层面分析:按RPPA靶点pathway分 类或按药物作用机理pathway分类



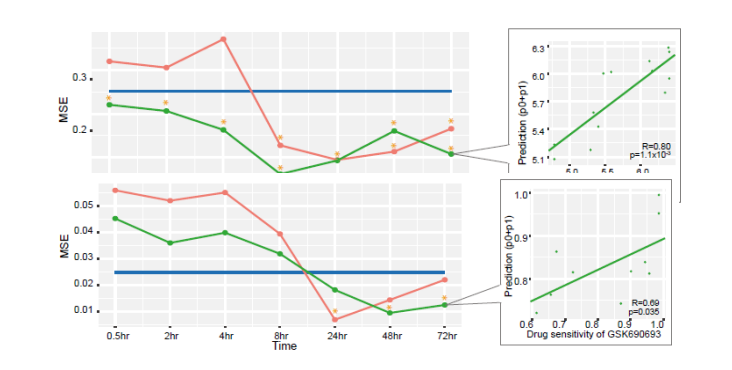
结论:

MCF7对ER和PI3K/MTOR极度敏感



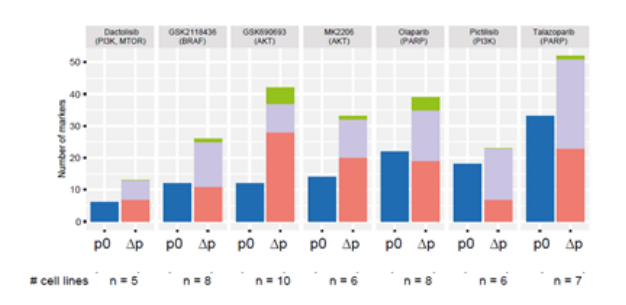
实验设计:

7个药物 (GDSC2数据,5个以上细胞系) 处理前,处理后差异,处理后差异+处理前



结论:

- ✓ 对药物敏感的生物标志物研究
- ✓ 差异变化可以作为更直接的生物标志物
- ✓ 在时间维度上,处理后72小时的预测准确度
- ✓ 高于早期时间点



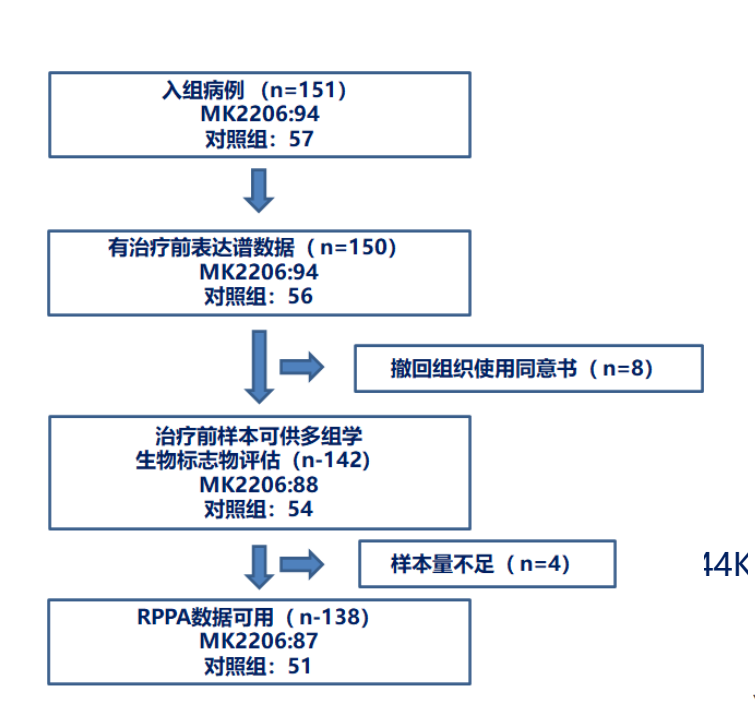


非因生物RPPA案例分析10——药敏临床试验生物标志物研究(RPPA分析)



I-SPY-2 trial 抑制剂(MK2206)

转录组表达谱芯片 (Agilent 44K) WES全外显子测序 RPPA蛋白组学 (118 protein/phosphoproteins targeting drug pathways)





ARTICLE

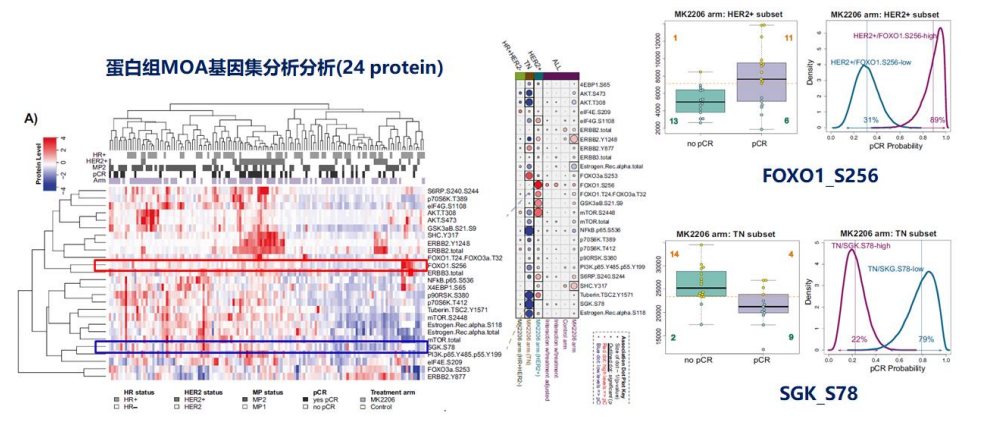
www.nature.com/npjbcancer

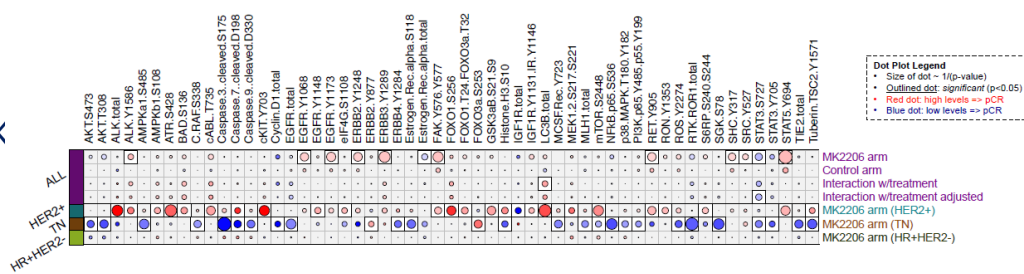
IF:6.923

Check for updates

Mechanism of action biomarkers predicting response to AKT inhibition in the I-SPY 2 breast cancer trial

Denise M. Wolf^{1,6,\infty}, Christina Yau^{1,6,\infty}, Julia Wulfkuhle^{2,6}, Lamorna Brown-Swigart¹, Rosa I. Gallagher², Mark Jesus M. Magbanua olinick O'Grady¹, Gillian Hirst olinich, I-SPY 2 TRIAL Investigators*, Smita Asare³, Debu Tripathy olinich, Don Berry⁵, Laura Esserman olinich, A. Jo Chien¹, Emanuel F. Petricoin III² and Laura van 't Veer olinich with the control of the





转录组分析

Population as a whole with gene expression (n=150: 94 in MKZ206, 56 in Ctr)									HER2+ subset (n=34 in MK2206)*		TN subset (n=32 in MK2206)*		HR+HER2- subset (n=28 in MK2206)*	
	Genes	MK2206 arm: OR/unit inc	MK2206 arm: LR p	MK2206 arm: LR p (adjusting for HR and HER2)	Cont arm: OR/unit inc	Cont arm: LR p	Biomarker x treatment int (LR p)	Biomarker x treatment int (adjusted for HR and HER2)	MK2206 arm: OR/unit inc	MK2206 arm: LR p	MK2206 arm: OR/unit inc	MK2206 arm: LR p	MK2206 arm: OR/unit inc	MK2206 arm: LR p
axis	AKT1	0.949	0.803	0.855	0.944	0.887	0.967	0.899	0.986	0.97	0.586	0.175	0.912	0.849
	EGFR	1.23	0.305	1.02	1.01	0.985	0.66	0.664	1.02	0.949	1.21	0.698	0.884	0.806
ng u	EGFR	1.23	0.305	1.09	1.01	0.985	0.66	0.664	1.02	0.949	1.21	0.698	0.884	0.806
ᇹ	ERB82	1.51	0.0464	1.15	1.47	0.329	0.964	0.927	1.32	0.644	1.17	0.836	0.88	0.916
signaling	ERBB3	1.01	0.977	0.854	0.596	0.155	0.226	0.237	1.02	0.963	1.19	0.74	1.27	0.648
š	IGF1R	0.628	0.0678	0.924	0.779	0.522	0.656	0.88	0.259	0.0356	2.03	0.2	0.722	0.52
AKT/MTOR	MTOR	0.905	0.652	1.33	1.69	0.157	0.144	0.213	1.09	0.807	0.747	0.462	0.781	0.659
5	NRG1	1.37	0.153	1.2	0.742	0.444	0.182	0.17	0.765	0.626	1.79	0.0457	0.166	0.0592
5	PIK3CA	1.15	0.481	1.14	1.99	0.18	0.428	0.267	0.857	0.568	2.62	0.0303	1.18	0.782
¥	PTEN	1.06	0.774	1.32	1.03	0.952	0.914	0.84	0.917	0.821	1.43	0.318	1.08	0.89
_	STMN1	1.28	0.226	0.855	1.28	0.552	0.982	0.816	1.78	0.155	1.04	0.922	0.888	0.823
es	ALDH4A1	1.03	0.898	0.962	0.802	0.578	0.619	0.441	1.23	0.588	0.443	0.0937	1.3	0.643
e e	G38P1	0.663	0.0481	0.78	0.979	0.963	0.429	0.725	0.611	0.151	0.999	0.998	0.692	0.479
y 8	MIEF1	1.2	0.381	1.08	0.887	0.753	0.491	0.436	1.14	0.661	0.54	0.185	2.84	0.0892
study genes	PHEX	0.809	0.274	0.7	0.795	0.681	0.974	0.71	0.608	0.122	0.654	0.232	0.894	0.827
	PRODH	1.44	0.067	1.3	1.04	0.921	0.499	0.584	1.39	0.287	0.97	0.949	1.43	0.662
Phase 1b	SELENBP1	0.614	0.0558	0.768	0.629	0.147	0.908	0.534	0.668	0.411	0.771	0.502	0.52	0.409
	STARD3	1.52	0.0427	1.15	1.71	0.174	0.785	0.553	1.37	0.504	0.131	0.15	0.651	0.773
	TCTEX1D2	1.34	0.161	1.47	0.831	0.65	0.304	0.255	1.05	0.907	1.71	0.151	1.68	0.265
u.	TM7SF2	0.971	0.888	0.723	0.444	0.0659	0.117	0.313	0.983	0.965	0.363	0.0642	0.564	0.487

RPPA蛋白组

Population as a whole with RPPA (n=138: 87 in MK2206, 51 in Ctr)								HER2+ subset (n=31 in MK2206)*		TN subset (n=29 in MK2206)*		HR+HER2- subset (n=27 in MK2206)*	
AKT/MTOR signaling axis phospho-proteins	MK2206 arm: OR/unit inc	MK2206 arm: LR P	MK2206 arm: LR p (adjusting for HR and HER2)	Cont arm: OR/uni t inc	Cont arm: LR p	Biomarker x treatment int (LR p)	Biomarker x treatment int (adjusted for HR and HER2)	MK2206 arm: OR/unit inc	MK2206 arm: LR p	MK2206 arm: OR/unit inc	MK2206 arm: LR p	MK2206 arm: OR/unit inc	MK2206 arm: LR p
4EBP1.565	0.824	0.581	0.491	0.96	0.887	0.737	0.758	2.55	0.25	0.441	0.148	0.891	0.885
AKT.\$473	0.747	0.175	0.196	0.963	0.952	0.719	0.737	1.04	0.904	0.147	0.021	0.293	0.19
AKT.T308	0.658	0.0684	0.064	1.3	0.814	0.561	0.524	1.23	0.696	0.125	0.011	0.288	0.193
elF4E.S209	1.2	0.407	0.944	0.863	0.716	0.469	0.843	1.29	0.45	0.669	0.3	3.2	0.14
HF4G.51108	1.18	0.465	0.983	1.34	0.386	0.748	0.517	2.22	0.047	0.406	0.0666	1.04	0.96
ERBB2.total	1.33	0.166	0.35	1.84	0.0996	0.442	0.422	0.606	0.333	0.37	0.733	2.18	0.695
ERBB2.Y1248	1.77	0.00904	0.186	1.54	0.222	0.741	0.652	1.74	0.0783	3.23E-05	0.0773	0.0107	0.512
ER8B2.Y877	1.29	0.292	0.446	1.05	0.892	0.622	0.549	0.626	0.22	2.66	0.0496	1.68	0.369
ERBB3.total	1.4	0.25	0.524	0.949	0.863	0.349	0.671	1.7	0.287	0.596	0.487	1.37	0.589
Estrogen.Rec.alpha.total	0.59	0.0365	0.185	0.865	0.668	0.379	0.706	1.15	0.765	0.34	0.0579	0.599	0.265
FOXO3a.5253	1.38	0.261	0.274	1.16	0.623	0.688	0.491	0.524	0.243	5.21	0.0126	1.24	0.693
FOXO1.5256	1.93	0.163	0.321	0.74	0.379	0.0991	0.14	11.2	0.0072	0.687	0.709	0.616	0.655
FOXO1.T24.FOXO3a.T32	1.35	0.125	0.569	1.47	0.518	0.894	0.933	2.9	0.0258	0.749	0.361	2.26	0.501
GSK3aB.521.59	1.31	0.18	0.17	1.23	0.653	0.908	0.872	2.84	0.00937	0.77	0.524	1.09	0.825
mTOR.52448	1.23	0.346	0.288	1.18	0.634	0.92	0.62	3.84	0.00425	0.39	0.0379	1.82	0.166
mTOR.total	0.683	0.148	0.296	1	0.998	0.357	0.506	1.17	0.76	0.396	0.0612	0.805	0.708
NFkB.p65.SS36	0.552	0.118	0.0604	0.773	0.439	0.537	0.386	1.55	0.533	0.126	0.00327	0.571	0.557
p70S6K.T389	1.16	0.467	0.675	1.06	0.904	0.852	0.743	1.25	0.393	0.249	0.0867	2.33	0.386
p7056K.T412	1.29	0.294	0.644	1.01	0.97	0.528	0.644	1.55	0.23	0.476	0.155	2.25	0.231
990RSK.5380	1.09	0.742	0.907	0.881	0.724	0.63	0.484	1.76	0.281	0.579	0.259	1.23	0.702
PI3K.p85.Y485.p55.Y199	1.24	0.302	0.792	1.48	0.323	0.701	0.704	1.52	0.185	0.319	0.0394	1.26	0.7
56RP.S240.S244	1.42	0.106	0.432	1.01	0.973	0.43	0.357	2.05	0.036	0.267	0.0956	1.18	0.835
SHC.Y317	1.67	0.0172	0.252	1.95	0.152	0.76	0.851	1.41	0.18	0.871	0.898	2.11	0.758
Tuberin.TSC2.Y1571	0.859	0.529	0.403	1	0.995	0.779	0.868	3.19	0.0434	0.14	0.00607	0.77	0.76
5GK.578	0.836	0.508	0.262	1.15	0.63	0.423	0.308	1.01	0.979	0.126	0.00352	1.49	0.534
Estrogen.Rec.alpha.S118	0.795	0.432	0.412	0.963	0.901	0.653	0.723	1.78	0.22	0.184	0.00988	0.803	0.735







RPPA临床试验应用-----全球大药厂研发的核心技术之一



乳腺癌 (USO, Inova:GSK) TKI:EGF/HER2联合治疗

乳腺原位癌DCIS cancer stem/Progenitor cells

乳腺癌 (IV级) 基于基因蛋白组的个体化治疗

ISPY 2 乳腺癌适应性疗法预前生物标志物筛选

乳腺癌TNBC新辅化疗(Novartis)+TKI靶向(phase2)

多发性骨髓瘤(Hem Oncol Assoc, Inova): 靶向抑制剂筛选

神经内分泌瘤(Novartis): TKI靶向抑制剂 (phase2)

结直肠癌肝转移(Novartis): 个体化分层治疗研究

转移性结直肠癌(GSK): EGFR+HER2抑制剂 (phase1b)

转移性结直肠癌: TKI组合抑制剂 (phase1/2)

多种实体瘤(GSK): EGFR+HER2抑制剂 (phase1/2)



















非因生物多组学研究策略——RPPA解决方案



耐药机理,用药组合,信号水平

EGFR, ErbB, FoxO, mTOR, JAK-STAT, MAPK,NF-kappa B, AMPK, p53, TGF-beta, Ras, Insulin, cGMP-PKG, Hippo, cGAS-STING

基于药物靶点及通路水平的深入研究

RPPA

• 10-100' s protein/modified proteins 某些机制主要相关通路及靶点深 度研究



肿瘤侵袭转移 细胞凋亡 肿瘤代谢

肿瘤免疫炎症

机理相关通路深度研究

细胞周期

DNA损伤修复

Protein ID's 候选通路/靶点验证



RPPA

VS

机理探索/标志物发现

LC/LC-MS/MS

2-D Gels

MALDI-TOF

...Proteomics

Tissue Arrays

Protein microarrays

样本: 10-100' s 1000' s 1000' s





OUTLINE目录

非因生物 专注癌症精准医疗 / 全球领先的蛋白组学·空间多组学技术平台

01| 非因生物简介

03| 空间多组学技术

05| 样本准备要素

02 RPPA蛋白组学技术

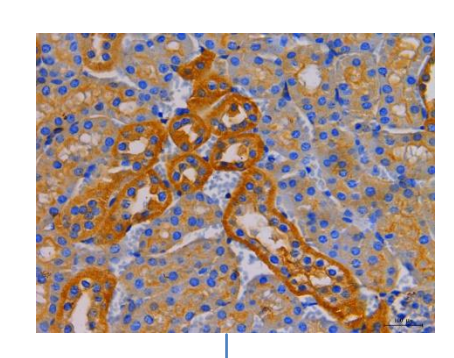
04| 非因策略

※ 内部资料请勿转发 最终解释权归非因生物所有

为何空间生物学的革命正在发生

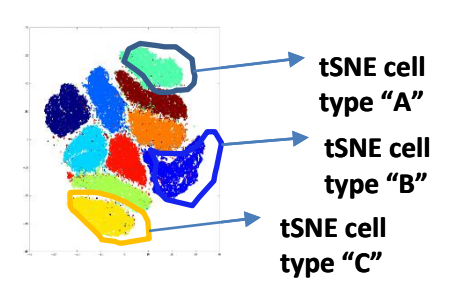


还原细胞亚型的空间分布的重要性



2006年至今

TCGA和bulk 组织NGS分析



单细胞测序, 细胞分群

2012年至今

组学结果无法 还原空间信息



组织形态及功能

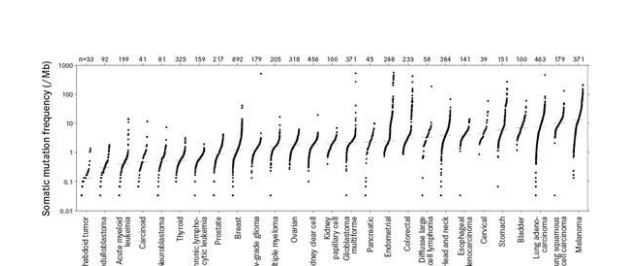
100-200年前



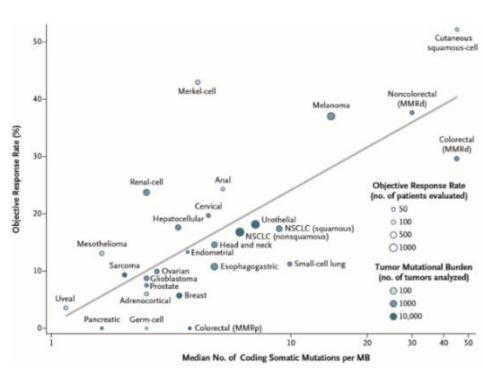
为何我们需要深入研究空间组学-----临床诊疗角度



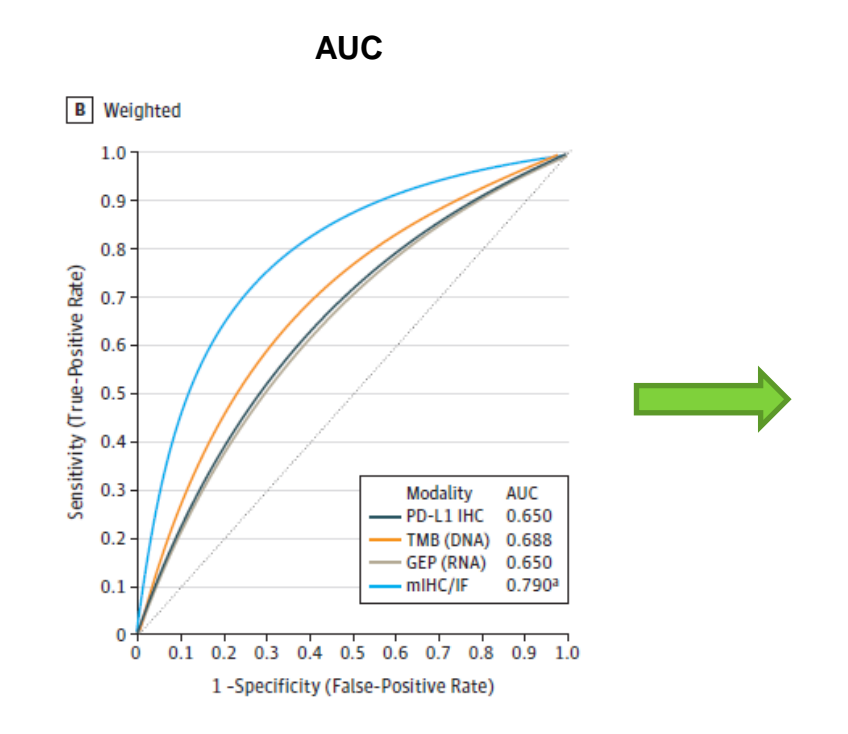
TMB 与Anti-PD1/PD-L1 疗法的预后相关性 (ORR) (27 癌种)



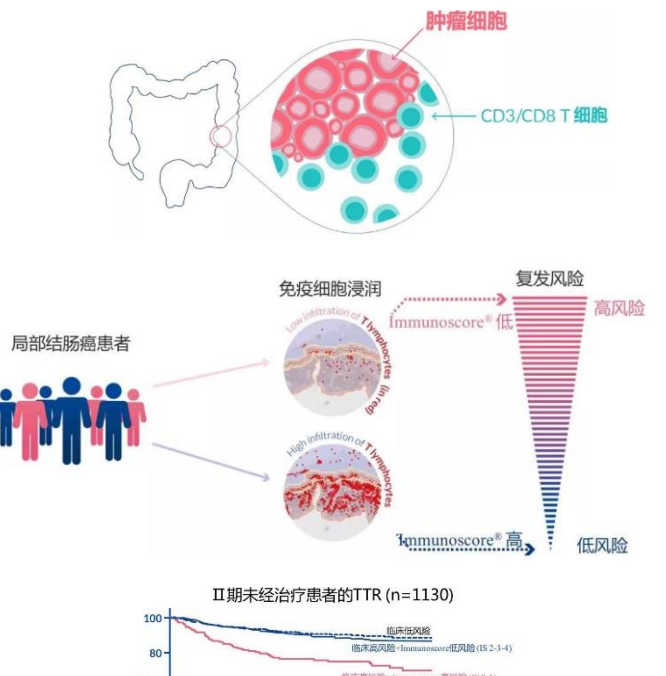


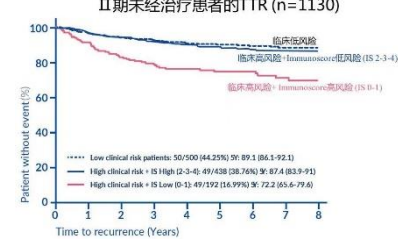


结合空间信息的多重原位荧光有着更好 的治疗预前效果



CRC预后复发风险评估: CD3/CD8浸润T细胞





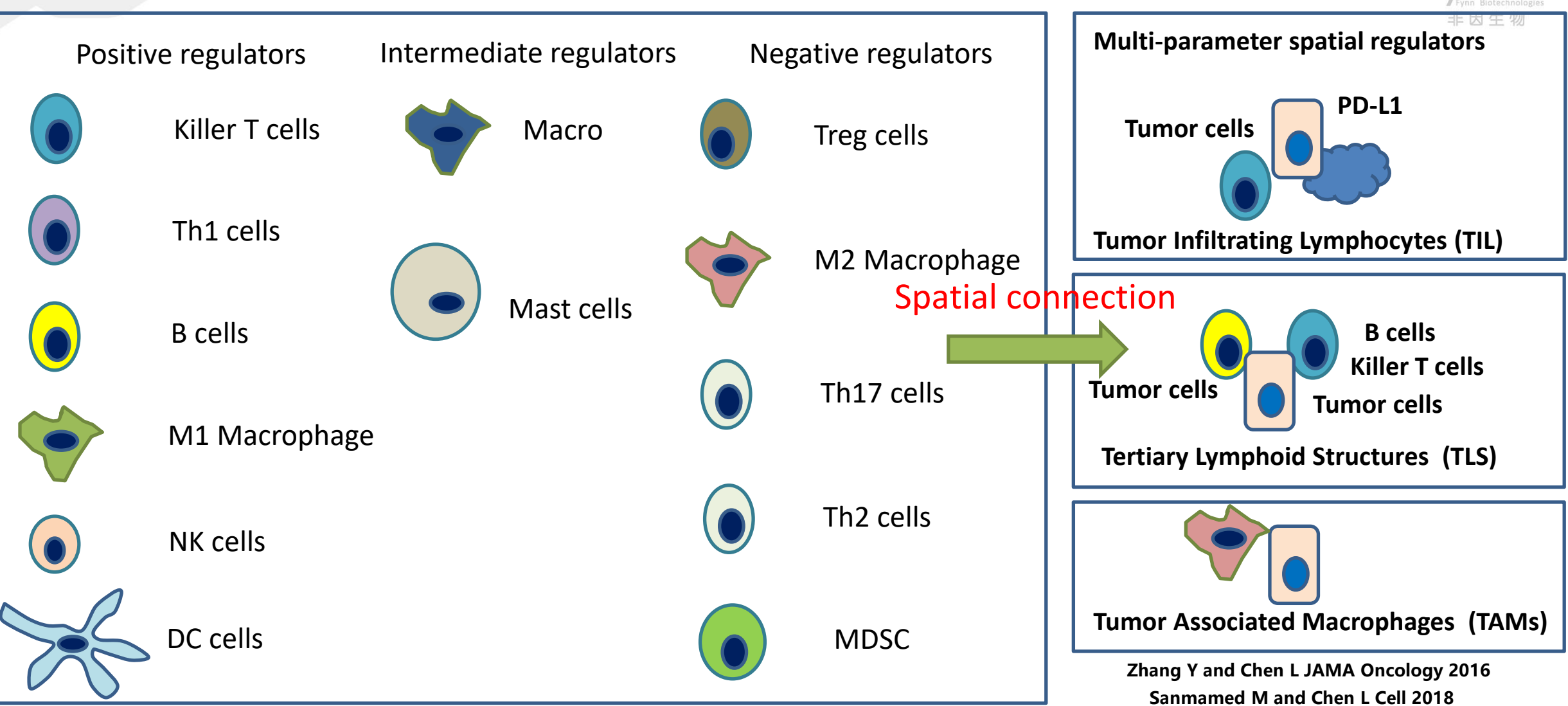
Broad Institute of MIT and Harvard Lu Steven, Stein Julie et al, JAMA oncology 2019 Yarchoan M Hopkins A and Jaffee E NHJM 2017



为何我们需要深入研究空间组学-----微环境角度



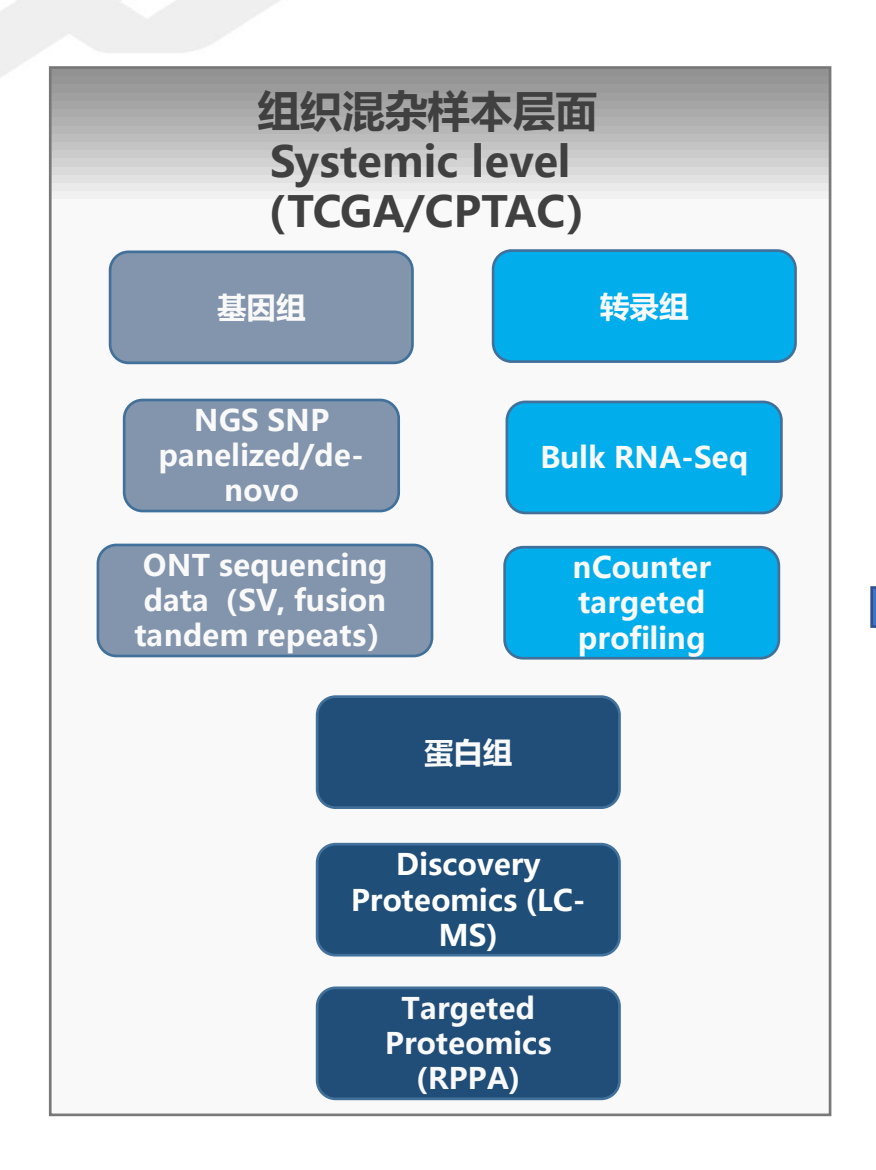
Daniela Buini Gelen Angell Jerome Galon Nat revews cancer 2020

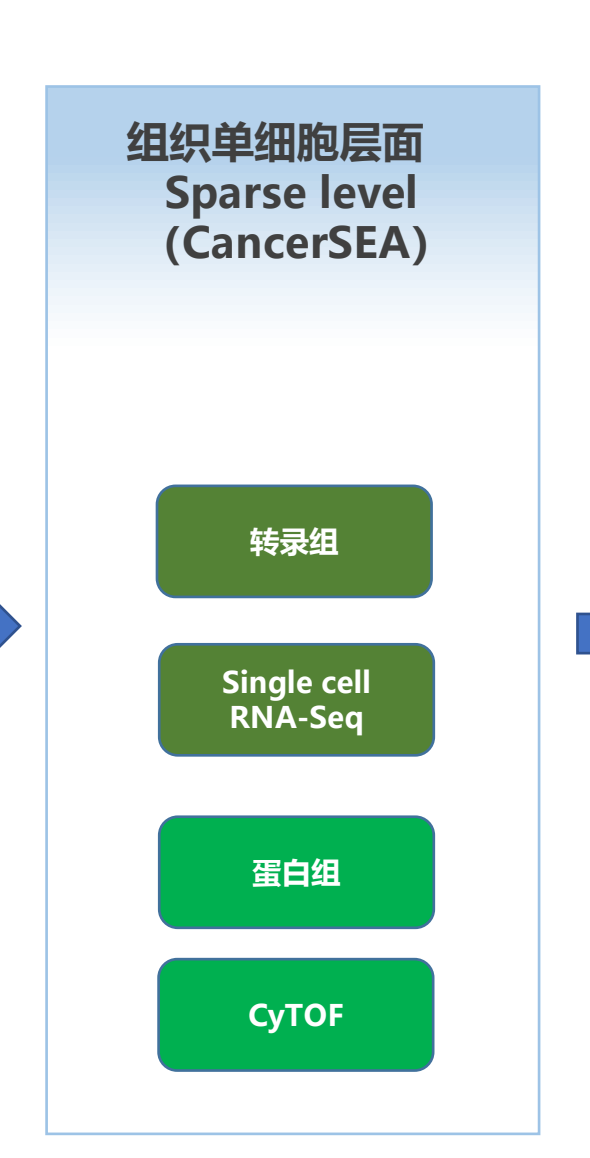


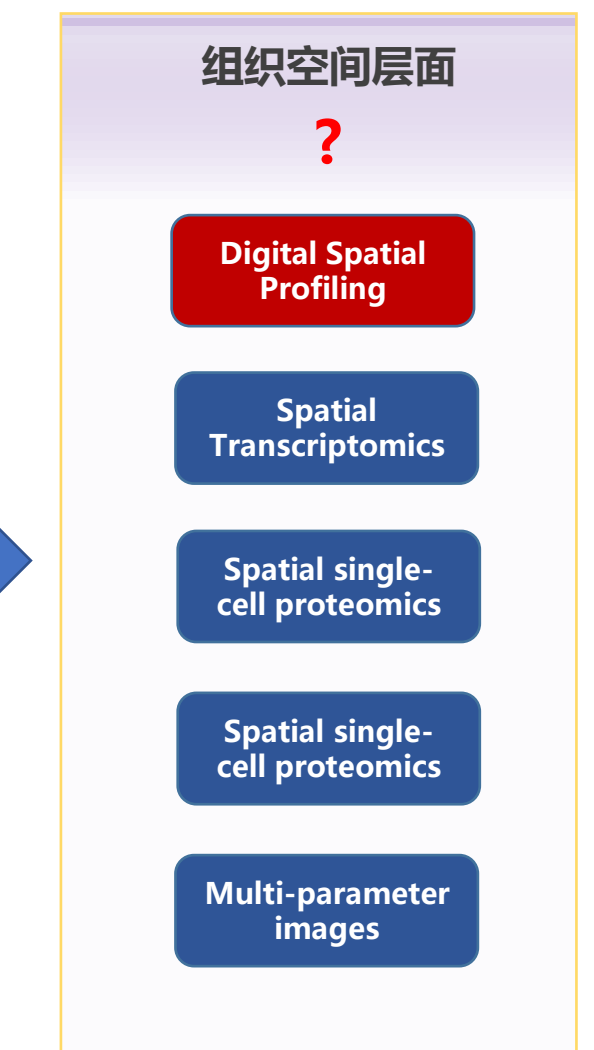


临床多组学研究发展方向









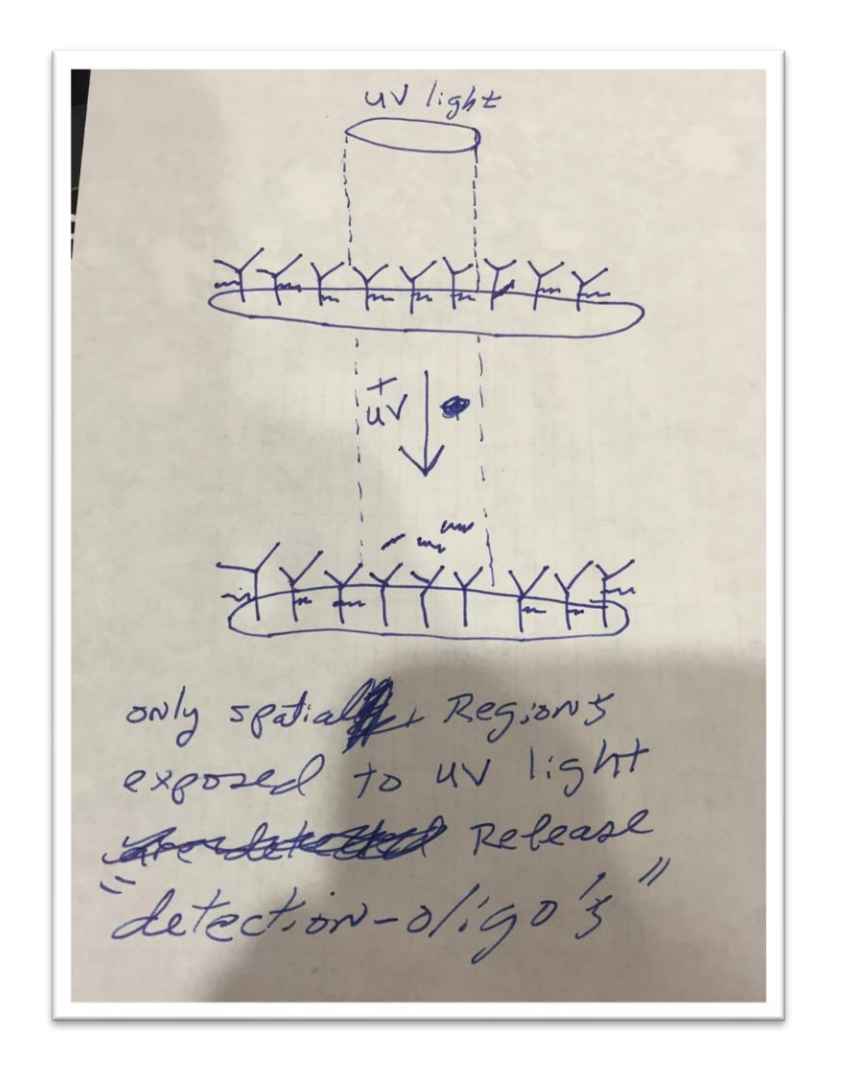
Clinical
Phenotypes
Inference:
Survival,
Therapeutic
groups,
Disease
status,

■ DSP 技术的发明人









高维度分析与空间表达信息的解决方案









Dr. Joseph Beechem

Digital Spatial Profiler (DSP) 是一个全新的技术平台, Dr. Gordon Mills是该项技术的共同发明人之一。它将传统的免疫荧光技术与数字可视化编码技术相结合, 因此不仅能获得清晰的空间信息, 而且可以做到多重蛋白/RNA靶标的检测。目前在单个样本中的检测上限能够达到90种蛋白/18000种RNA, 很好的将空间信息及其他多组学数据结合起来, 极大的帮助科研工作者来解读肿瘤异质性及其复杂的微环境。

2015-2019



Proteomics Platform for Assessing Protein Lysates Using DNA-Barcoded Antibodies* is Joho Lest, Gey K. Gelest, Gablen Denitland, Christopher P. Vellanct, Grand Commission (Confession Confession Co



Multiplex digital spatial profiling of proteins and RNA in fixed tissue

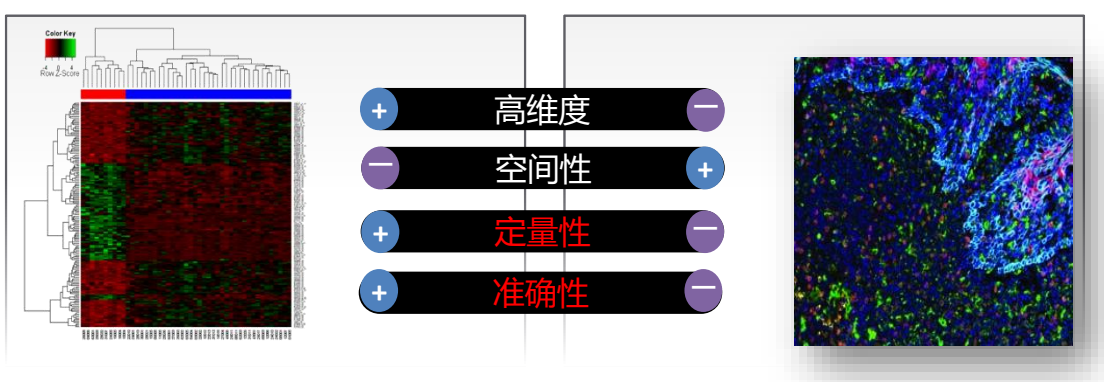
Christopher R. Merritt¹G, Giang T. Ong', Sarah E. Church¹C, Kristi Barker¹, Patrick Danaher¹, Gary Geiss¹, Margaret Hoang¹, Jaemyeong Jung¹, Yan Liang¹, Jill McKay-Fleisch¹, Karen Nguyen¹, Zach Norgaard¹, Kristina Sorg¹, Isaac Sprague¹, Charles Warren¹, Sarah Warren¹, Philippa J. Webster¹, Zoey Zhou¹, Daniel R. Zollinger¹, Dwayne L. Dunaway¹, Gordon B. Millis¹⁰ and Joseph M. Beechem¹¹



解决现有技术存在问题,可进行RNA蛋白共分析

相对荧光强度定义 的表达量,各个荧 光基团的激发强弱 差异 定量存在偏倚 荧光信号交叠 Plexing能力限制在 30-40重(实操) 自荧光





GEP:
Multi-plex PCR (bulk),
RNAseq (bulk),
Single-cell RNAseq,
PEP:
Flow Cytometry,
Mass cytometry,
RPPA

IHC, Immunofluorescence, FISH



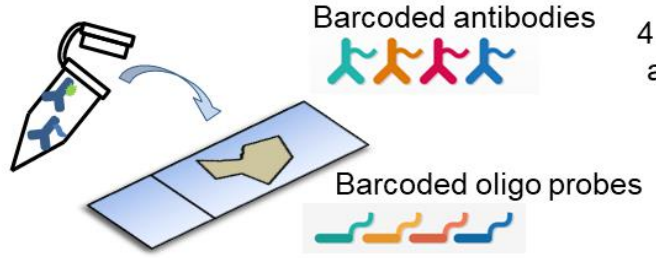


空间生物学技术发展------DSP数字空间分析技术



Proteogenomics基因蛋白组

1. Incubation with antibody mix, including morphology and target antibodies

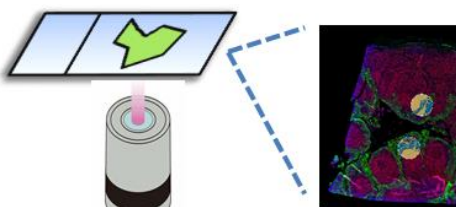


4. Oligo release by UV light and collection via microcapillary





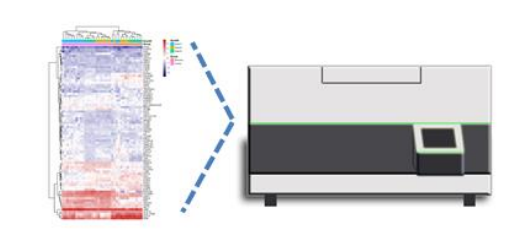
Scan and imaging
 3. ROI selection







5a. nCounter digital counting and data analysis



nCounter readout for protrein and RNA With upper limit of 96-plex

5b. NGS library Construction, sequencing & data analysis



NGS readout without detection limit, currently support 100-plex protein and 18000-plex RNA (WTA)

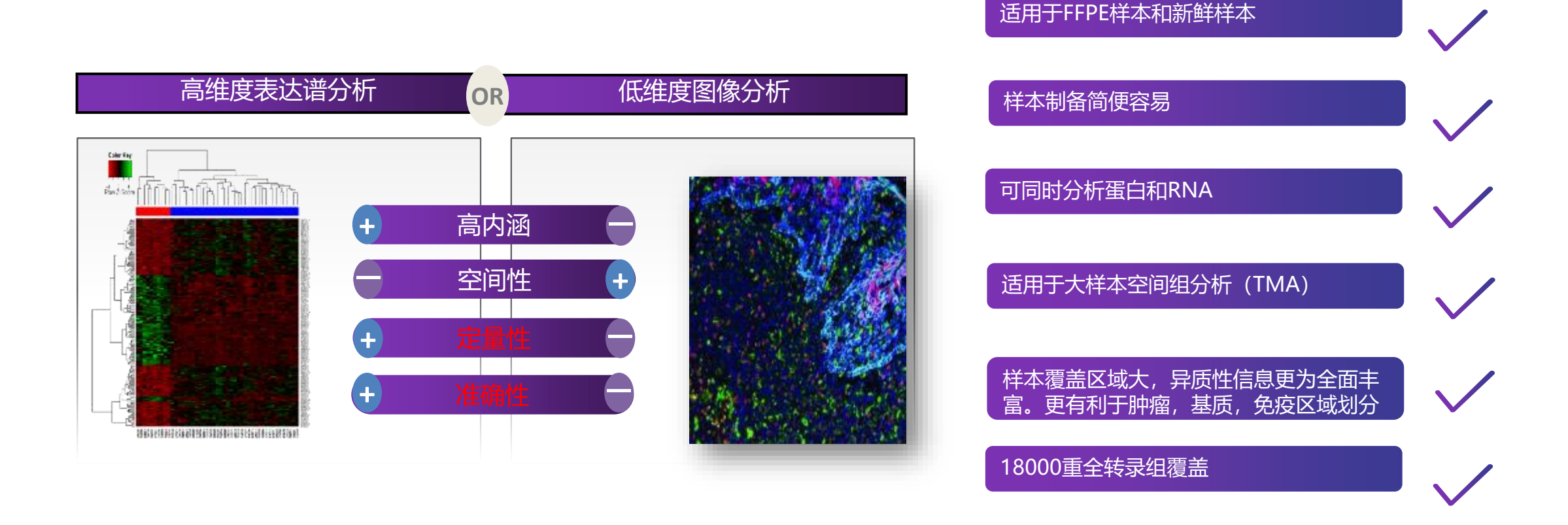
Nan W, Rongshui W et. al. VCM 2021





DSP数字空间多组学技术优势



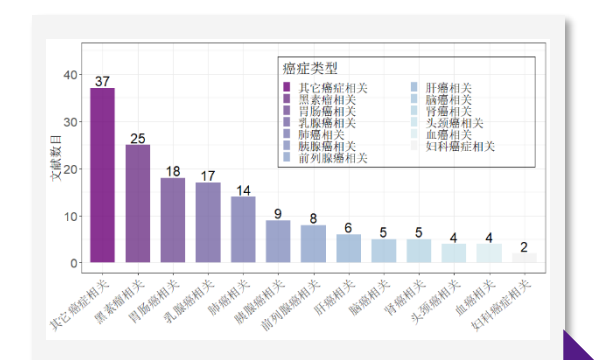






▮非因生物案例解析——文章发表情况

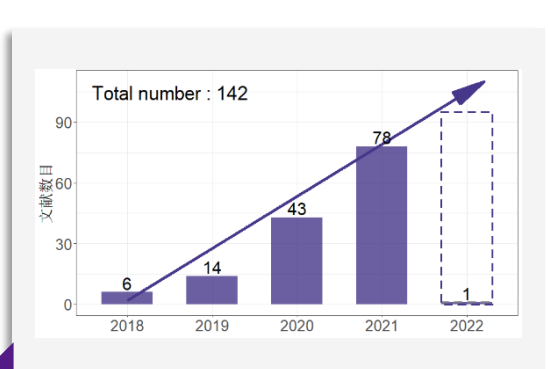




DSP文献中各类癌症类型 的文献数目

不同影响因子范围内 DSP 文献发表数目 Total number: 142 75 Total number: 142 74 25 17 29 29 29 29





2018-2021 历年DSP 相关文章发表数目

2018-2021 历年DSP 文献平均影响因子







非因生物多组学研究策略——DSP在研究中的切入点



运用DSP作为探索性工具



High multiplex analysis of the immune microenvironment in bone marrow

trephine samples using GeoMX™ digital spatial profiling

R. M. Koldej 22 & D. S. Ritchie 1,2





Biomarkers Associated with Beneficial PD-1 Checkpoint Blockade in Non-Small Cell Lung Cancer (NSCLC) Identified Using High-Plex Digital Spatial Profiling

Jon Zugazagotta, Swat Gupta, Yuting Liu, Kill Fuhrman, Scott Gettinger, Roy S. Herbst, Kurf A. Schatper, and David L. Rimm DOI: 10.1158/1078-0432.CCR-20-0175 Published August 2020

运用DSP与高通量多组学数据进行整合



Department of Hematology and Medical Oncology, Winship Cancer Institute, Emory University, Atlanta, Georgia, USA

Check for updates

Inter- and intra-tumor heterogeneity of metastatic prostate cancer determined by digital spatial gene expression profiling

Lauren Brady 15, Michelle Kriner^{2,5}, Ilsa Coleman¹, Colm Morrissey³, Martine Roudier³, Lawrence D. True³, Roman Gulati 10 1, Stephen R. Plymate 3,4, Zoey Zhou 2, Brian Birditt 2, Rhonda Meredith 2, Gary Geiss 2, Margaret Hoang², Joseph Beechem² & Peter S. Nelson on 1,3 ≥

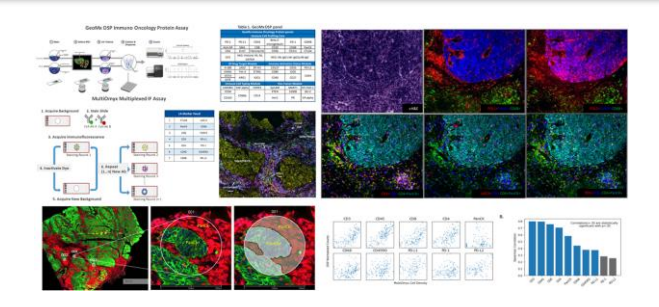
Article

Courage for High dose-rate brachytherapy of localized prostate cancer converts tumors from cold to hot

> Simon P Keam O, 1.2.3 Heloise Halse, Thu Nguyen, Minyu Wang Nicolas Van Kooten Losio, 1 Catherine Mitchell, 4 Franco Caramia, 3 David J Byrne, 4 Sue Haupt, 2,3 Georgina Ryland, 4 Phillip K Darcy, 1,2 Shahneen Sandhu, 5 Piers Blombery,^{2,4} Ygal Haupt,^{2,3} Scott G Williams,⁶ Paul J Neeson ⁰ 1,2

DSP与单细胞空间组联合分析

IOTECH



运用DSP与单细胞测序交叉验证

ARTICLES

Article

medicine

Opposing immune and genetic mechanisms shape oncogenic programs in synovial sarcoma

Livnat Jerby-Arnon 01,2,3,4,25, Cyril Neftel 3,4,5,6,25, Marni E. Shore 3,4,5, Hannah R. Weisman 3,4,5, Nathan D. Mathewson 678,9, Matthew J. McBride10, Brian Haas3,4, Benjamin Izar 63,11,12 Angela Volorio^{3,5}, Gaylor Boulay^{3,5}, Luisa Cironi⁶, Alyssa R. Richman^{3,4,5}, Liliane C. Broye⁶,

Onco-fetal Reprogramming of Endothelial Cells **Drives Immunosuppressive Macrophages in Hepatocellular Carcinoma**

Graphical Abstract Authors Ankur Sharma, Justine Jia Wen Seow Cell

Spatially organized multicellular immune hubs in human colorectal cancer

Karin Pelka, Matan Hofree, scRNA-seq and spatial profiling of CRC patients Jonathan H. Chen, ...,

Tertiary lymphoid structures improve immunotherapy and survival in melanoma

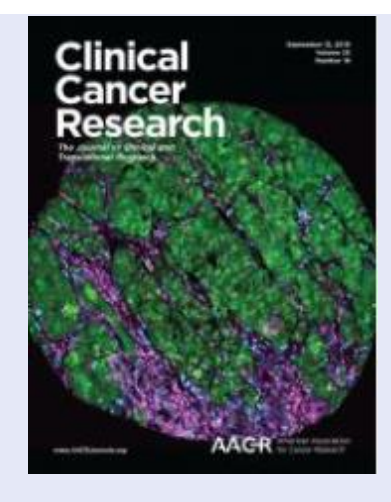
https://doi.org/10.1038/s41586-019-1914-8 Received: 5 February 2019 Accepted: 4 December 2019 Published online: 15 January 2020

Rita Cabrita¹³², Martin Lauss¹³², Adriana Sanna¹, Marco Donia², Mathilde Skaarup Larsen kata Japrina ", marrina Jusis", Autrant Sanira, Anarco Jonia, ", marrino Sanira, 'marrino Sanira, 'marrino Sanira, 'marrino Sanira, 'marrino Sanira, 'marrino Sanira, 'marrino Sanira, 'marrino, 'Allison van Scholack', 'kristina Lövgen', Sanir Warren', 'Karin Jistro'm', 'Hakkin Olsson', Kristian Pietra, 'Kristian Filetra, 'Kravilla Kalsson', 'brik Schadender,' Henrik Schmidt, 'Karolin Kalsson', 'brik Schadender,' Henrik Schmidt, 'Lars Basthott', 'Ana Camelro'¹⁹, Jennifer A. Wargo'', Inge Marie Svano' & Göran Jönsson'*



非因生物 DSP 案例分析——应用场景







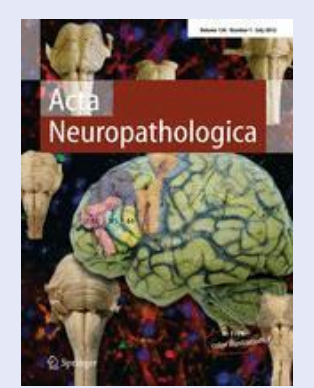


D1 免疫治疗分子标志物探索 (TMA)

02 临床亚型微环境表达谱分析 (DSP+nCounter)

03 基于微环境的机制探索 (DSP+scRNA-seq





04 DSP空间全转录组技术用于绘制发育中的人类新皮质的细胞结构

05 DSP空间蛋白组解析AD病变进程中机制 (DSP+nCounter)





DSP 案例分析1——黑素瘤免疫治疗生物标志物微环境探索





Search... Q Advanced Search

IF:12.534

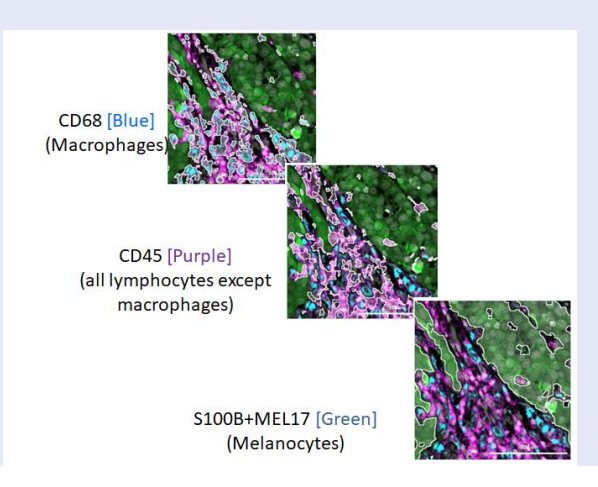
Precision Medicine and Imaging

High-Plex Predictive Marker Discovery for Melanoma Immunotherapy—Treated Patients Using Digital Spatial Profiling

Maria I. Toki, Christopher R. Merritt, Pok Fai Wong, James W. Smithy, Harriet M. Kluger, Konstantinos N. Syrigos, Glang T. Ong, Sarah E. Warren, Joseph M. Beechem, and David L. Rimm



杂志封面展示了黑色素瘤在DSP 系统的镜下染色情况:黑色素瘤 (绿色),CD68+(蓝色), CD45+(紫色)



44 蛋白靶标 60 免疫检查点抑制剂病人TMA样本

> 空间信息对新型标志物 的发现非常重要

不同靶点在不同空间位置的表达情况不同 不同位置的表达情况相同但与预后的关系不同

DSP实验

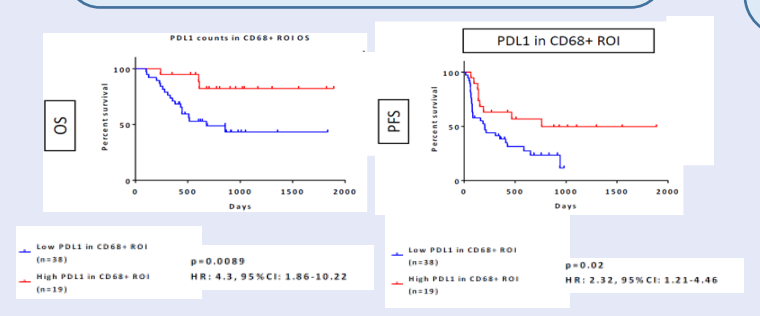
确定区域划分 (Segment) 策略

黑色素瘤 (S100B+MEL17, 绿色)

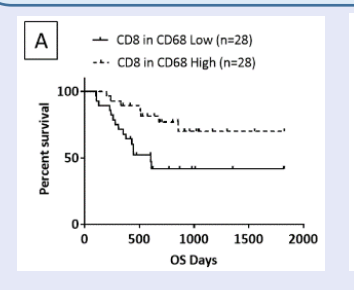
巨噬细胞 (CD68+, 蓝色)

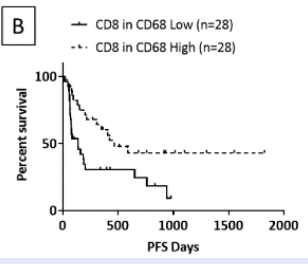
淋巴细胞 (CD45+, 紫色)

- PDL1 在CD68富集区表现出与OS强相关, (而不在淋巴细胞与肿瘤细胞中)
- B2M 在CD45富集区域与PFS和OS均相
 - ; /±====
- 结果独立于预前治疗方案



- CD8在CD68+ 和CD45+ 区域中的表达.
- CD8 在CD68+ (Macrophages) 区域高表达和 OS and PFS相关
- CD8 在CD45+ (Lymphocytes) 区域高表达与 OS and PFS无显著相关







DSP 案例分析2——DSP技术结合nCounter探索前列腺癌骨转移瘤标志



Ihle et al. Journal for ImmunoTherapy of Cancer https://doi.org/10.1186/s40425-019-0753-3

(2019) 7:29:

Journal for ImmunoTherapy of Cancer

SHORT REPORT

Open Access

Distinct tumor microenvironments of lytic and blastic bone metastases in prostate cancer patients

IF:13.751

Claire L. Ihle^{1,2}, Meredith D. Provera², Desiree M. Straign², E. Erin Smith², Susan M. Edgerton², Adrie Van Bokhoven² M. Scott Lucia² and Phillip Owens^{2,3} 6

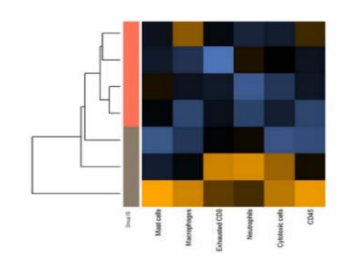
IHC观察溶解性 (lytic) 和成细胞性 (blastic) 转移前列腺癌组织的差异,发现两种组织在骨中分布较为分散且免疫细胞也呈零散分布的状态,T细胞的功效有待验证。

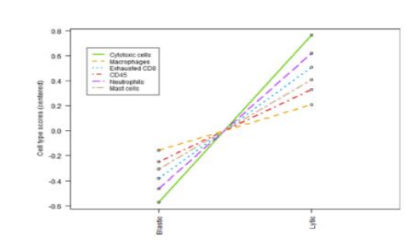
16例患者FFPE样本 6例溶解型/10例成细胞型 nCounter IO 360 Panel (770 基因)

6例患者FFPE样本 3例溶解型/3例成细胞型 DSP,33蛋白靶点 发掘两类型组织内的差异表达基因,并通过GSEA基因富集分析找到两种前列腺癌相关的信号转导通路。

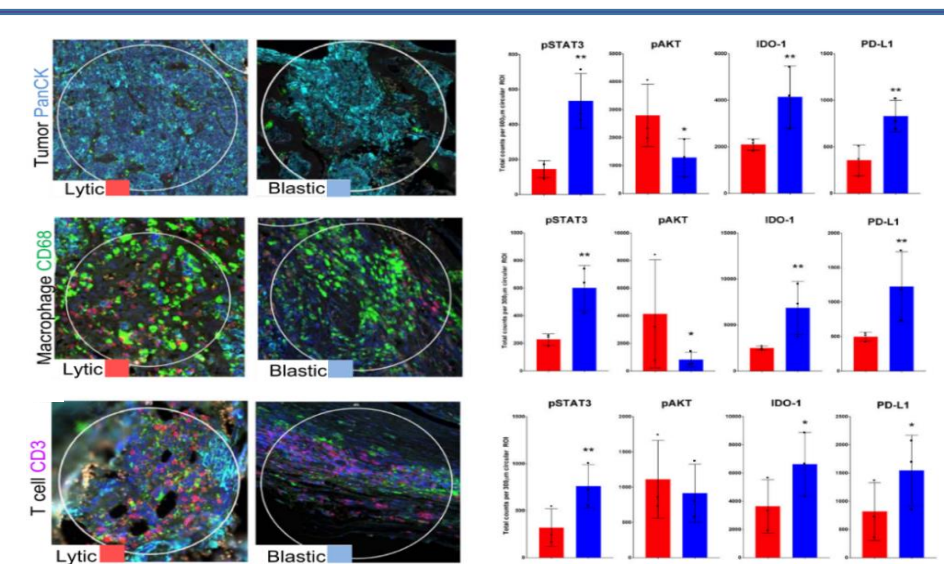
利用DSP技术分析两种 前列腺癌组织的异质性, 并开发新的免疫检查点。 通过转录组结果富集不同 类型组织的活跃信号转导 通路,结合蛋白组结果进 一步确定显著差异表达靶 点在不同微环境中的表达 情况,为靶向治疗的开发 提供更准确的信息。

nCounter表达谱GSEA分析溶解性转移样本和成细胞性转移样本的差异表达基因,并通过GSA分析发现溶解性转移样本富集了PI3K-AKT信号通路、成细胞性转移样本富集了JAK-STAT信号通路。





通过分析两种组织中富集的细胞类型。 在溶解性转移样本中发现免疫细胞的增加与骨细胞的减少相关,是由于骨细胞被肿瘤和基质细胞浸润及破坏。



通过DSP深入探究表型间微环境差异,成细胞性样本内pSTAT3活性的增加和PD-L1在两种类型样本的高表达,结合其空间信息,为开发靶向治疗方案提供可能性。

临床亚型肿瘤微环境表达谱分析 (DSP+nCounter)





DSP 案例分析3——探究免疫逃逸和遗传机制塑造滑膜肉瘤的致癌程序



IF: 53.442

medicine

ARTICLES

https://doi.org/10.1038/s41591-020-01212-6

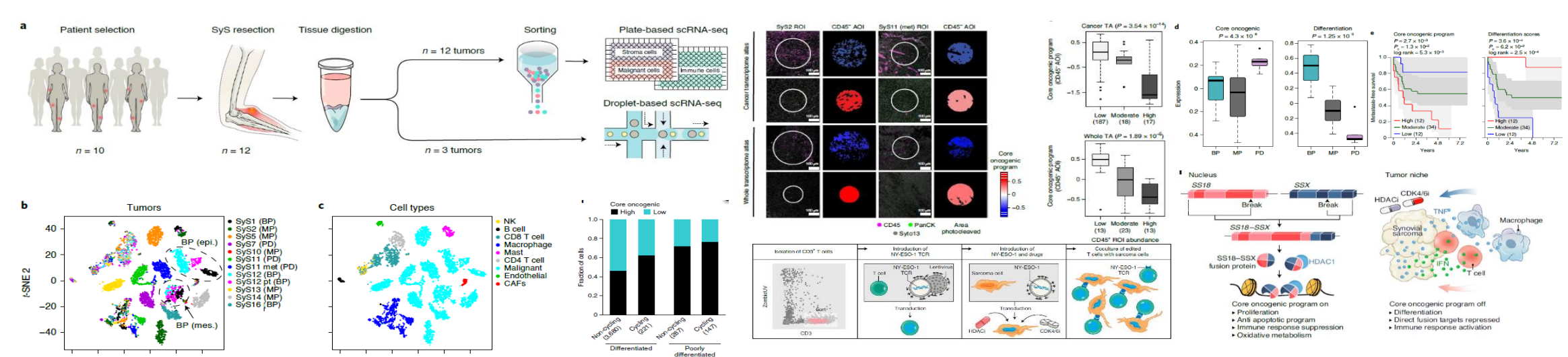
Check for updates

Opposing immune and genetic mechanisms shape oncogenic programs in synovial sarcoma

12 个人类 SyS 肿瘤(4 BP双相型滑膜肉瘤、3 低分化PD和 5单相肿瘤MP)的 16,872 个细胞scRNA-seq (smartseq和10X)

肿瘤细胞富集的核 心驱动基因标记 9个肿瘤患者的空间转录组 学 (CTA, 其中2个WTA) 肿瘤细胞 (PanCK) 和免疫 细胞 (CD45) 标记

SS18-SSX基因融合促使核心 驱动基因标记和免疫逃逸机制 形成 滑膜肉瘤细胞株中 敲除了SS18-SSX 基因 核心驱动基因标记在组织 空间中的分布与免疫细胞 的浸润呈现出反相关的关 系



基于肿瘤微环境的机制探索 (DSP+scRNA-seq)





DSP 案例分析4-----DSP空间全转录组技术用于绘制发育中的人类新皮质的细胞结构



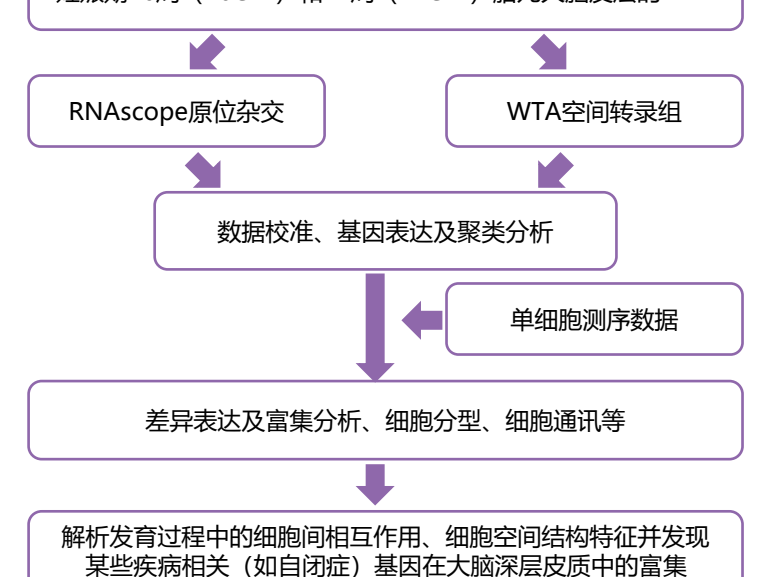
Transcriptome-wide spatial RNA profiling maps the cellular architecture of the developing human neocortex

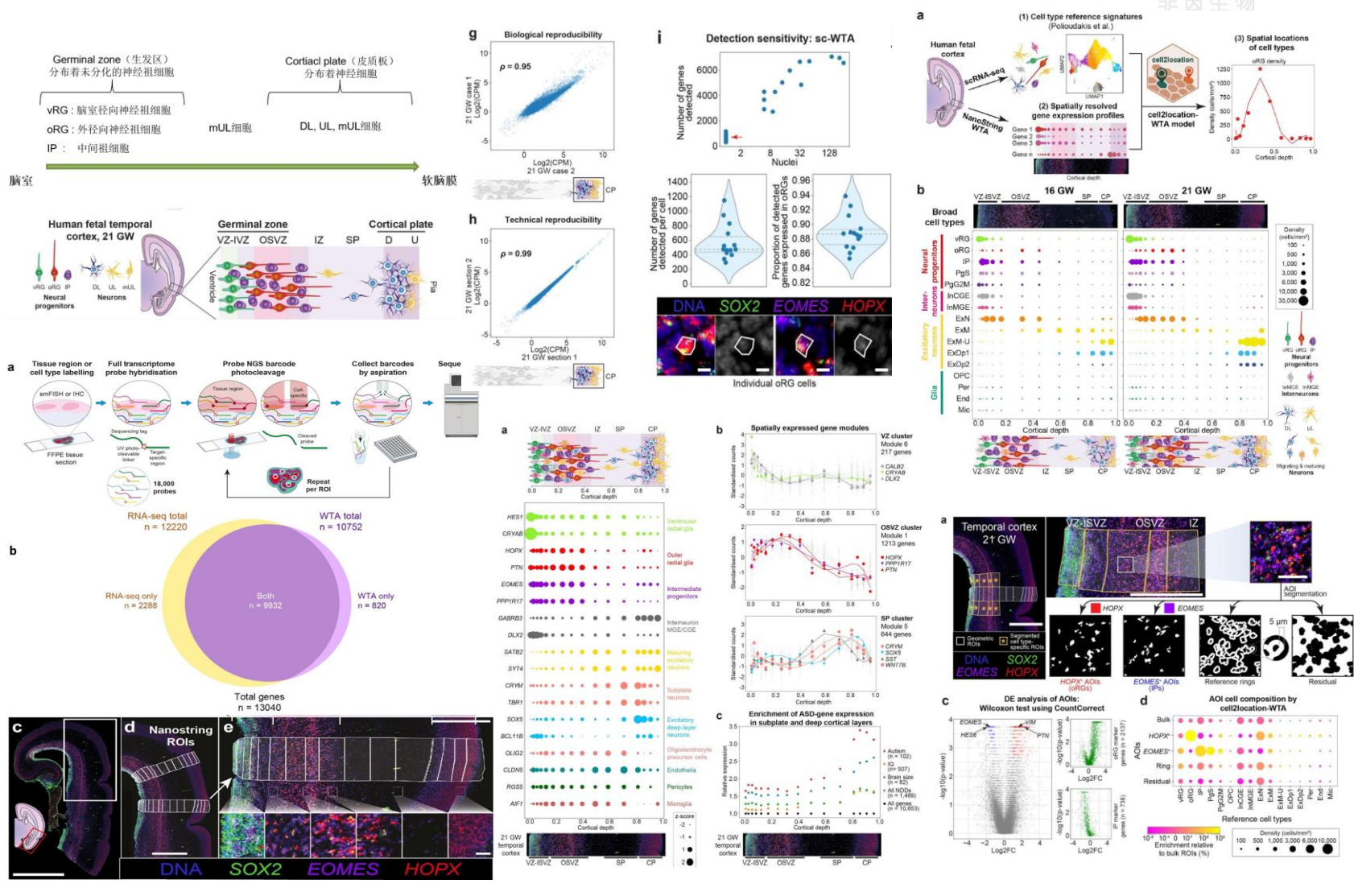
Kenny Roberts^{1†}, Alexander Aivazidis^{1†}, Vitalii Kleshchevnikov¹, Tong Li¹, Robin Fropf², Michael Rhodes², Joseph M. Beechem², Martin Hemberg^{1,3}, Omer Ali Bayraktar^{1*}

¹ Wellcome Sanger Institute, Cambridge, CB10 1SA, UK
² NanoString Technologies Inc., 530 Fairview Avenue North, Seattle, WA 98109, USA
³ Evergrande Center for Immunologic Diseases, Harvard Medical School

背景:人类胎儿大脑新皮质具有显著的空间细胞结构特点也是随后皮质发育和功能形成的基础。在胎儿皮层深处,不同的祖细胞和分化细胞类型构成不同的细胞隔间。多种类型的径向祖细胞和中间祖细胞位于深部生发区。这些神经前体细胞产生兴奋性神经元和神经胶质亚型,向表层皮质板移动,形成成人新皮质的六层结构。尽管胎儿皮层细胞有广泛的组织学和单细胞转录组结果,但是缺乏全面的空间解析。

妊娠期16周 (16GW) 和21周 (21GW) 胎儿大脑皮层的FFPE

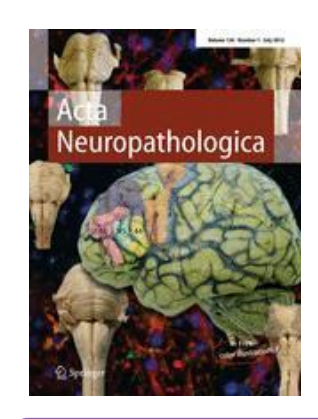






DSP 案例分析5- DSP空间蛋白组解析TREM2剪切异构体病例微环境表型变化



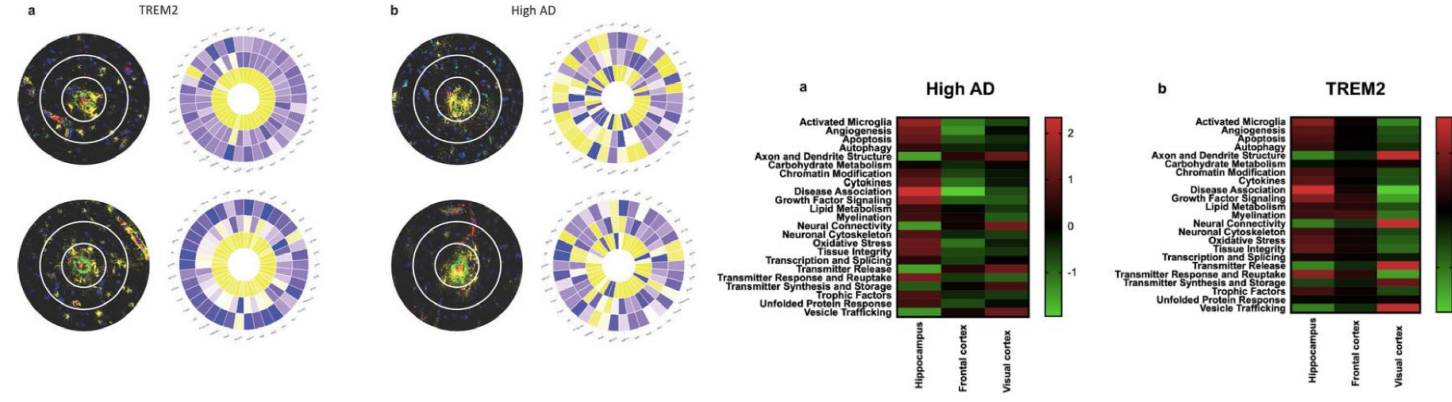


IF: 17.088

背景: 散发性阿兹海默症(sAD)研究中,免疫调控的已经成为重点研究方向,小胶质瘤细胞激活与AD神经病理学变化及beta-淀粉样蛋白及Tau蛋白病理变化密切相关,TRME2剪切异构体下调与淀粉样蛋白微环境变化及病变进程具有相关性,研究以此为背景展开基于DSP空间蛋白组学及ncounter转录组的研究

DSP空间蛋白

nCounter转录组



TREM2/high-AD



40神经相关空间蛋白组



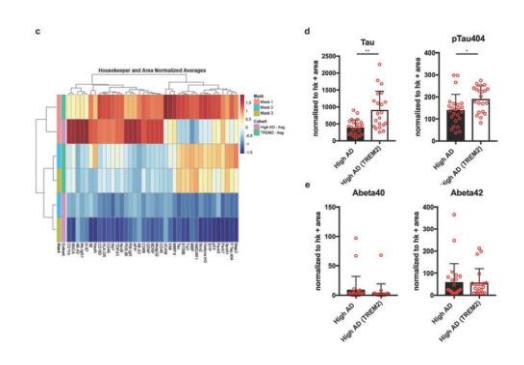
Beta-淀粉样蛋白($\alpha\beta$),小胶质瘤细胞(Iba1),星型细胞(GFAP) 荧光标记



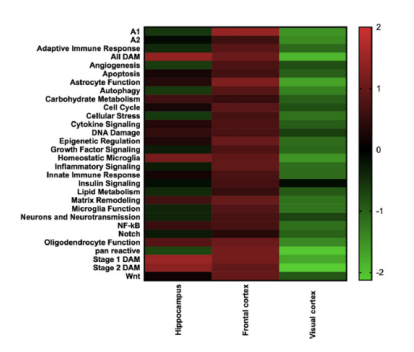
等高线ROIA圈选策略



差异表达分析



DSP空间蛋白组解析区域特异性表蛋白达谱特征(TREM2/High-AD病人) Mask1(淀粉样中心), Mask2(中环), Mask3(外环)。发现Tau及Tau磷酸 化水平在TREM2中总体高表达。



TREM2 vs HighAD

通过nCounter神经病理/神经炎症基因 panel (1540基因) 对配对的海马体区域, 前叶皮质层,视觉皮层进行分析及通路富集 (TREM2/High-AD病人)。





非因生物DSP空间组学研究



Visualized Cancer Medicine 2021, **2**, 1 © The Authors, published by EDP Sciences, 2021 https://doi.org/10.1051/vcm/2020002



TECHNOLOGICAL ADVANCES

OPEN @ ACCESS

Spatially-resolved proteomics and transcriptomics: An emerging digital spatial profiling approach for tumor microenvironment

Nan Wang¹, Rongshui Wang¹, Xue Zhang¹, Xia Li¹, Yan Liang², and Zhiyong Ding^{1,*}

- Mills Institute for Personalized Cancer Care, Fynn Biotechnologies Ltd., Gangxing 3rd Rd, High-Tech and Innovation Zone, Bldg. 2, Rm. 2201, Jinan City, Shandong Province 250101, PR China
- NanoString Technologies, Inc., Seattle, WA, USA

Received 17 September 2020, Accepted 4 December 2020, Published online 3 March 2021

Received: 5 February 2021

DOI: 10.1002/biot.202100041

MINI-REVIEW

Received: 5 February 2021 Revised: 28 May 2021 Accepted: 3 June 2021

Biotechnology

Spatial transcriptomics and proteomics technologies for deconvoluting the tumor microenvironment

Nan Wang | Xia Li | Rongshui Wang | Zhiyong Ding ©

Fynn Biotechnologies Ltd., Mills Institute for Personalized Cancer Care, Jinan City, Shandong Province, P. R. China

Correspondence

Zhiyong Ding, Mills Institute for Personal-

Abstract

The tumor microenvironment (TME) harbors heterogeneous contents and plays critical roles in tumorigenesis, metastasis, and drug resistance. Therefore, the deconvolution of the TME becomes increasingly essential to every aspect of cancer research and





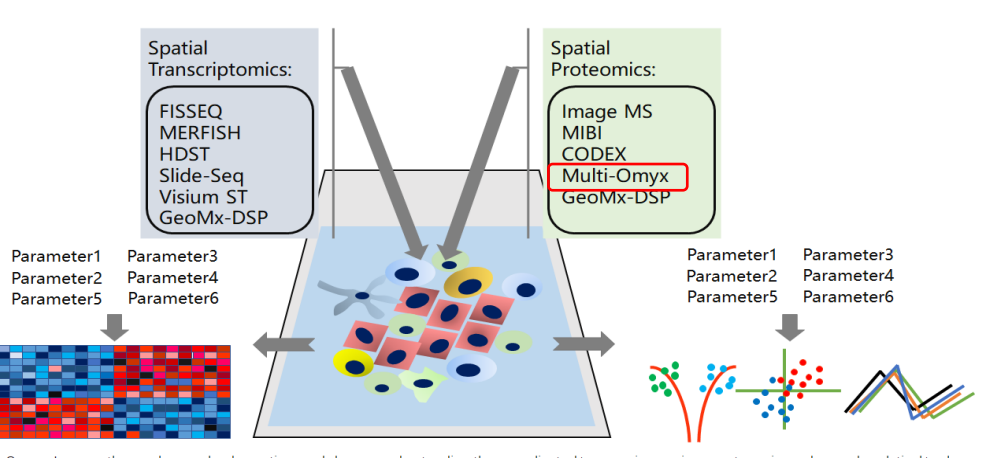
BRIEF RESEARCH REPORT published: 28 October 2021 doi: 10.3389/fbioe.2021.757378



Tumor Microenvironment Profiles Reveal Distinct Therapy-Oriented Proteogenomic Characteristics in Colorectal Cancer

Nan Wang¹, Rongshui Wang¹, Xia Li¹, Zhentao Song¹, Lingbo Xia¹, Jue Wang², Li Zhang³, Aiwen Wu⁴* and Zhiyong Ding¹*

¹Mills Institute for Personalized Cancer Care, Fynn Biotechnologies Ltd., Jinan, China, ²Department of Oncology, Shandong Provincial Hospital Affiliated to Shandong First Medical University, Jinan, China, ³Department of Pathology, Beijing Cancer Hospital, Beijing, China, ⁴Key Laboratory of Carcinogenesis and Translational Research (Ministry of Education), Department of Gastrointestinal Surgery, Peking University, Beijing, China



Cancer Immunotherapy has evolved over time and deeper understanding the complicated tumor microenvironment requires advanced analytical tools to fulfill the goals. In this mini-review we provided a comprehensive summary of many cutting-edge spatial transcriptomic and proteomic technologies developed in recent years. In particular, we elaborated on some technologies available in our laboratory providing real-world testimonials on their application potential and holding forwards-looking comments on spatial biology.





非因生物Mills中心发表国内第一篇DSP研究文章



Stroma

Stroma

Patient 2

DSP揭示不同新辅助治疗对结直肠癌肿瘤免疫微环境的影响

Chemo

针对MSS-CRC病人,深度剖析新辅化疗联合免疫对肿瘤免疫微环境重塑的效果及预后生物标志物挖掘



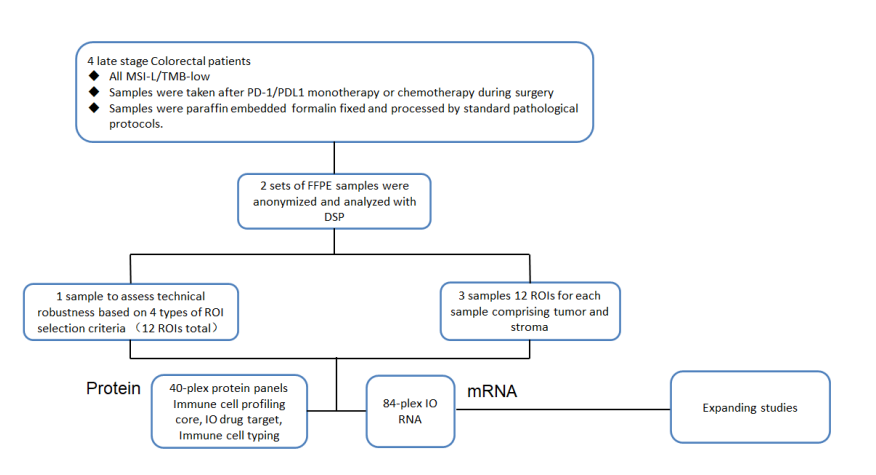
BRIEF RESEARCH REPORT published: 28 October 202 doi: 10.3389/fbioe.2021.757378

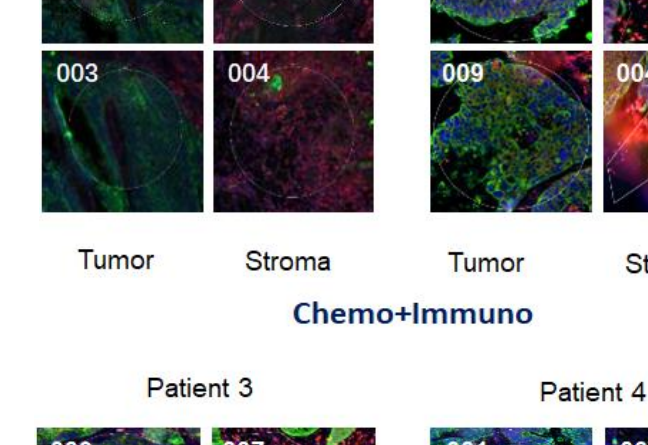


Tumor Microenvironment Profiles Reveal Distinct Therapy-Oriented Proteogenomic Characteristics in Colorectal Cancer

Nan Wang 1 , Rongshui Wang 1 , Xia Li 1 , Zhentao Song 1 , Lingbo Xia 1 , Jue Wang 2 , Li Zhang 3 , Aiwen Wu 4* and Zhiyong Ding 1*

¹Mills Institute for Personalized Cancer Care, Fynn Biotechnologies Ltd., Jinan, China, ²Department of Oncology, Shandong Provincial Hospital Affiliated to Shandong First Medical University, Jinan, China, ⁵Department of Pathology, Beljing Cancer Hospital, Bejing, China, ⁴Key Laboratory of Carcinogenesis and Translational Research (Ministry of Education), Department of Gastrointestinal Surgery, Peking University, Beljing, China





Patient 1

001





Beta-2-microglobulin, CD11c,CD20,CD3,CD4,CD45,CD56,CD68,CD8,CTLA4,GZMB Histone H3,Ki-67,PD1,PD-L1,Pan-Cytokeratin,HLA-DR,SMA,Fibronectin,TGF-B, 4-1BB B7-H4,LAG3,OX40L,Tim-3,VISTA,ARG1,B7-H3,GITR,IDO1,STING, CD45RO,FOXP3 CD34,CD66b,Gamma Delta TCR,CD14,FAPalpha,CD163

Frontiers in Bioengineering and Biotechnology 2021

Stroma

Tumor

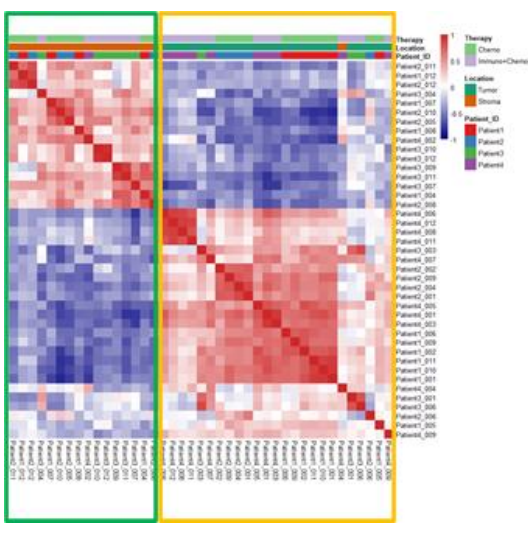


Tumor

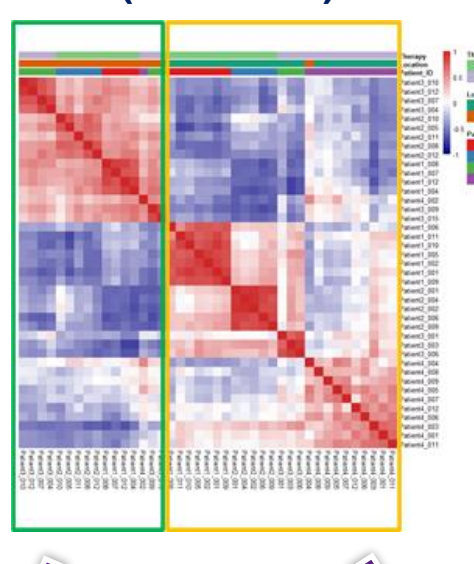
DSP深度研究肿瘤微环境RNA和蛋白的表达揭示组间差异

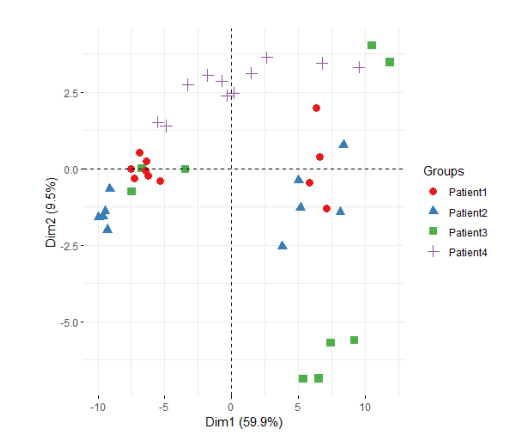


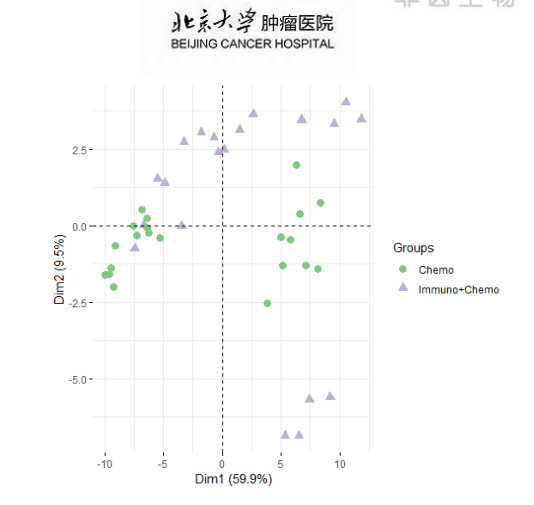


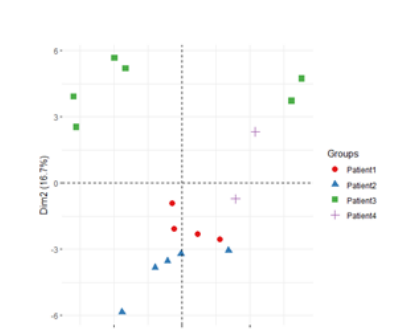


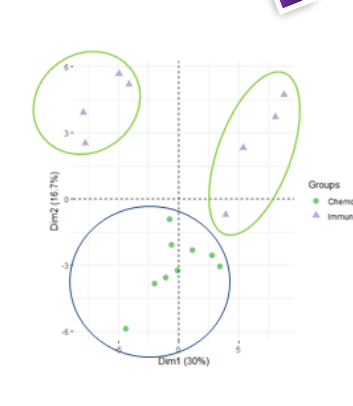
ROI cor-plot (84 mRNA)

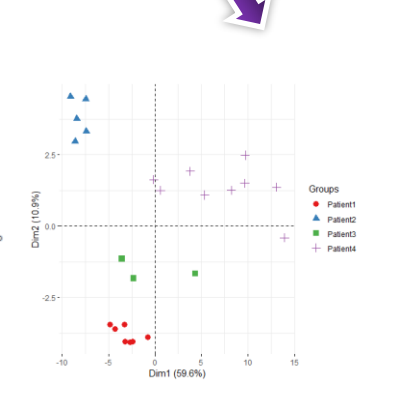


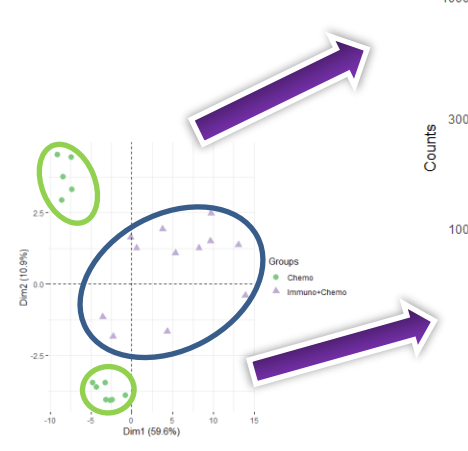


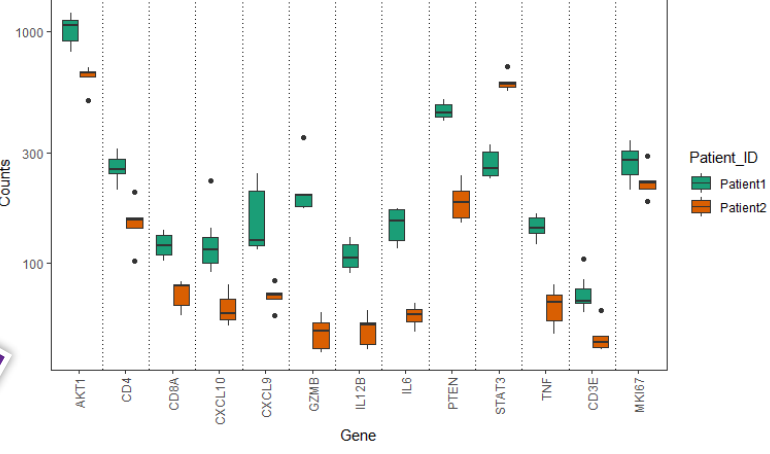




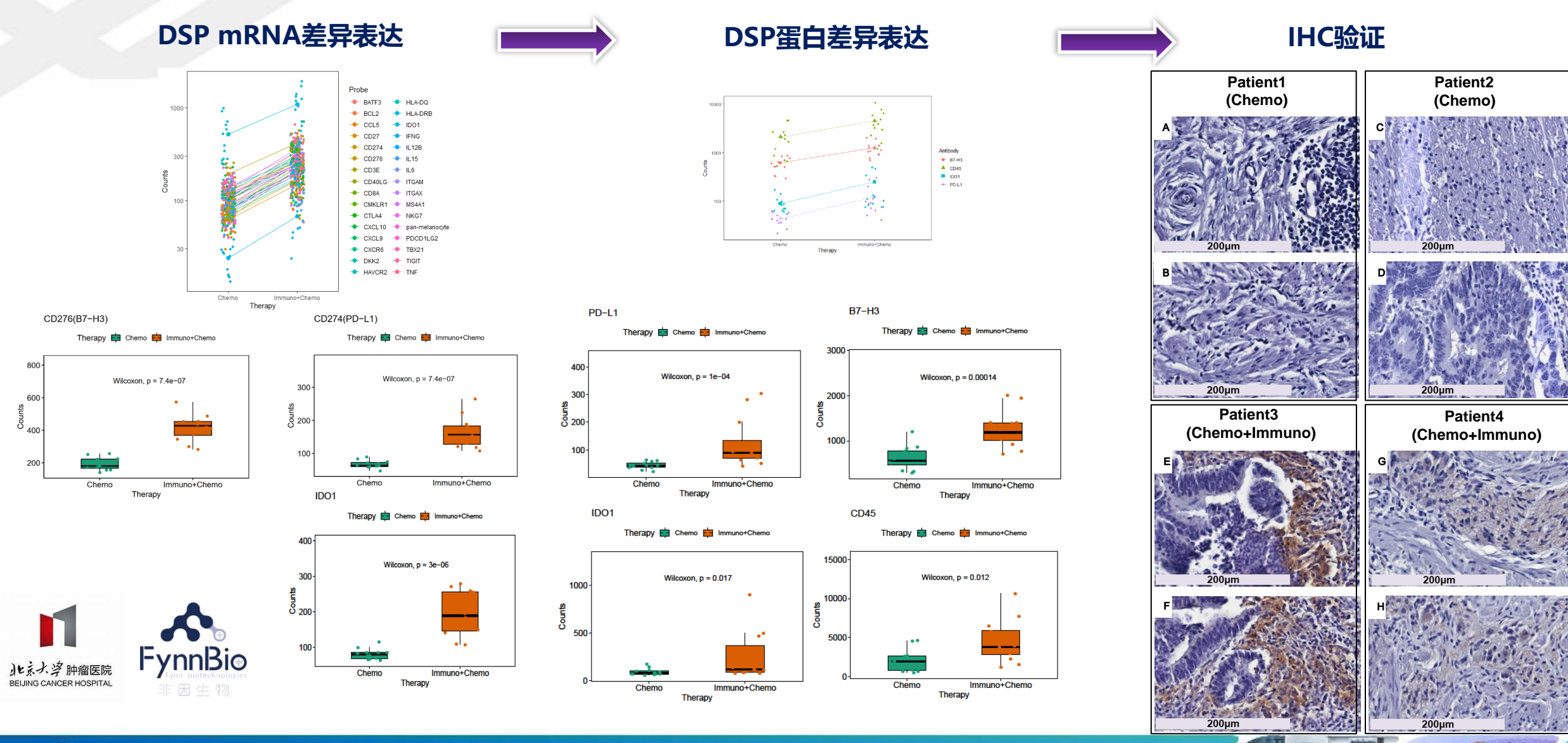








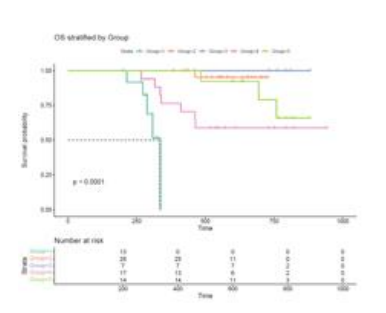
DSP揭示不同疗法预后肿瘤微环境层面RNA和蛋白的差异表达

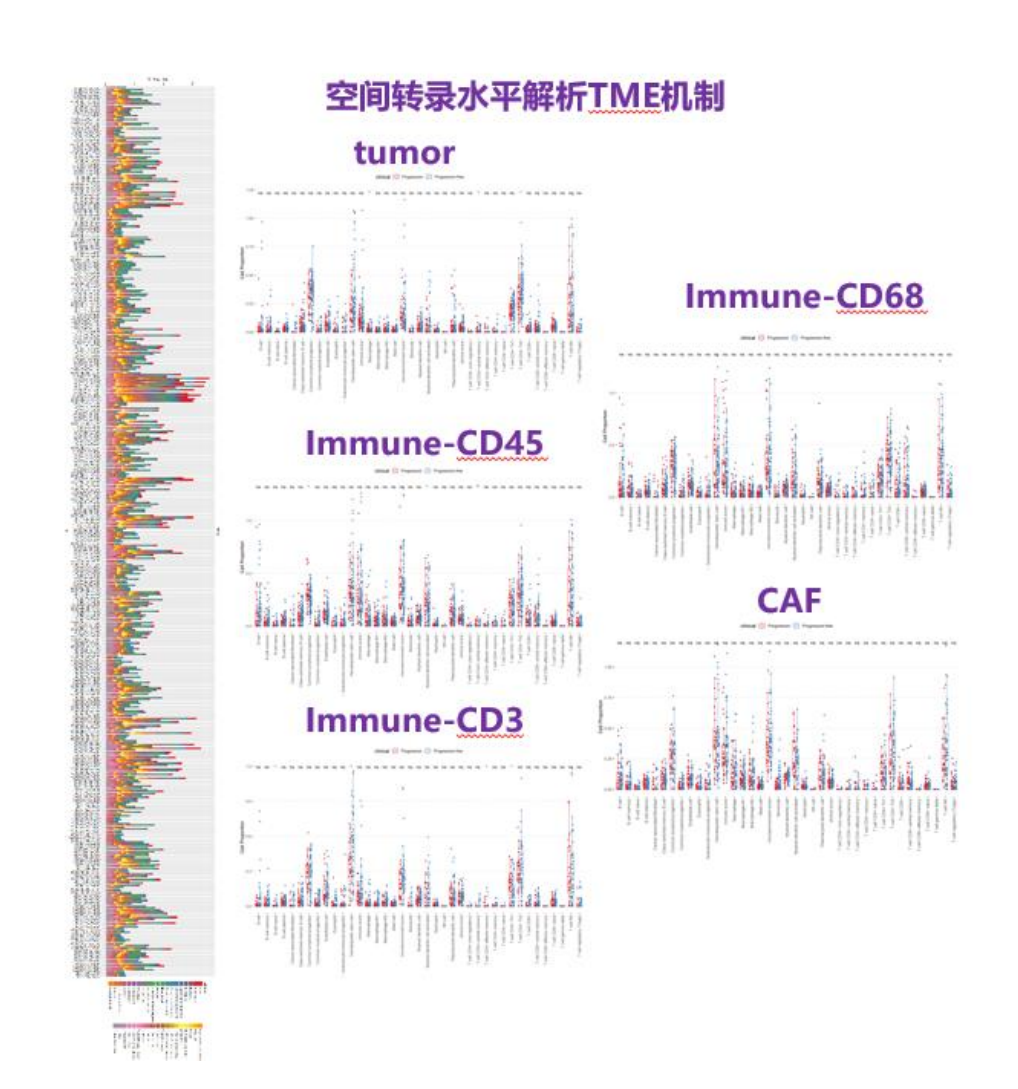


非因案例-----空间组学如何助力转化医学研究

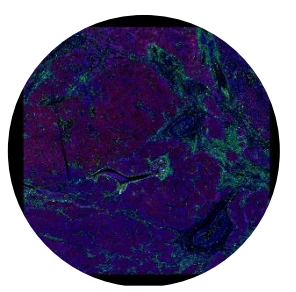


临床样本/匹配数据

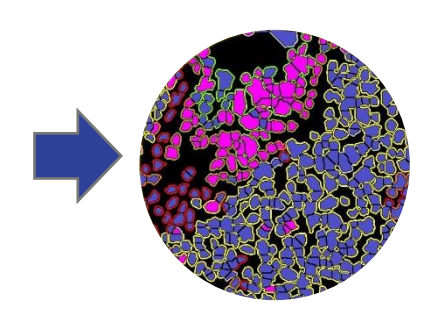




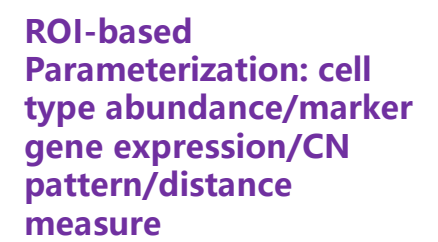
空间表型水平挖掘功能

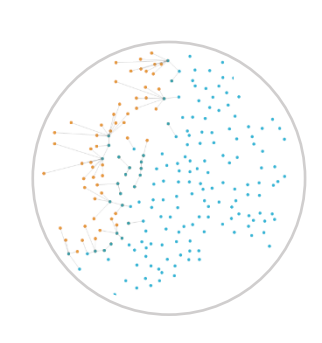


10个biomarker mIF: SOX9, CD44, CD20, CD31, PanCK, CD163, CTNNB1, EGFR, CD4, DAPI



Spatial-Directed Predicative model building:





Regression based:
PLSR/Lasso/Ridge
Tree-based:
Raodom
Forest/XGBoost/AdBoost
Deep Learning

内部数据

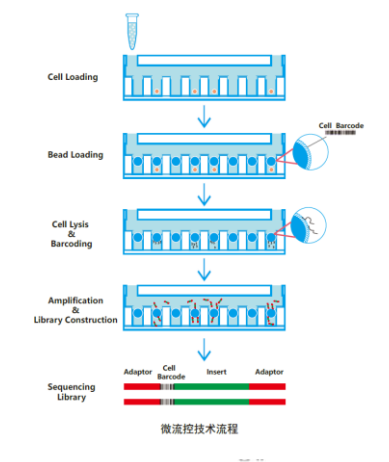




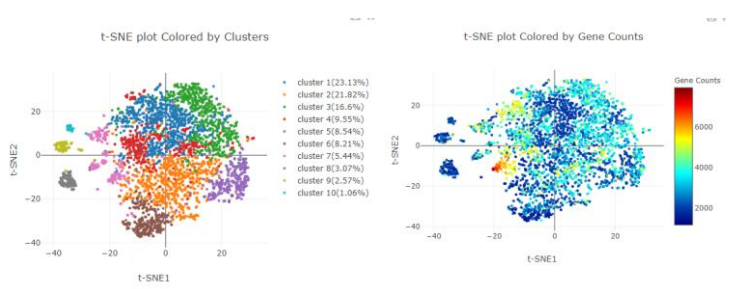
深入挖掘肿瘤微环境



单细胞转录组(sc-RNAseq,肿瘤异质性解决方案的新标准)



空间多组学 (还原肿瘤异质性的真实面貌,生物标志物挖掘的新策略)



微环境细胞群

DSP 空间全转录组

18000+基因

DSP 空间蛋白组

100+蛋白

微环境单细胞

单细胞空间蛋白组

60+蛋白

单细胞空间转录组

1000+基因

RNA Scope Base Scope IHC/HE

定制化



OUTLINE目录

非因生物 专注癌症精准医疗 / 全球领先的蛋白组学·空间多组学技术平台

01| 非因生物简介

03| 空间多组学技术

05| 样本准备要素

02| RPPA蛋白组学技术

04| 非因策略

※ 内部资料请勿转发 最终解释权归非因生物所有

非因生物研究策略



以功能蛋白组学和空间多组学为核心的研究策略

- 解决临床实体瘤样本跨国分析的难题
- 提高药物及生物标志物转化的效率

● 模式系统中的生物机理发掘







▮非因生物多组学研究策略——RPPA靶点设置



Cancer Signaling Pano-profiler 肿瘤信号全景分析

服务项目名称	服务内容	样本类型	技术特点	主要通路		
Cancer Signaling Pano-profiler 肿瘤信号全景分析	380 肿瘤信号通路靶点, MIPCC-RPPA 服务	鲜冻组织,体外培养细胞, PDX,动物模型,类器官	涵盖几十条肿瘤和药物靶点 相关细胞信号通路。为细胞 信号转导研究者量身定做。	Cell cycle, Apoptosis, p53 signaling, Adherens junction, Autophage, PI3K- Akt, Hippo, HIF-		
MIPCC-RPPA Custom Services MIPCC-RPPA 定制服务	MIPCC-RPPA 服务:根据用户需求进行定制服务。特殊靶点以及特殊修饰。	(人, 小鼠)	根据用户进行定制化靶点检测。	1,mTOR, AMPK, VEGF, MAPK, JAK-STAT, cAMP, NF-kb, Wnt, Notch, Hedgehog		

细胞周期/DNA 损伤修复

细胞凋亡信号

免疫炎症信号

肿瘤侵袭转移信号

代谢核心信号

RPPA 定制靶点分析





▮非因生物多组学研究策略——RPPA靶点设置



380 靶点 +用户可选择方案

肿瘤生物学

mTOR signaling pathway 29 targets

VEGF signaling pathway 19 targets

HIF-1 signaling pathway 18 targets

Focal adhesion 26 targets

Apoptosis 43 targets

Ras signaling pathway 44 targets

Wnt signaling 21 targets

EGFR TKI resistance 26 targets

ErbB signaling pathway 28 targets

PI3K-Akt signaling pathway 26 targets

Proteoglycans in cancer 25 targets MicroRNAs in cancer 54 targets

MAPK signaling pathway 53 targets

NF-kappa B signaling pathway 13 targets

Autophagy – animal 47 targets Estrogen signaling 29 targets

FoxO signaling pathway 56 targets Insulin signaling pathway 59 targets

Platinum drug resistance 16 targets



-RPPA靶点设置 ▮非因生物多组学研究策略——



380 靶点+用户可选择方案

病毒感染

Influenza 31 targets

Human CMV infection 26 targets

Hepatitis B 26 targets

Coronavirus

disease -

COVID-19

28 targets

HPV infection 69 targets

Human HIV1 infection 25 targets

神经生物学

Alzheimer disease 52 targets

Long-term depression 16 targets

Parkinson disease 13 targets Neurotrophin signaling pathway 47 targets

Hepatitis C

45 targets

免疫学

NK cell mediated cytotoxicity 27 targets

Th1 and Th2 cell differentiatio n 22 targets

Th17 cell differentiatio n 25 targets

Insulin resistance 40 targets

Leukocyte

transendothel

ial migration

21 targets

T cell receptor signaling pathway 37 targets

> PD-L1 pathway in cancer 39 targets

B cell receptor signaling pathway

Chemokine signaling pathway 36 targets

T cell receptor signaling pathway 37 targets



▮非因生物多组学研究策略——RPPA细胞库建设



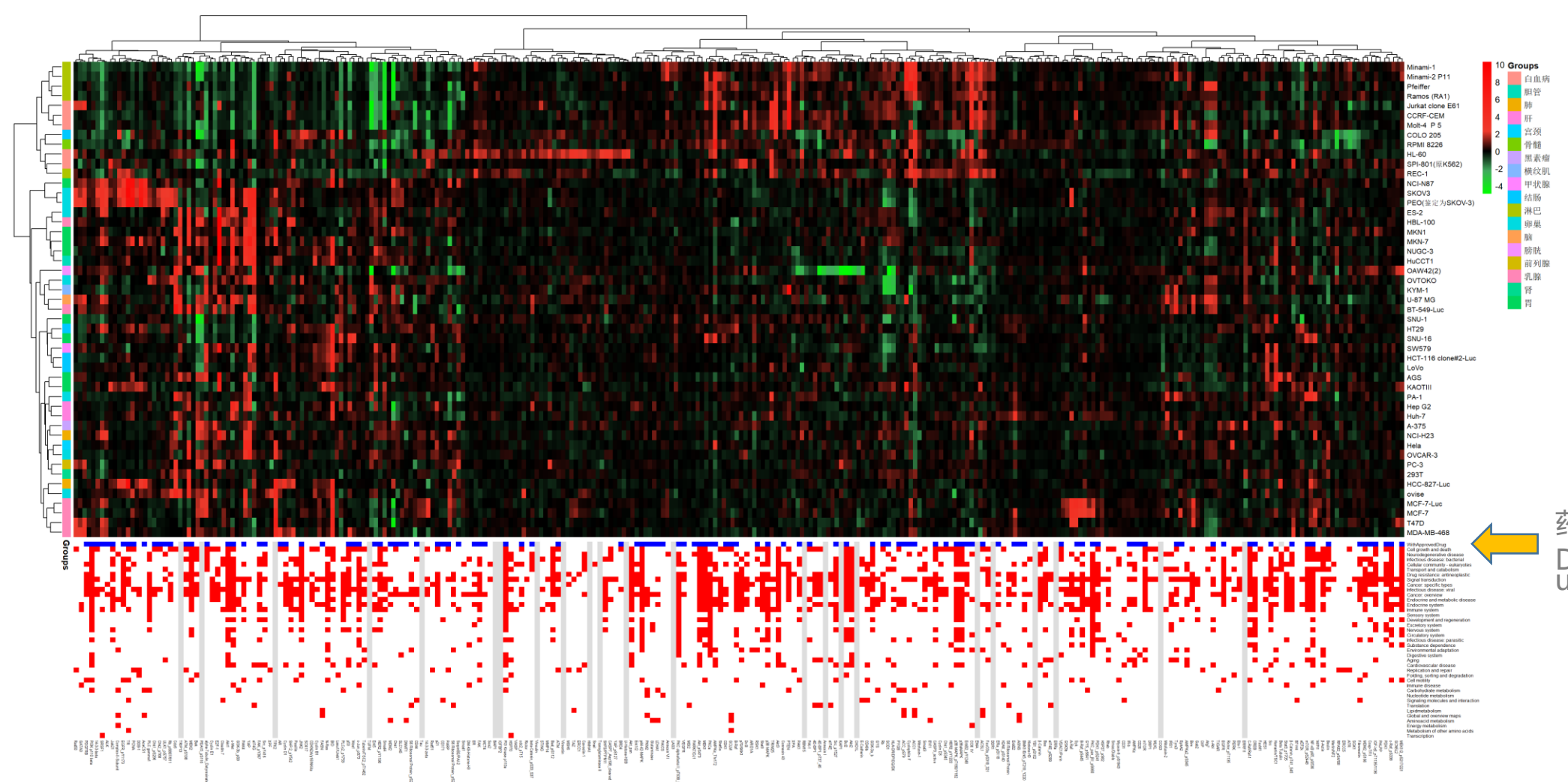
												非因生物		
Lung cancer	Gastric cancer	Breast cancer	Bladder cancer	Cervical cancer	Leukemia	Melanoma	Ovarian cancer	Liver cancer	blastoma	Colon cancer	Prostate cancer	Endo metric cancer	sarcoma	Pancreatic cancer
NCI-H23	MKN-7	T47D	SW780	Hela	HL-60	A-375	SK-OV-3	СЗА	KNS-89	HT29	PC-3	EFE-184	U2-OS	MIA PaCa-2
A549	AGS	BT474	UM-UC-3		Jurkat clone E61	COLO 679-Luc	ES-2	HepG2	DBTRG-05MG	SW620 AD300		HEC-1-B		
NCI-H460	SNU-5	MDA-MB-468			SPI-801	COLO 829	OVCAR-3	HuH-7	SNB-19	SW480				
NCI-H128	NUGC-3	HBL-100			TF-1		PA-1	Hep3B	U-87 MG	LOVO-Luc				
SW 900	KATOIII	MCF-7-Luc			AML-193		RKO			SW 1417				
A427	MKN45-Luc	BT-549-Luc			MOLT-4		очтоко			LoVo				
HCC-827- Luc	MKN1	MCF-7			CCRF-CEM		OVISE			HCT-116				
SHP-77	NCI-N87				Kasumi-1/7					COLO 205				
	SNU-1				Minami-1/2									
	SNU-16				REC-1					using	new high-de	ensity revers	l-60 cancer c e-phase	ell lines
					Pfeiffer					Satoshi Nishi Hosein Kourd	os-Mehr*1, Kimberly J. Buss	nn Young [‡] , Sylvia Major*, iey*, Jae K. Lee ^l , Virginia E	William C. Reinhold*, Mark spina*, Peter J. Munson*, En	Waltham*5, anuel Petricoin III**,
					Ramos (RA 1)					"Genomics and B Statistical Compu Sciences, P.O. Bo	ta [†] , and John N. Weinstein [†] Bioinformatics Group, Laboratory of uting Laboratory, Center for Inform x 800717, University of Virginia Sch for Biologics Evaluation and Resear	f Molecular Pharmacology, *Labor ation Technology, National Institu ool of Medicine, Charlottewille, V	atory of Pathology, National Cancer tes of Health, Bethesda, MD 20892; A 22908; and **Tissue Proteomics Ur , Bethesda, MD 20892;	nstitute, and ⁴ Mathematical and Department of Health Evaluation It, Division of Therapeutic

内部资料



非因生物MIPCC-RPPA癌症系统生物学/细胞系蛋白组学图谱(80+ATCC cell lines)











药物靶点用蓝色注释: Drug bank regularupdated

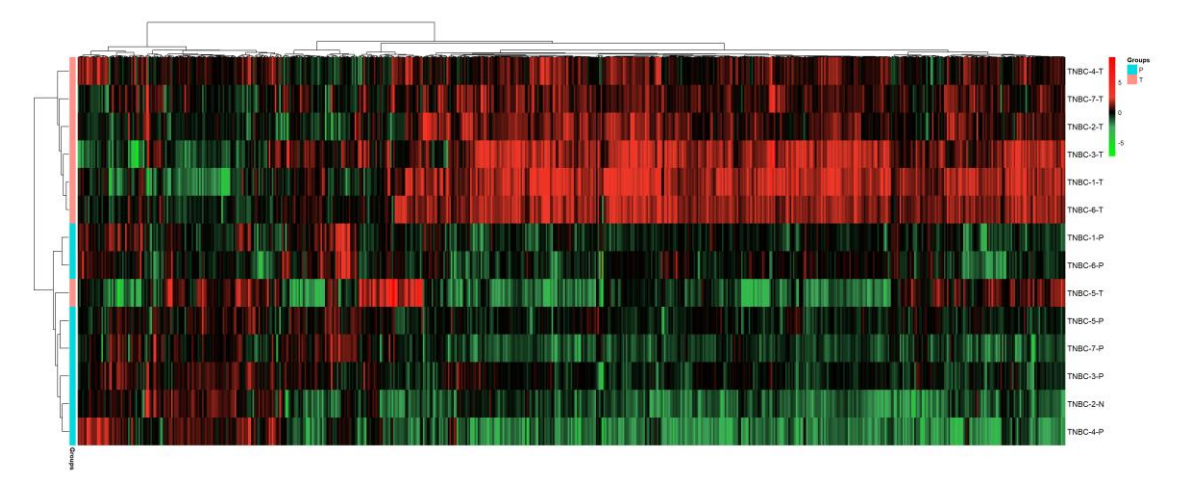
内部资料

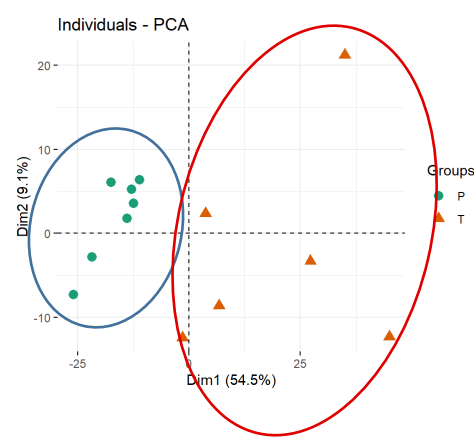


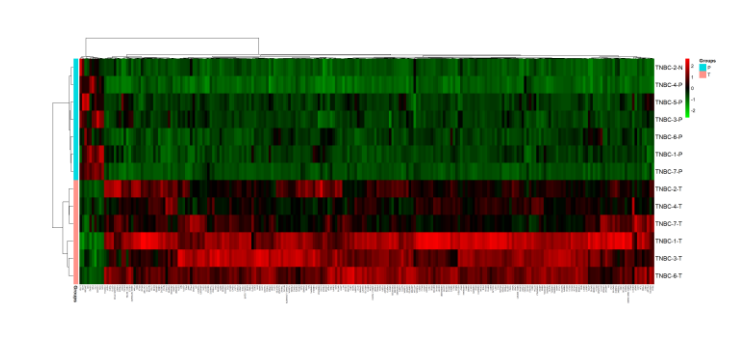
非因生物癌旁,三阴性乳腺癌 MS/RPPA全蛋白组深度挖掘



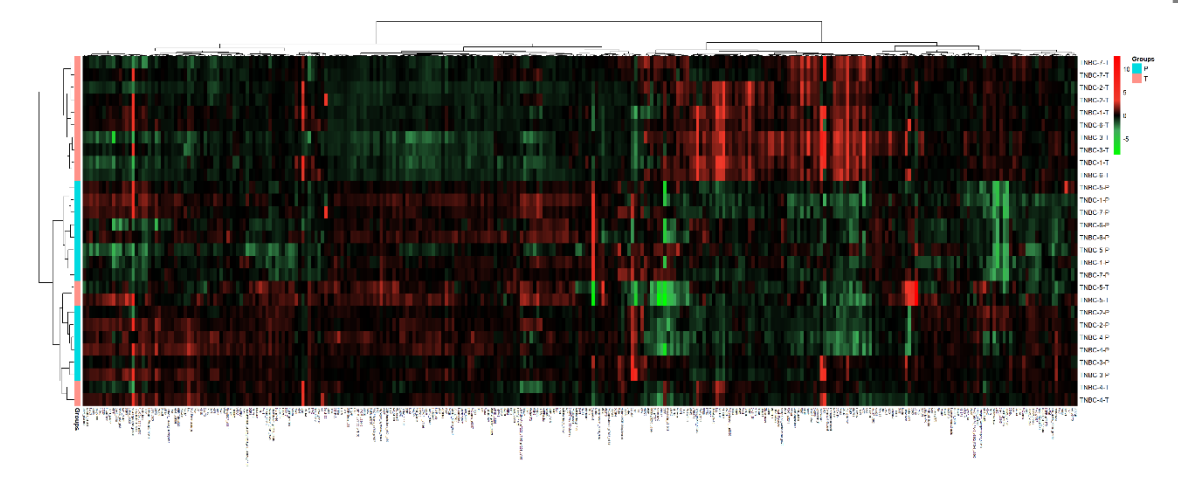


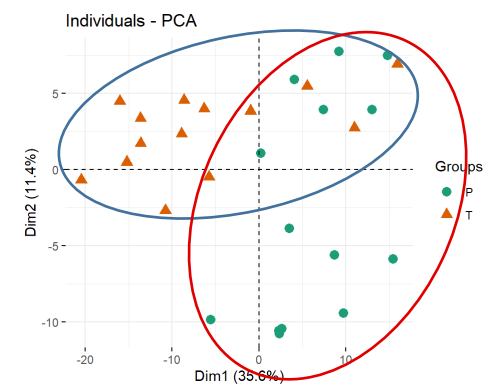


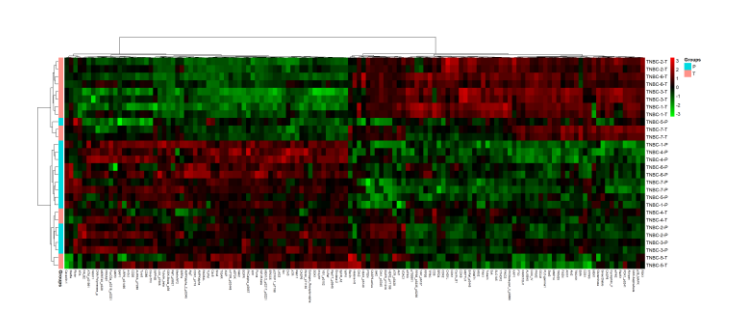




RPPA













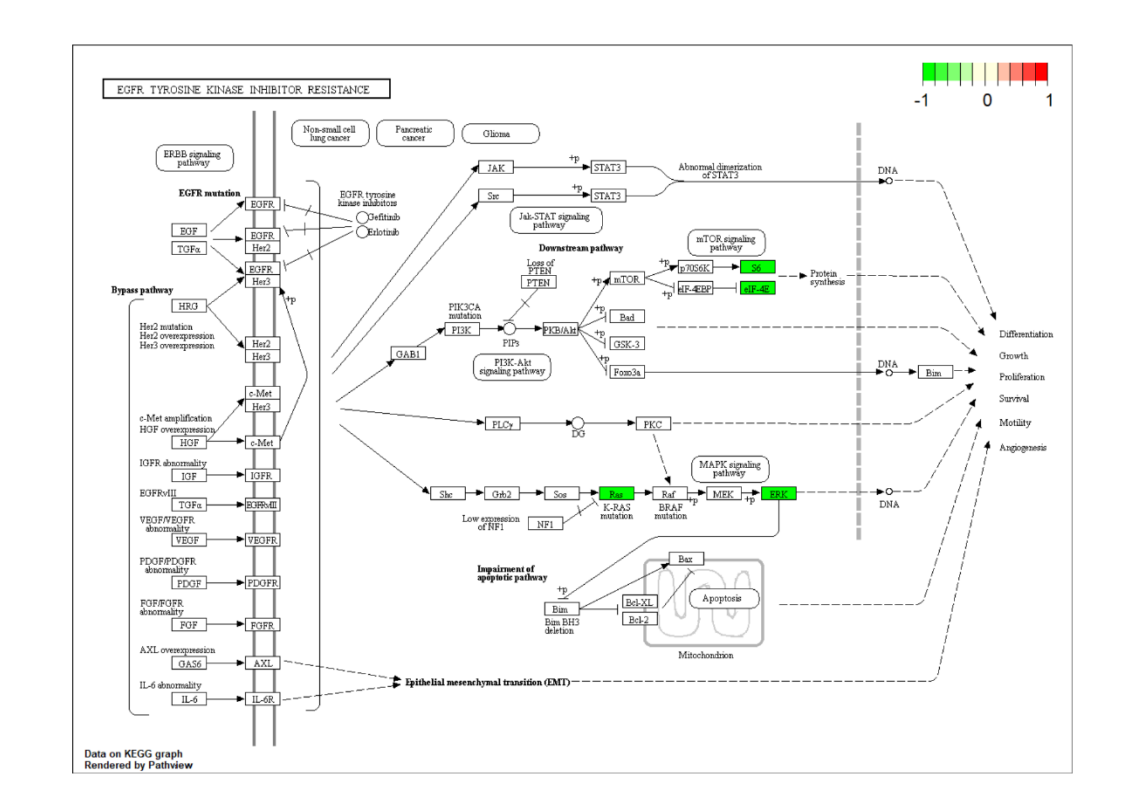




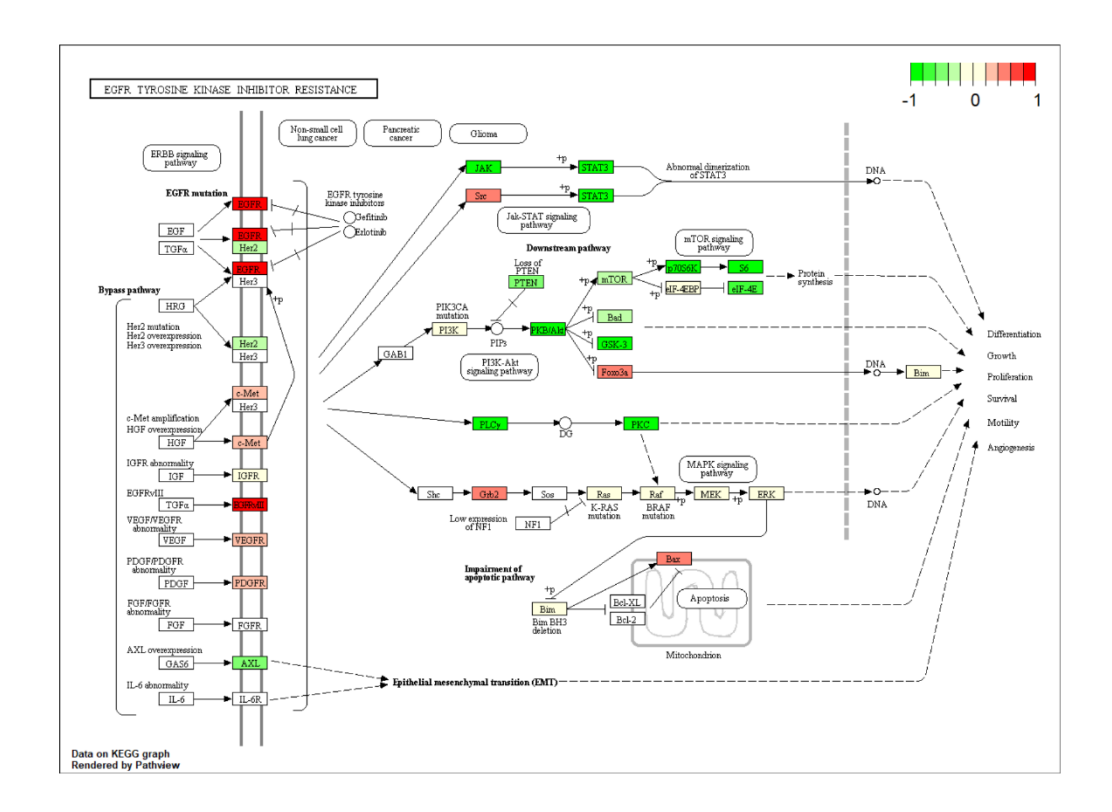
非因生物癌旁,三阴性乳腺癌 MS/RPPA全蛋白组深度挖掘



MS



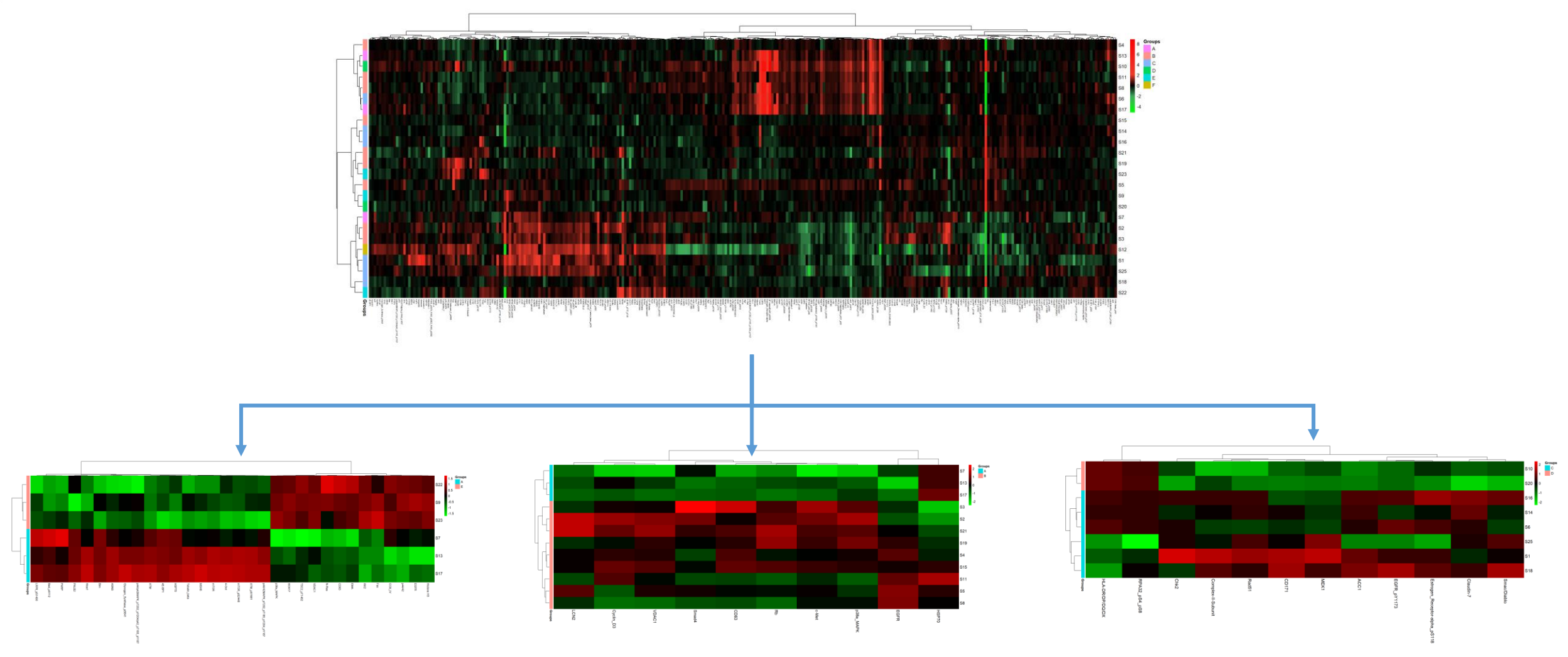
RPPA





非因生物乳腺癌血浆外泌体RPPA蛋白组解决方案



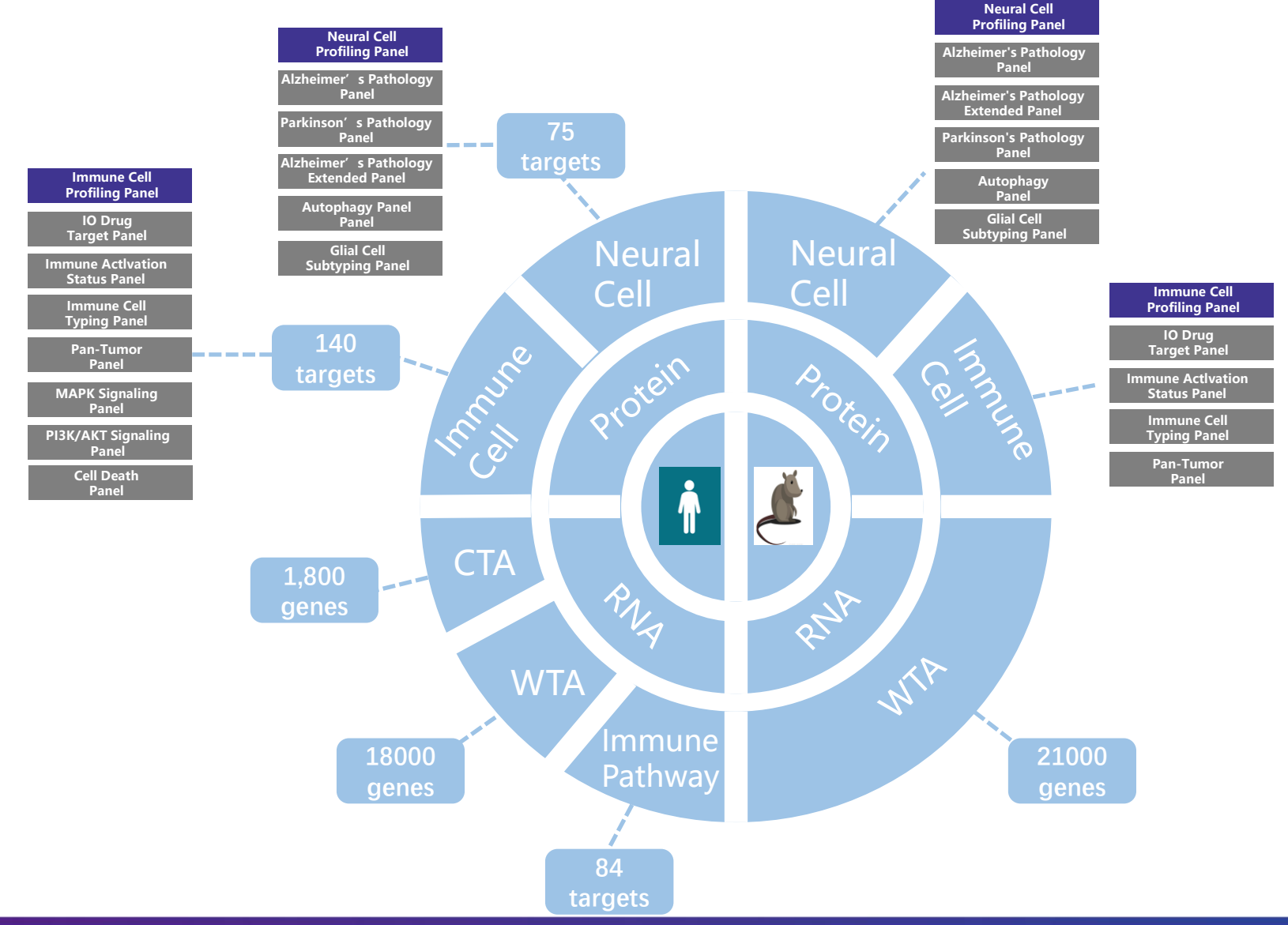






非因生物多组学研究策略——DSPpanel设置(蛋白/RNA)





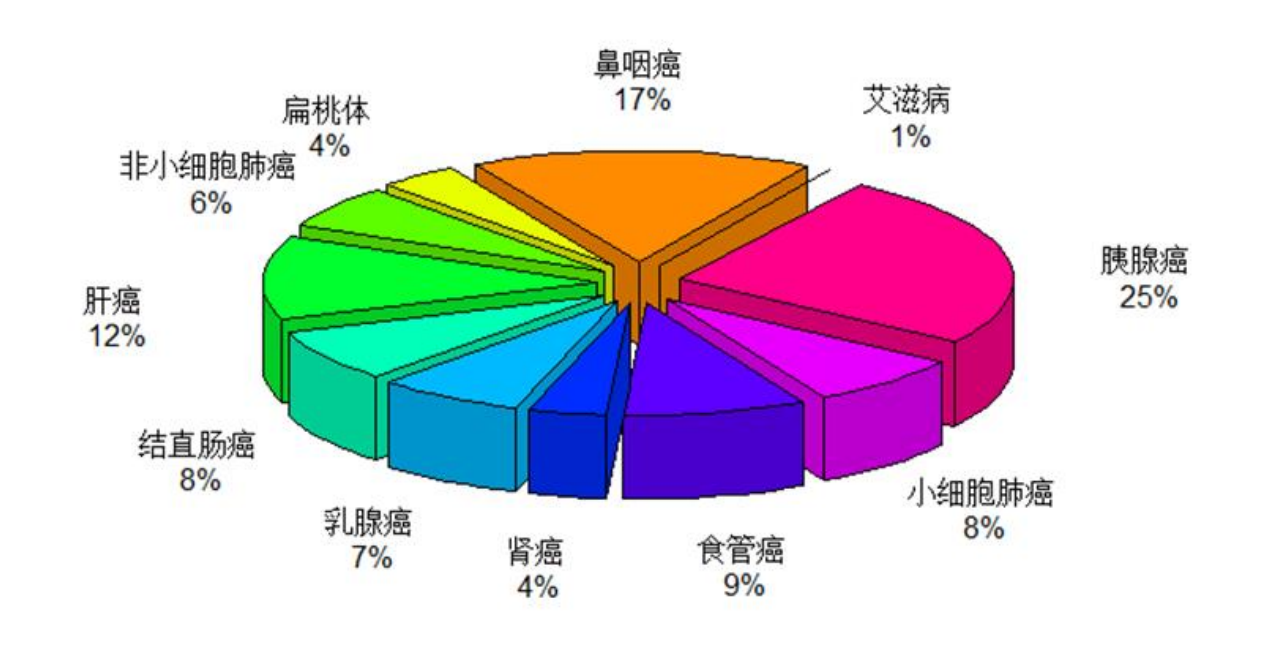


非因生物DSP空间组技术实验室概况



- 非因生物Mills中心自2019年下半年建立DSP空间组学实验室,
 通过自主科研,合作研究,客户服务等方式已经完成近百个项目
 和数百例样本。样本涵盖多个癌种。
- · nanoString全球8大DSP空间组Premier access site之一
- 国内唯一3平台运行服务商

- 180+项目
- · 1000+样本开发经验
- 98%以上项目成功经验
- 多癌种验证
- · OrganBook国际项目合作方







▮非因生物空间组学实验室认证



nanoString

Certificate of Excellence

Is hereby granted to:

Fynn Biotechnologies

for successful completion of training on:

GeoMx[™] Digital Spatial Profiler

Granted on: January 27, 2020

Douglas Hinerfeld
Director, GeoMx DSP Customer Experience











Announced in 2022 ABRF 首批nanoString 官方认证全球服务商(国内唯一) NanoString at ABRF

Spatial Biology
Workshop
Sunday, March 27 - 1pm



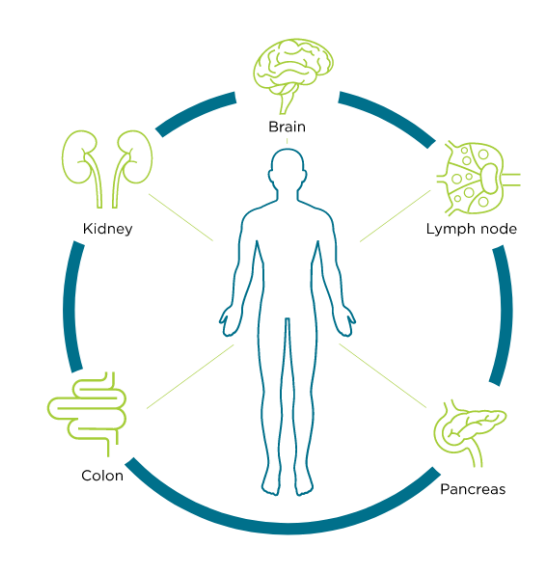


▮非因生物空间组学国际合作项目



Select your Organ of Interest

Click on an organ below to explore its atlas of data.





nature

Explore content × About the journal × Publish with us × Subscribe

nature > review articles > article

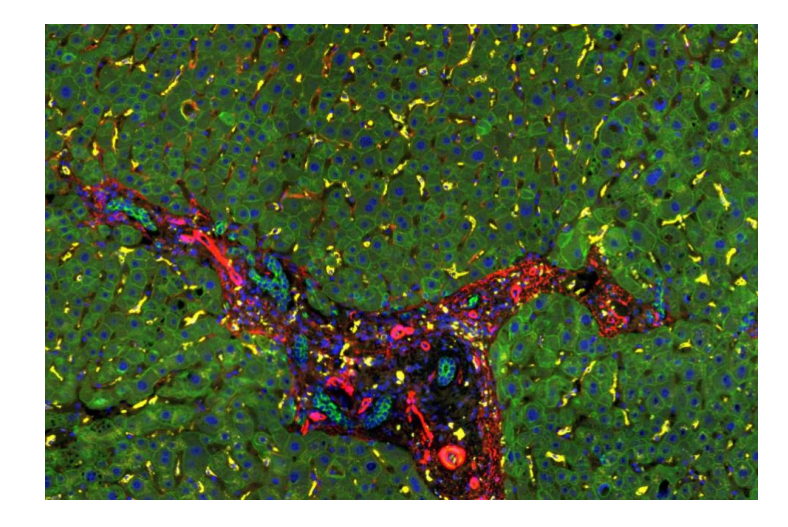
Review Article | Published: 11 August 2021

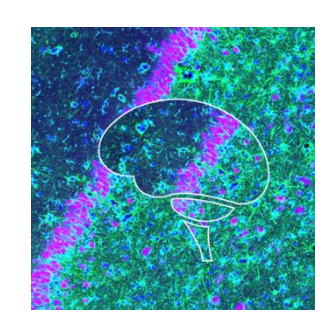
Exploring tissue architecture using spatial transcriptomics

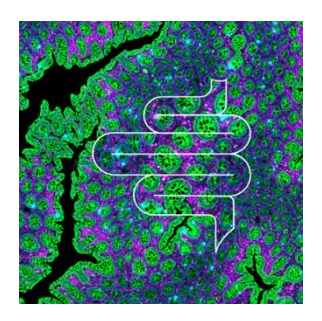
Anjali Rao, Dalia Barkley, Gustavo S. França & Itai Yanai 🖾

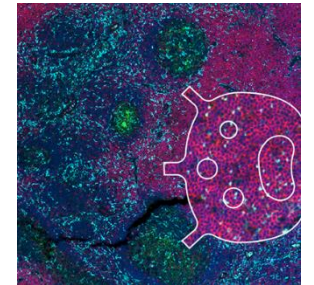
Nature 596, 211–220 (2021) | Cite this article
28k Accesses | 184 Altmetric | Metrics

HCC: CD8/18, SMA, CD68









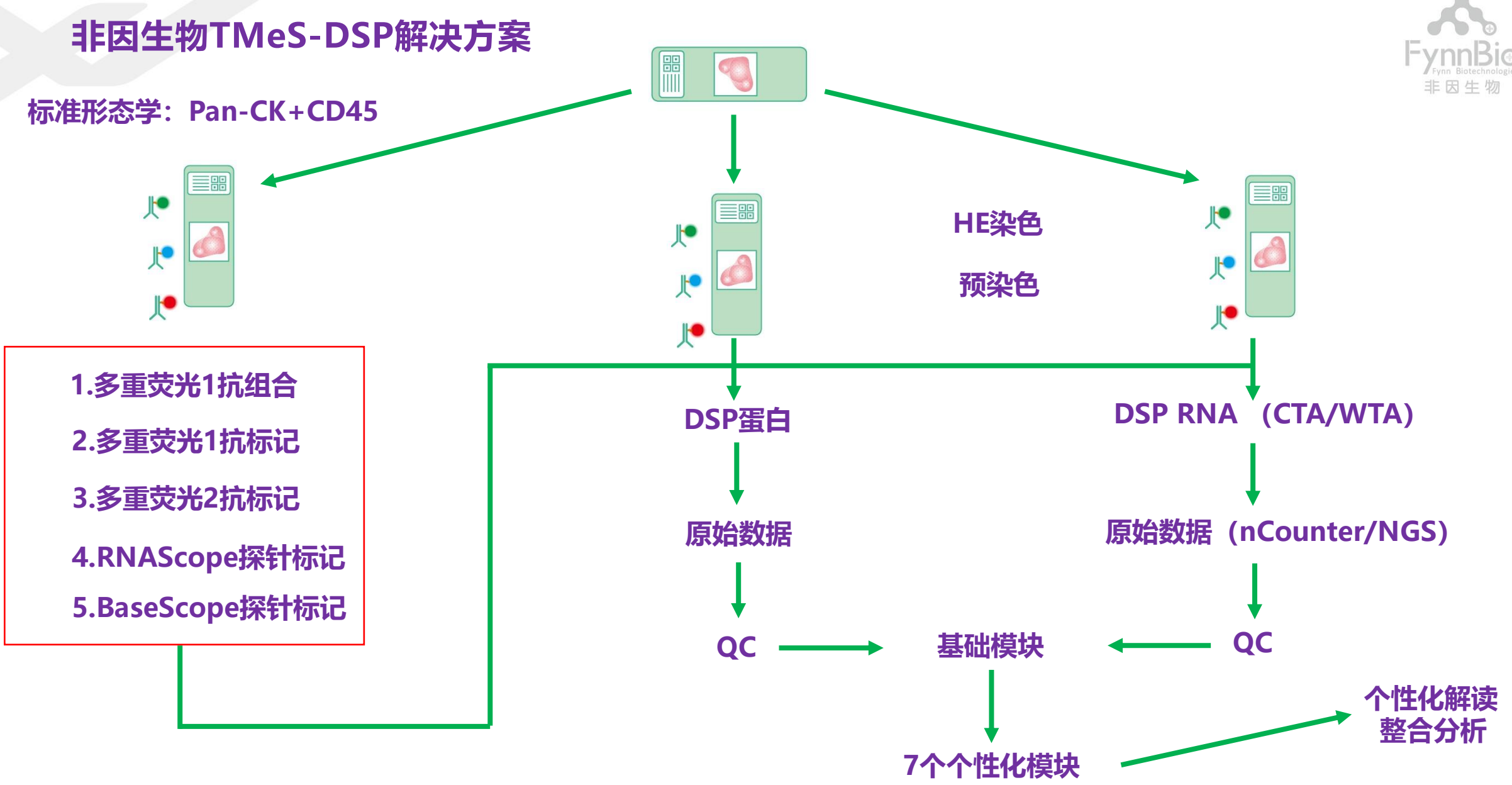




非因作为nanostring唯一的国际合作方在organBook空间转录组 上开展合作,非因生物承接了肝癌项目









非因生物TMeS-DSP——验证靶点列表



	小细胞肺癌	非小细胞肺 癌	淋巴癌	结直肠癌	乳腺癌	食管癌	肝癌	口腔癌	肾癌	皮肤癌	鼻咽癌
CD45											
Pan-CK											
CK8/18											
CD68											
CD57											
CD3											
CD19											
CD20											
CD4											
TGF-beta											
Epcam											
Alpha- SMA											
CD8											
Vimentin											
HLA-A											
IgA											

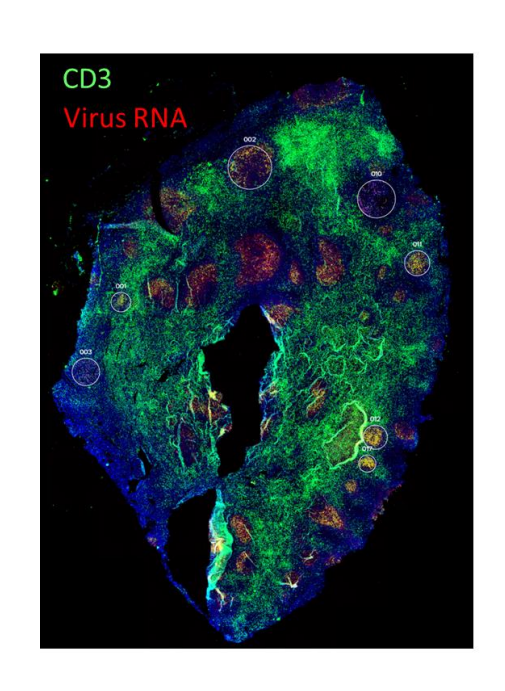
非因生物TMeS-DSP——优化的RNA Scope/Base Scope空间转录组蛋白组分析

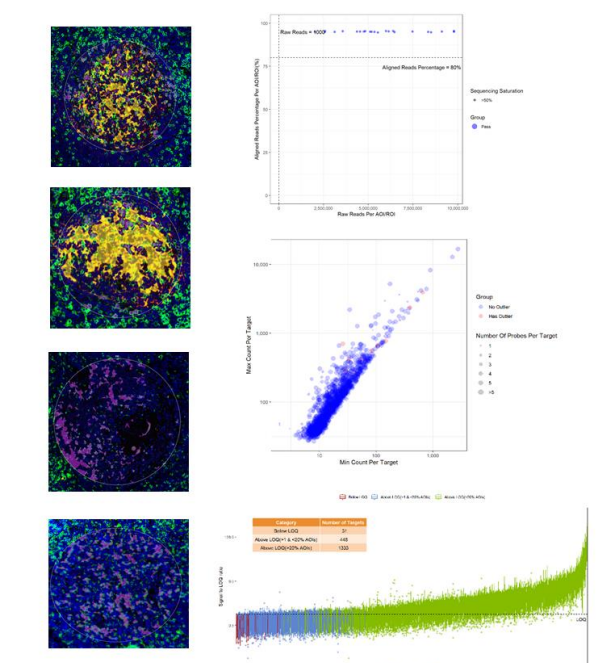


RNA Scope

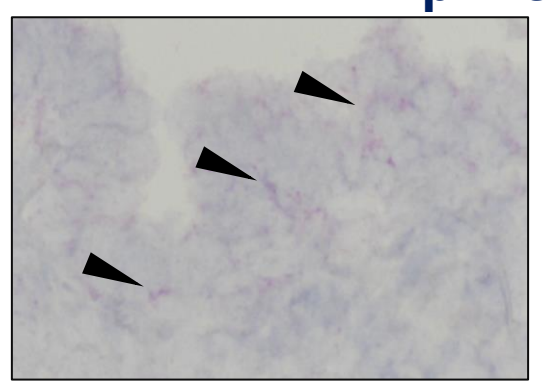
Base Scope

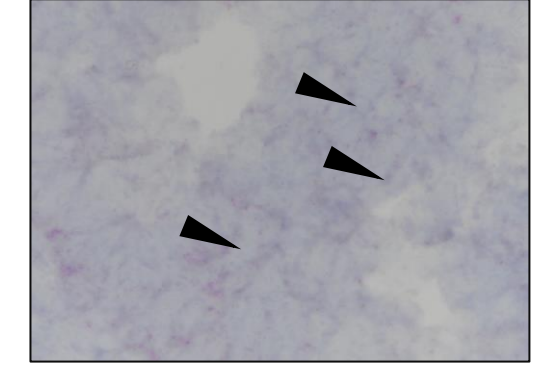
Amplified HER2



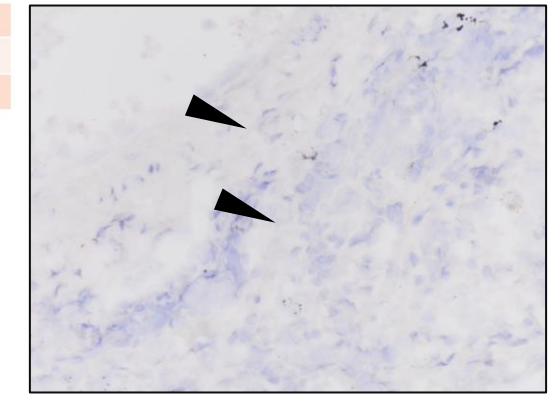


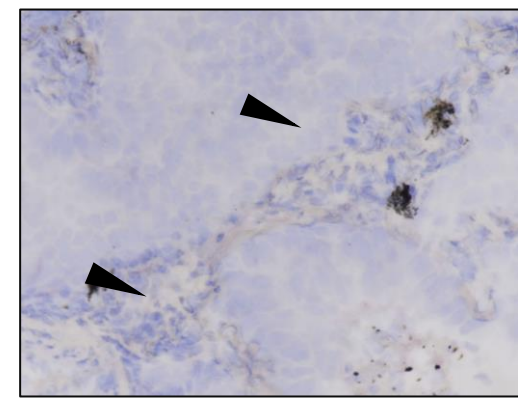
制	靶点
[于 LOQ	31
OQ (1-20%)	448
哥于LOQ (20%)	1333
野LOQ (20%)) 1





Non-Amplified regions

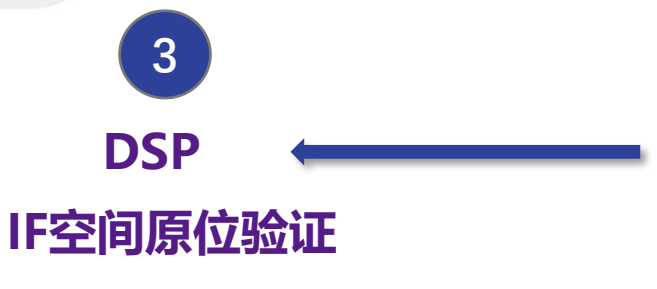


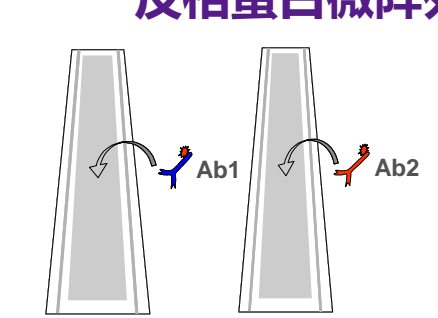




非因生物多组学研究策略--高标准的靶点验证开发流程

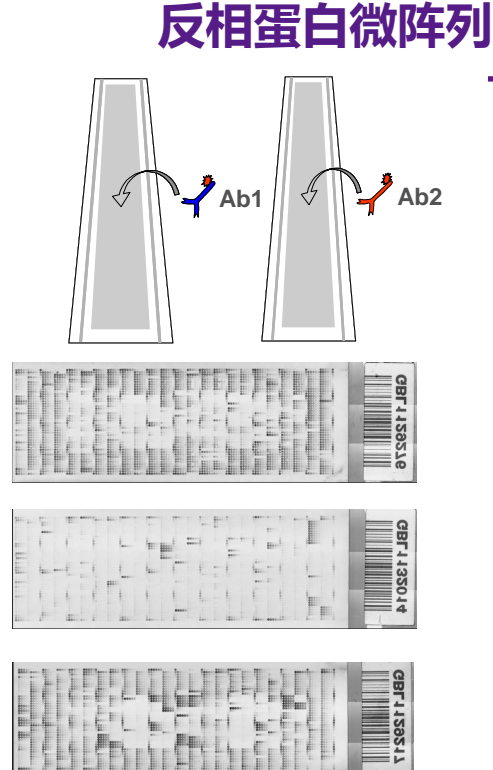






RPPA

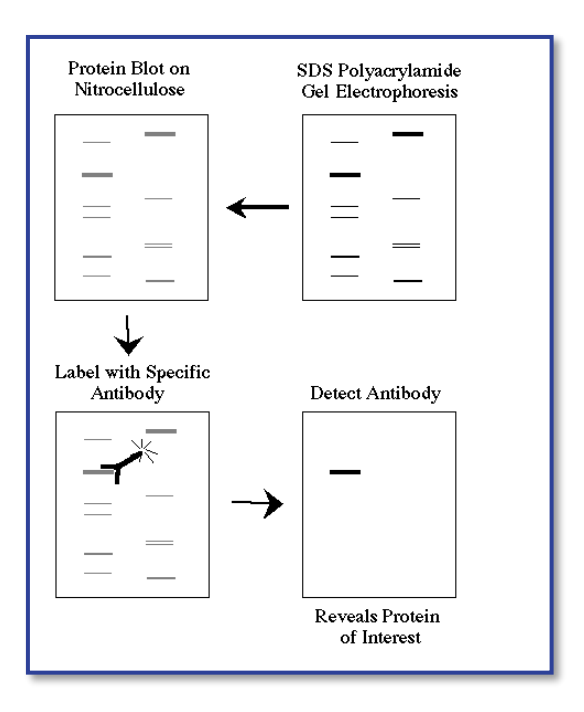






- 1. 只需一个抗体进行抗原捕获
- 2. 短时间高效率进行大量样本平 行分析
- 3. 灵敏度高 (antigen down/特 殊检测原理)
- 4. 特异性好 (在WB初筛的基础
- 5. 样本用量少 (适于微量组织样 本检测)
- 6. 数据量大,多类样本同时验证 细胞系,组织等





http://www.bio.davidson.edu



非因生物多组学研究策略——助力转化医学研究





药物筛选平台

空间多组学平台

靶向蛋白组平台

单细胞转录组平台

靶向转录组平台

- 肿瘤细胞系(80+)
- PDC平台
- 分子克隆平台
- 病毒包装
- CRISPER基因敲除

- DSP空间组技术
- 超高标空间单细 胞技术 (2022 Q1)
- RPPA靶向蛋白组 技术(400+药物 通路和靶点)
- 5个RPPA小panel
- GexScope技术 (2022 Q1)
- · nCounter技术
- PCR-Array技术





非因生物

Mills癌症个体化诊疗研究中心(MIPCC)——国际标准的精准医疗研究中心





Mills癌症个体化诊疗研究中心



RPPA蛋白组学平台



细胞学平台



分子生物学平台



nCounter及空间生物学平台



空间单细胞表型平台



病理学平台



单细胞转录组平台





OUTLINE目录

非因生物 专注癌症精准医疗 / 全球领先的蛋白组学·空间多组学技术平台

01| 非因生物简介

03| 空间多组学技术

05| 样本准备要素

02 RPPA蛋白组学技术

04| 非因策略

※ 内部资料请勿转发 最终解释权归非因生物所有



细胞培养物及鲜冻组织样本

一、样本要求

类型	样本量	处理方式				
悬浮细胞	不低于 2 × 10 ⁶ 个细胞	低速离心收集,弃上清; 轻柔加入2-5ml PBS将细胞重悬浮,转入小离心管中,低速离心收集,弃上清重复1-2次,放入-80℃冰箱保存直至样本寄送。				
贴壁细胞	不低于 2 ×10 ⁶ 个细胞	胰酶消化后加入 PBS 将细胞重悬浮,低速离心收集,弃上清;轻柔加入 2-5mIPBS 将细胞重悬浮转入小离心管中,低速离心收集,弃上清;重复 1-2 次,放入 -80℃冰箱保存直至样本寄送。				
冷冻切片	切片厚度 10-15 µm,取 3-5 张 连续切片,每张面积大于 1cm ²	* B A T B A				
鲜冻组织	15mg	采集新鲜组织用 PBS 或者生理盐水清洗干净,切为米粒大小的组织块,放入 -80℃冰箱或者液氮内保存直至样本寄送。				







体液样本

一、样本要求

类型	最少量		
◎ 血清/血浆	∠ 200μl		
血细胞	2mL		
外泌体	血清 / 血浆 : 4mL		
尿液	1mL		

二、血液样本采集要求

- (一)血浆样本
- 1. 请用 EDTA 抗凝管采集患者血液,若不能第一时间处理,请于 4℃临时保存(不得超过 4h);
- 2. 将采集到的血液在 4℃下 1500g, 离心 20min, 去除血液中的细胞;
- 3. 取上清,4℃下3000g,离心15min,收集上清(血浆),-80℃保存。
- (二)血清样本
- 1. 使用含凝血激活剂的采血管或普通真空采血管采集血液样品,室温静置 10-60min 使血液凝集;
- 2. 将采集到的血液在 4℃下,离心 20min,去除血液中的细胞,小心转移上清(黄色)至新的 1.5ml 离心管中, 枪头不要触碰中间层(白细胞和血小板层);
 - 3. 取上清,4℃下 3000g,离心 15min,收集上清(血浆),-80℃保存。







细胞裂解液样本

一、样本要求

- 1. 蛋白总浓度大于 1.5mg/ml, 无需稀释至此浓度, 提供原液即可;
- 2. 样本总体积需大于 120 µL;
- 3. 用非因生物提供的 RPPA 专用裂解液提取蛋白。
- 4. 样本制备完毕可放置 -80℃保存。

二、运输要求

- 1. 已保存的样品不要反复冻融;
- 2. 根据干冰量准备大小适当的泡沫盒,在其中放入干冰和样本(用塑料袋或塑胶手套装好)并用封箱带密封气温高或者路途远的,要保证运输过程中干冰足量;
 - 3. 泡沫盒须选择较厚的,以免在运输过程中破碎导致样品损失。







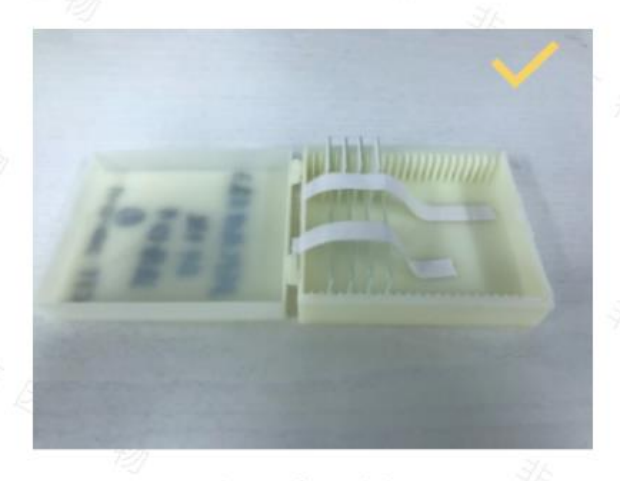
FFPE 样本

一、样本要求

切片厚度为 10-15μm, 取 3-5 张连续切片, 每张面积大于 1cm²。

二、运输要求

使用专用切片盒放置待寄送样本,并使用填充物或固定胶带固定,切片盒外侧需添加填充物,谨防运输过程导致切片盒及样本损坏。一般采用常温运输,如天气炎热,可放入冰袋并与样本隔离放置。



切片固定不易损坏



切片间没有距离容易刮擦





DSP样本制备指南



准备前须知

在使用 GeoMx DSP 仪器进行蛋白质和 RNA 分析时,蜡块制备、制片和存储等所有过程均需保持样本的完整性。FFPE 样本的完整性受到多种因素的影响,包括:(1)组织切除后,到固定之前的时间;(2)保存条件;(3)组织类型;(4)标本储存年限。在选择进行 GeoMx DSP 分析的样本时,考虑这些因素至关重要。完整性差的样品的检测信号可能较低,特别是在 DSP 的 RNA 分析实验中。因此,请按照以下操作流程来进行样本处理。

石蜡样本制备

一、FFPE 蜡块选择

为获得最佳的 GeoMx DSP 分析结果, FFPE 蜡块应满足以下标准:

- 1. 组织在经 1×PBS (pH7.0−7.4)清洗后,需在 10% 的中性福尔马林缓冲液中,室温固定 18 至 24 小时(适用于厚度小于 0.5cm 的组织,如组织较大,可适当延长固定时间)。
- 2. 为保证最佳实验效果,组织切取后需立即固定,从切取到进行固定,中间的时间最多在常温放置不超过一个小时。
 - 3. 组织在乙醇中彻底脱水,进行石蜡包埋。
 - 4. 室温干燥保存蜡块。
 - 5. 为了获得最佳效果, 在选取 DSP 实验样本时, 不建议使用超过 10 年的蜡块。





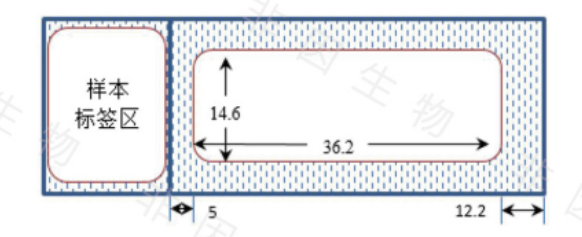
DSP样本制备指南



二、FFPE 切片

对于蛋白质和 RNA 检测,重要的是要避免切片上出现任何划痕和褶皱。这些划痕和褶皱在经过 DSP 实验流程后会被进一步放大,进而导致组织损失。为保证取得最佳检测结果,用户可按照如下操作进行切片制备,并建议用户咨询病理科专家以获得不同类型、不同来源组织的最佳操作流程。

- 1. 切片厚度需设置为 5 µ m。
- 2. 蜡块修片的前几片不建议使用。
- 3. 组织应贴在载玻片的中心,以便为 GeoMx 载玻片架上的垫圈留出空间。
- 1) NanoString 推荐使用 SuperFrost™Plus 防脱载玻片。
- 2) 如果每张载玻片贴多个组织,请确保所有组织间至少相距 2-3 mm。
- i. 在 SuperFrost[™]Plus 载玻片上,未染色的组织切片应为 5 μm 厚。组织必须放置在载玻片中央的扫描区域(如下图所示的 36.2 mm X 14.6 mm 区域内),GeoMx DSP 仪器很可能无法检测扫描区域之外的组织,且可能由于校准区域被遮挡而导致仪器无法正常工作。







DSP样本制备指南



新鲜样本制备

一、新鲜冷冻组织块制备

- 1. 切取的组织可在液氮中快速冷冻。固定前用于清洗或临时储存组织的任何缓冲液都应无核酸酶污染【如1×PBS(pH7.0-7.4)】。
 - 2. 用 OCT 包埋速冻组织后切片。
 - 3. OCT 包埋的组织块需储存在 -80℃。

二、鲜冻组织切片

- 1. 切片需为 5μm厚,切下后立即贴在 Superfrost™ Plus 载玻片上。
- 2. 组织需贴在扫描区域,如上图所示。
- 3. 修片的前几片不建议使用。
- 4. 切片后,暴露的组织块应用 OCT 封存,以避免样本干燥。

三、冰冻切片样本储存和寄送

- 1. 玻片在使用前可在 -80℃下保存数周, 建议制备后立即寄出。
- 2. 玻片应置于干净的 50ml 离心管或者玻片盒内, 固定好后, 缠好封口膜, 足量干冰寄送。





部分合作单位



















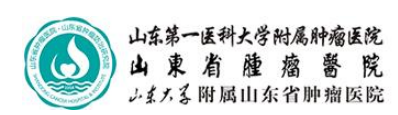














非因生物









中国种学院文学附属肿瘤医院 Cancer Hospital of The University of Chinese Academy of Sciences 浙江省肿瘤医院(浙江省癌症中心)









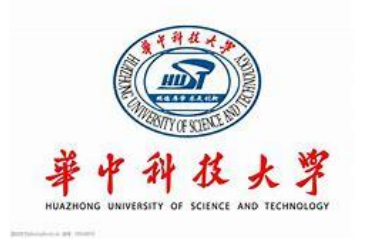


















非因生物 专注癌症精准医疗 全球领先的蛋白组学·空间多组学技术平台

⑤蒸钱/400-800-3119

❷ 地址 / 济南市高新区未来创业广场 2 号楼 22 层

合作共赢 非因助力



非因生物科技(山东)有限公司 Fynn Biotechnologies Ltd.

